

بِسْمِ اللّٰهِ الرَّحْمٰنِ الرَّحِيْمِ
اللّٰهُمَّ اسْهِمْ مِنْ حَمْدِكَ



دانشگاه صنعتی شهرود

دانشکده برق و رباتیک

گروه کنترل

پایان نامه کارشناسی ارشد

کنترل فازی تطبیقی سیستم ترمز ضد قفل

صادق ابراهیم خانی

استاد راهنما :

دکتر علی اکبرزاده کلات

شهریور ۹۲

با سپاس از:

جناب آقای دکتر علی اکبرزاده کلات، استاد راهنمای اینحانب، که این پایان نامه جز باراهنمایی های ارزنده ایشان شکل نمی گرفت.

و همه اساتید و آموزگارانی که از آنها آموخته ام.

این پیان نامه را با تمام وجودم پیش می‌کنم

به پدرم به واسطه زحمات و رنجی که برای رسیدن من به این جایگاه از زندگی کشید،

به مادرم که وجودش را برای من گذاشت تایاد بکیرم سر بلند زندگی کنم.

لیست مقالات مستخرج از پایان نامه

- [۱] صادق ابراهیم خانی، علی اکبرزاده کلات. "کنترل فازی تطبیقی غیرمستقیم برای سیستم ترمز ضد قفل به همراه شناسایی زمان حقیقی جاده". سیزدهمین کنفرانس سیستم‌های فازی ایران. دانشگاه آزاد قزوین. شهریور ۹۲.

چکیده

با توجه به رفتار غیرخطی معادلات بیان کننده سیستم ترمز ضد قفل، طراحی کنترل کننده‌ای که توانایی عملکرد مناسب همراه با تضمین پایداری را برای این سیستم داشته باشد دارای اهمیت می‌باشد. با توجه به قابلیت کنترل کننده‌های فازی تطبیقی در کنترل سیستم‌های غیرخطی همراه با عدم قطعیت، در این پایان نامه از کنترل کننده‌های فازی تطبیقی استفاده شده است. کنترل کننده‌های فازی تطبیقی غیرمستقیم و مستقیم طراحی و تحلیل شده همچنین پایداری سیستم حلقه بسته با استفاده از روش مستقیم لیاپانوف بررسی و تضمین گردیده است. در این پایان نامه علاوه بر کنترل فازی تطبیقی، از کنترل فازی تطبیقی به روش پسگام با در نظر گرفتن دینامیک محرک نیز بررسی و طراحی شده است. در این تحقیق ورودی مرجع برای ردیابی در سیستم ترمز ضد قفل مقدار لغزش بهینه می‌باشد، در لغزش بهینه حداکثر اصطکاک طولی بین تایر و جاده حاصل شده و در نتیجه خودرو در کمترین مسافت ممکن توقف می‌کند، علاوه با فرض در دسترس نبودن مقدار لغزش بهینه به دنبال روشی برای بدست آوردن آن به عنوان ورودی مرجع برای حلقه کنترل در زمان ترمز‌گیری می‌باشیم، در این پایان نامه روش‌های آزاد از مدل و وابسته به مدل برای بدست آوردن مقدار لغزش بهینه چرخ طراحی و تحلیل می‌شوند، همگرایی روش‌های وابسته به مدل تحلیل و بررسی شده، همچنین در روش آزاد از مدل پیشنهادی، تضمین همگرایی به مقدار لغزش بهینه در زمان محدود تضمین شده است. در نهایت الگوریتم‌های پیشنهادی با یکدیگر مقایسه و بررسی می‌شوند.

کلمات کلیدی: سیستم ترمز ضد قفل، کنترل فازی تطبیقی، شناسایی سطح جاده، لغزش بهینه

فهرست مطالب

صفحه

عنوان

۱	فصل اول: مقدمه
۳	۱-۱ مرور تحقیقات پیشین
۷	۱-۲ اهداف تحقیق
۸	۱-۳ مروری بر ساختار پایان نامه
۹	فصل دوم: مدل سازی ریاضی و بیان مسئله
۱۰	۲-۱ مدل سازی ریاضی
۱۱	۲-۲ اصطکاک بین تایر و جاده
۱۵	فصل سوم: کنترل فازی تطبیقی
۱۶	۳-۱ مقدمه
۱۷	۳-۲ کنترل فازی تطبیقی مستقیم
۱۸	۳-۲-۱ تقریب‌گرهای فازی
۱۹	۳-۲-۲ طراحی قانون تطبیق
۲۲	۳-۳ شبیه سازی کنترل فازی تطبیقی مستقیم
۲۸	۴-۳ کنترل فازی تطبیقی غیرمستقیم
۳۳	۵-۳ شبیه سازی کنترل فازی تطبیقی غیرمستقیم
۳۸	۶-۳ کنترل فازی تطبیقی مستقیم به روش گام به عقب

۴۸	۷-۳ شبیه سازی کنترل فازی تطبیقی مستقیم به روش گام به عقب
۵۳	فصل چهارم: شناسایی سطح جاده، وابسته به مدل
۵۴	۱-۴ مقدمه
۵۴	۲-۴ تخمین لغزش بهینه با استفاده از برازش منحنی
۵۸	۳-۴ شبیه سازی روش برازش منحنی برای بدست آوردن لغزش بهینه
۶۰	۴-۴ شناسایی سطح جاده بر پایه رویتگر
۶۰	۴-۴-۱ مدل سازی ریاضی سیستم
۶۲	۴-۴-۲ رویتگر حالت داخلی اصطکاک و تخمین تطبیقی پارامترها
۶۵	۴-۴-۳ تحلیل پایداری الگوریتم پیشنهادی
۶۷	۴-۴-۴ شبیه سازی روش شناسایی سطح جاده بر پایه رویتگر
۷۵	فصل پنجم: شناسایی سطح جاده، آزاد از مدل
۷۶	۵-۱ بدست آوردن مقدار لغزش بهینه چرخ
۷۷	۵-۲ کنترل مود لغزشی ترمینال
۷۹	۵-۲-۱ مقدمات ریاضی
۸۰	۵-۳ کنترل تطبیقی ترمینال مود لغزشی
۸۱	۵-۳-۱ کنترل مود لغزشی ترمینال
۸۶	۵-۴ طراحی کنترل مود لغزشی ترمینال تطبیقی
۸۹	۵-۵ نتایج شبیه سازی
۱۰۱	فصل ششم: نتیجه‌گیری و پیشنهادات

۱-۶ نتیجه گیری

۱۰۲

۲-۶ پیشنهادات

۱۰۲

مراجع

۱۰۴

فصل اول

مقدمه

امروزه با گسترش روز افزون دانش بشری در صنعت، تمامی سیستم‌ها به سوی بهینه شدن و همینطور ایجاد ایمنی و آسایش بیشتر برای مصرف کننده گام بر می‌دارند، سیستم‌های ترمز ضد قفل نیز از این قاعده مستثنی نیستند. از اولین نمونه ساخته شده این نوع ترمز در کارخانه بنز سالها می‌گذرد و هر روز شاهد تحولی در ساختار این سیستم و استفاده از آن در مکانیزم‌های مختلف هستیم.

به کمک سیستم ترمز ضد قفل می‌توان از قفل شدن چرخ‌های خودرو در شرایط اضطراری جلوگیری کرد. این سیستم با بدست آوردن حداکثر اصطکاک بین تایر و جاده، حداقل مسافت طی شده در زمان ترمز گیری را فراهم می‌کند و مانع قفل شدن و یا لغزش بیش از حد چرخ‌ها می‌گردد.

در ترمزهای معمولی راننده نمی‌تواند مقدار گشتاور ترمزی اعمال شده به چرخ‌ها را دقیقاً کنترل نماید و چنانچه اطلاع دقیقی از شرایط جاده و تایر نداشته باشد، با فشردن بیش از حد پدال ترمز، چرخ‌ها قفل می‌شوند. ضریب اصطکاک بین تایر و جاده در چرخ‌های قفل شده کم می‌شود و در نتیجه مسافت توقف خودرو در زمان ترمزگیری افزایش می‌یابد، همچنین در این حالت پایداری جانبی خودرو نیز از دست رفته و خودرو ممکن است از مسیر خود منحرف گردد، سیستم ترمز ضد قفل با جلوگیری از قفل شدن چرخ‌ها و بدست آوردن حداکثر اصطکاک بین تایر و جاده زمان توقف خودرو را کاهش داده و همچنین پایداری جانبی خودرو را نیز فراهم می‌کند.

آزمایش‌های انجام شده بر روی ضریب اصطکاک طولی، بین تایر و جاده نشان می‌دهد که با قفل شدن چرخ مقدار این ضریب کاهش می‌یابد و بنابراین مسافت طی شده توسط خودرو از هنگام شروع ترمزگیری تا توقف کامل خودرو افزایش می‌یابد. بنابراین قفل شدن چرخ‌ها باعث عدم استفاده بهینه از نیروی ترمز می‌گردد، همچنین عدم حرکت غلتی چرخ‌ها در هنگام ترمزگیری قدرت هدایت خودرو را از راننده سلب کرده و باعث عدم فرمان‌پذیری خودرو می‌شود.

منشا سیستم‌های ترمز ضد قفل امروزی، پیشرفت‌های ایجاد شده در سیستم ترمز قطارها در اوایل دهه ۱۹۰۰ است، پس از جنگ جهانی دوم و اهمیت جنگ‌های هوایی و هواپیماها، شرکت‌های سازنده، طراحی سیستم ترمز ضد قفل برای هواپیماها را آغاز کردند. ترمزهای ضد قفل جهت کمک به هواپیماها به منظور توقف سریعتر بر روی باندهای لغزنده پیشرفت داده شد. در سال ۱۹۴۷، ترمز ضد قفل بر روی بمب افکن‌های B-47 به منظور جلوگیری از پنچر شدن تایرها بر روی باندهای سیمانی و سرخوردن بر روی باندهای یخ زده نصب شد. اولین

ترمز ضد قفل در صنعت خودروسازی در سال ۱۹۵۴ بر روی تعداد محدودی از خودروهای لینکولنز^۱ بود. این سیستم ترمز از نمونه ترمز بکار رفته در هواپیماهای فرانسوی استفاده می‌کرد. در اواخر دهه ۶۰ میلادی، شرکت‌های کادیلاک^۲، کرایسلر^۳، فورد^۴ تعداد کمی از خودروهای مجهز به ترمز ضد قفل را به بازار عرضه کردند. این نوع ترمزاها از کامپیوترهای آنالوگ و مدولاتورهای عمل کننده با خلا بهره می‌بردند. از آنجا که سرعت مدولاتورها پایین بود، فاصله حقیقی توقف خودروها افزایش پیدا می‌کرد. به همین علت، پیشرفت این سیستم‌ها به دلیل وجود موانع قانونی در آمریکا به تاخیر افتاد و شرکت‌های اروپایی توانستند به مدت ۲۰ سال در این فناوری پیشتاز باشند. در اواخر دهه ۷۰، شرکت‌های بی‌ام دبليو^۵ و مرسدس^۶ سیستم‌های ضد قفل الکترونیکی را معرفی کردند. در سال ۱۹۸۵، شرکت‌های آئودی^۷، بی‌ام دبليو و مرسدس ترمز ضد قفل بوش^۸ و شرکت فورد سیستم تووس^۹ را معرفی کردند. در اواخر دهه ۸۰، خودروهای تجملاتی گران قیمت و اتومبیل‌های مسابقه مجهز به ترمز ضد قفل به بازار عرضه شدند. امروزه اغلب ماشین‌های سواری و خودروهای سبک مجهز به سیستم‌های پیچیده کنترل کامپیوترا هستند [۱].

۱- مرور تحقیقات پیشین

با توجه به اهمیت سیستم ترمز ضد قفل و امنیت خودرو، تاکنون روش‌های بسیاری توسط محققین برای کنترل ترمز ضد قفل ارئه شده است. در ابتدا کنترل سیستم‌های ترمز ضد قفل توسط روش‌های قانون-پایه^{۱۰} انجام می‌گردید [۲، ۳] این روش‌ها داری این مزیت‌اند که طراحی مستقل از مدل می‌باشد، اما استفاده از این روش‌ها تضمینی برای پایداری سیستم و همچنین عملکرد بهینه ندارند. در سال‌های اخیر استفاده از روش‌های نوین علم کنترل برای بدست آوردن عملکرد بهتر در سیستم‌های ترمز پیشنهاد شده است. در [۴] با استفاده از خطی سازی سیستم غیرخطی، کنترل کننده برای سیستم ترمز طراحی و تحلیل شده است، که در این روش آنالیز

¹ Lincolns

² Cadillac

³ Chrysler

⁴ Ford

⁵ BMW

⁶ Mercedes

⁷ Audi

⁸ Bosch

⁹ Teves

¹⁰ Rule-Based

پایداری تنها به صورت محلی و در نزدیکی نقطه تعادل معتبر می‌باشد. در [۵] با استفاده از روش غیرخطی گام به عقب، الگوریتمی برای کنترل سیستم ترمز و سیستم تعلیق فعال طراحی شده است، در این روش برای افزایش عملکرد سیستم ترمز، از سیستم تعلیق کمک گرفته شده و در زمان ترمزگیری سیستم تعلیق با حذف اغشاشات جاده و همچنین افزایش نیروی عمودی وارد بر چرخ، اصطکاک بین چرخ و جاده را افزایش می‌دهد، نتایج بدست آمده نشان می‌دهد عملکرد سیستم ترکیب شده ترمز و تعلیق فعال بهتر از سیستم ترمز به تنها می‌باشد. این طراحی وابسته به مدل بوده و برای پیاده سازی باید تمامی پارامترهای سیستم در دسترس باشند و وجود عدم قطعیت در پارامترهای سیستم ممکن است باعث کاهش عملکرد سیستم و یا حتی ناپایداری شود.

سیستم‌های فازی به علت سادگی طراحی و همچنین مقاوم بودن نسبت به عدم قطعیت‌ها به طور گسترده‌ای در طراحی سیستم ترمز ضد قفل استفاده شده‌اند. در [۶] با استفاده از الگوریتم ژنتیک، کنترل‌کننده فازی بهینه برای سیستم ترمز طراحی شده است، پارامترهای توابع تعلق ورودی و خروجی کنترل‌کننده فازی به نحوی بدست می‌آیند که عملکرد ترمزگیری در سطوح جاده مختلف بهینه باشد، نتایج بدست آمده نشان می‌دهد که سیستم ترمز در تمامی سطوح جاده عملکردی مناسب داشته و لغزش چرخ در محدوده‌ای نزدیک به مقدار بهینه تنظیم می‌شود، این کنترل‌کننده با وجود بهینه بودن نسبت به سطوح مختلف جاده‌ای آنالیز پایداری نداشته و ممکن است باعث ناپایداری در سیستم شود. در [۷] از یک سیستم فازی معمولی برای کنترل ترمز ضد قفل استفاده شده، سیستم فازی به نحوی طراحی شده که از قفل شدن چرخ‌ها جلوگیری می‌شود، طراحی کنترل‌کننده مستقل از مدل بوده و همچنین آنالیز پایداری ندارد، بعلاوه نوع سطح جاده توسط یک سیستم فازی دیگر شناسایی می‌گردد. در [۸] از کنترل‌کننده PID فازی تطبیقی برای تنظیم مقدار لغزش چرخ استفاده شده است، در آن پارامترهای کنترل کننده توسط سیستم‌های فازی برای بدست آوردن عملکرد بهتر تنظیم می‌شوند.

لغزش چرخ که به صورت سرعت نسبی نرم‌الیزه شده بین چرخ و خودرو می‌باشد، از مهمترین پارامترها در کنترل ترمز ضد قفل می‌باشد. هدف اصلی سیستم‌های ترمز ضد قفل تنظیم مقدار لغزش چرخ در محدوده ۰.۱ تا ۰.۳ می‌باشد [۹] که در این ناحیه برای اکثر شرایط جاده بیشترین ضریب اصطکاک بین تایر و جاده بدست می‌آید. در لغزش بهینه حداقل ضریب اصطکاک طولی بین تایر و جاده بدست آمده و در نتیجه اگر مقدار لغزش چرخ در مقدار بهینه تنظیم گردد، حداقل مسافت توقف حاصل می‌شود، با توجه به مطالب ارائه شده در [۱] ضریب اصطکاک عرضی خودرو در چرخ‌های کاملاً قفل شده تقریباً صفر شده و در نتیجه پایداری عرضی و

فرمان پذیری خودرو از بین می‌رود اما در لغزش بهینه اصطکاک عرضی بین تایر و جاده حفظ شده و فرمان پذیری خودرو نیز فراهم می‌شود.

در ترمزهای معمولی بدون توجه به نوع جاده، همواره راننده برای توقف سریعتر نیروی بیشتری بر پدال ترمز وارد می‌کند، که باعث قفل شدن چرخ‌ها می‌شود، با قفل شدن چرخ‌ها ضریب اصطکاک بین تایر و جاده کاهش یافته و زمان توقف خودرو افزایش می‌یابد. اما در ترمز ضد قفل کنترل کننده با تنظیم لغزش چرخ، در مقدار لغزش بهینه، حداقل اصطکاک بین تایر و جاده را بدست می‌آورد.

با توجه به اینکه لغزش بهینه در سطوح مختلف جاده‌ای تغییر می‌کند، از مشکلات طراحی سیستم ترمز ضد قفل بدست آوردن اطلاعات در مورد نوع جاده و لغزش بهینه در جاده می‌باشد، با توجه به اینکه ممکن است رانندگی در سطوح جاده‌ای مختلف به طور مثال آسفالت خشک و جاده برفی انجام شود، مقدار لغزش بهینه و ورودی مرجع برای حلقه کنترل تغییر می‌کند. در نتیجه طراحی روش‌هایی برای بدست آوردن مقدار لغزش بهینه و ورودی مرجع برای حلقه کنترل در زمان ترمز گیری دارای اهمیت بسیار می‌باشد.

در برخی از تحقیقات [۱۰] مقدار لغزش مطلوب ۰.۲ فرض شده، که این مقدار عددی مناسب برای اکثر شرایط جاده‌ای می‌باشد اما مقدار بهینه برای سطوح مختلف جاده نیست و عددی مصالحه کارانه برای تمامی سطوح جاده می‌باشد. برخی محققین [۱۱، ۱۲] مقدار لغزش بهینه برای هر سطح جاده را معلوم فرض کردند و سیستم کنترل برای تنظیم این مقدار لغزش طراحی شده است.

در [۱۳] با استفاده از کنترل کننده مود لغزشی، مقدار لغزش بهینه و در نتیجه مقدار گشتاور ترمزی بهینه برای سطوح جاده‌ای مختلف بدست می‌آید. در [۱۴] از حسگرهای آکوستیک برای بدست آوردن شرایط جاده استفاده شده، در [۱۵] از حسگرهایی برای بدست آوردن تغییر شکل آچهای تایر استفاده شده که می‌تواند اطلاعاتی درباره نوع جاده و شرایط بین تایر و جاده بدست آورد، این روش‌ها بسیار گران بوده و پیاده سازی آنها مشکل می‌باشد همچنین نویز بر روی عملکرد این سیستم‌ها می‌تواند تاثیر بسیار زیادی داشته باشد.

در [۱۶، ۱۷] روشی مبتنی-برمدل^۱ برای بدست آوردن مقدار لغزش بهینه پیشنهاد شده، که در آن با استفاده از روش حداقل احتمال وقوع و حداقل مربعات بازگشتی روشی بر-خط^۲ برای بدست آوردن مقدار لغزش بهینه

¹ Model-based

² Online

پیشنهاد شده است، که این روش از مشکل تحریک پایا و ورودی مناسب برای شناسایی پارامترها رنج می‌برد و ممکن است با تغییر شرایط جاده پارامترها همگرا نشده و مقدار لغزش مطلوب بدست نیاید.

در [۷] از سیستم فازی به عنوان شناساگر سطح جاده استفاده شده، این سیستم فازی طراحی شده دارای عملکرد بهینه نبوده و تنها مقدار لغزش را به نحوی بدست می‌آورد که از قفل شدن چرخ‌ها جلوگیری شود.

با توجه به اینکه بیان اصطکاک به صورت دینامیک امکان طراحی رویتگر برای تخمین دینامیک داخلی اصطکاک را به طراح می‌دهد برخی از محققین با فرض اینکه اصطکاک بین تایر و جاده دارای رفتاری دینامیک می‌باشد، از رویتگر برای تخمین دینامیک داخلی اصطکاک استفاده می‌کنند. در [۱۸] یک مدل دینامیک به نام مدل لوگری^۱ برای توصیف اصطکاک بین دو سطح توسط یک سیستم غیرخطی مرتبه اول پیشنهاد شده است. در [۱۹] از این مدل برای بیان اصطکاک بین تایر و جاده استفاده شده، در [۲۰] این مدل به نحوی اصلاح شده که یکی از پارامترهای موجود در آن بیانگر نوع سطح جاده باشد. با بدست آوردن این پارامتر نوع جاده و مقدار لغزش بهینه در آن بدست می‌آید، در [۲۰-۹] با فرض معلوم بودن تمامی پارامترهای اصطکاک و نامعلوم بودن تنها یک پارامتر که بیانگر نوع سطح جاده می‌باشد، با استفاده از رویتگر پارامتر نامعلوم و دینامیک داخلی اصطکاک بدست می‌آیند، و با تخمین این پارامتر نوع سطح جاده و در نتیجه مقدار لغزش بهینه بدست آمده است. این روش‌ها برای پیاده سازی نیاز به دانستن تمامی پارامترهای اصطکاک می‌باشند. در [۲۳] با استفاده از رویتگر مود لغزشی و کنترل کننده تناسبی-انتگرالی-مشتقی سیستم کنترلی برای ترمز ضد قفل طراحی شده است، کنترل کننده پیشنهادی نیازی به اطلاع از نوع سطح جاده ندارد، و مقدار لغزش بهینه با اندازه‌گیری سرعت چرخ خودرو بدست می‌آید. در [۲۴] کنترل کننده فازی عصبی برای سیستم ترمز ضد قفل طراحی شده که سیستم عصبی وظیفه بدست آوردن مقدار لغزش بهینه چرخ، و سیستم فازی نقش کنترل کننده را ایفا می‌کند، پارامترهای کنترل کننده فازی برای بدست آوردن عملکرد بهینه توسط الگوریتم ژنتیک تنظیم می‌شود.

با توجه به اینکه سیستم‌های فازی تقریب‌گرهای عمومی‌اند [۲۵] و می‌توانند هر تابع غیرخطی را با دقت دلخواه تقریب بزنند، از این ویژگی سیستم‌های فازی به طور گسترده‌ای توسط محققین استفاده شده است [۲۶-۲۸].

کنترل فازی تطبیقی با ترکیب روش‌های تطبیقی و کنترل فازی، روشی مناسب برای کنترل سیستم‌های غیرخطی همراه با عدم قطعیت فراهم می‌آورد. کنترل فازی تطبیقی خود شامل دو روش مستقیم و غیرمستقیم می‌باشد. در حالت مستقیم، از سیستم‌های فازی به عنوان کنترل کننده استفاده می‌شود و قوانین کنترل فازی

^۱ LuGre

مستقیماً در کنترل کننده به کار گرفته می‌شوند. در روش غیرمستقیم، ابتدا فرایند تحت کنترل با استفاده از سیستم‌های منطق فازی مدل می‌شوند، سپس این توصیف‌های فازی مستقیماً در کنترل کننده به کار گرفته می‌شوند. کنترل فازی تطبیقی طراحی شده توسط روش مستقیم لیاپانوف، پایداری سیستم را تضمین می‌کند، هرچند در [۳۰، ۲۹، ۲۵] پایداری سیستم کنترل فازی تطبیقی با استفاده از روش مستقیم لیاپانوف اثبات شده، اما وجود خطای تخمین در سیستم فازی و اغتشاشات خارجی، باعث می‌شود خطای بین سیگنال مرجع و خروجی سیستم کاملاً حذف نگردد. کنترل فازی تطبیقی توسط محققین بسیاری بر روی سیستم ترمز ضد قفل به صورت موفقیت آمیزی پیاده سازی شده است [۳۱، ۲۶، ۹].

روش کنترل گام به عقب یک روش طراحی سیستماتیک و بازگشتی برای دسته خاصی از سیستم‌های غیرخطی می‌باشد. ایده کنترل پسگام انتخاب تابع مناسبی از حالت‌های سیستم به عنوان ورودی شبه کنترل برای زیر سیستم‌های، یک سیستم غیرخطی است [۳۳]. در سال‌های اخیر استفاده از روش پسگام مورد توجه بسیاری از محققان قرار گرفته در [۵] با استفاده از روش پسگام کنترل کننده غیرخطی برای سیستم ترمز ضد قفل طراحی شده، کنترل پسگام تطبیقی در [۳۴-۳۶] بررسی و طراحی شده است، که طراحی کنترل کننده برای سیستم غیرخطی در آنها با فرض خطی بودن سیستم نسبت به پارامترها انجام شده است. همچنین ترکیب روش پسگام و شبکه‌های عصبی در [۳۷، ۳۸]، و ترکیب روش پسگام با سیستم‌های فازی تطبیقی در [۴۰، ۳۹] ارائه شده که در همگی آنها سیستم‌های فازی یا شبکه‌های عصبی برای تقریب جملات غیرخطی و نامعلوم سیستم استفاده شده‌اند، کنترل کننده‌های تطبیقی پیشنهادی محدود بودن یکنواخت نهایی^۱ تمامی سیگنال‌ها در حلقه کنترل را تضمین می‌کنند.

۱-۲ اهداف تحقیق

هدف از این پایان نامه طراحی سیستم کنترل برای ترمز ضد قفل می‌باشد، کنترل کننده‌های فازی تطبیقی مستقیم و غیرمستقیم برای سیستم ترمز طراحی شده، عملکرد و پایداری کنترل کننده‌ها بررسی و تحلیل می‌شود. وظیفه حلقه کنترل تنظیم لغزش چرخ در مقدار لغزش مطلوب می‌باشد، با توجه به اینکه در ترمز ضد قفل ورودی مرجع برای حلقه کنترل، مقدار لغزش بهینه می‌باشد و لغزش بهینه در سطوح جاده‌ای مختلف

¹ Uniformly ultimately bounded

تغییر می کند، الگوریتم هایی برای بدست آوردن مقدار لغزش بهینه و ورودی مرجع برای حلقه کنترل طراحی و تحلیل می کنیم.

۱-۳ مروری بر ساختار پایان نامه

در فصل دوم مدل سازی ریاضی ترمز ضد قفل ارائه می شود، در این پایان نامه از مدل یک-چهارم استفاده شده است، سپس به بیان مسئله و مشکلات در طراحی سیستم کنترل برای ترمز ضد قفل می پردازیم.

در فصل سوم کنترل کننده های فازی تطبیقی مستقیم و غیر مستقیم طراحی شده اند. ابتدا کنترل فازی تطبیقی مستقیم بررسی و تحلیل شده است، سپس کنترل فازی تطبیقی غیر مستقیم بررسی می شود، در نهایت با استفاده از کنترل فازی تطبیقی مستقیم به روش پسگام و در نظر گرفتن دینامیک محرک در سیستم ترمز، سیستم کنترل برای ترمز طراحی می کنیم، پایداری سیستم حلقه بسته بررسی و تحلیل می شود.

در فصل چهارم روش های تخمین مقدار لغزش بهینه ارائه می شوند، طراحی الگوریتم های پیشنهادی در این فصل همگی وابسته به مدل هستند، همگرایی روش های پیشنهادی بررسی و تحلیل می شوند، سپس در فصل پنجم الگوریتمی آزاد از مدل برای بدست آوردن مقدار لغزش بهینه و توقف خودرو در زمان محدود، پیشنهاد می شود، برای پیاده سازی این روش نیاز به کنترل کننده پایدار که همگرایی خطای صفر را در زمان محدود تضمین کند، می باشد، برای انجام اینکار از کنترل مود لغزشی ترمینال تطبیقی استفاده می کنیم. در نهایت در فصل ششم به نتیجه گیری و ارائه پیشنهادات می پردازیم.

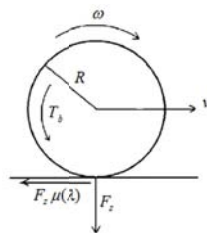
فصل دوم

مدل‌سازی ریاضی و بیان مسئله

۱-۲ مدل‌سازی ریاضی

در این پایان‌نامه از مدل یک‌چهارم خودرو برای طراحی سیستم ترمز ضد قفل استفاده شده است. مدل یک‌چهارم خودرو در شکل (۱-۲) دیده می‌شود، با استفاده از قانون دوم نیوتن، داریم:

$$\begin{aligned} m\dot{v} &= -F_z\mu(\lambda) - C_x v^2 \\ J\dot{\omega} &= -B\omega - F_z\mu(\lambda)R - T_b \end{aligned} \quad (1-2)$$



شکل (۱-۲) دینامیک چرخ خودرو

که m جرم کل شامل، جرم چرخ و جرم خودرو، v سرعت طولی خودرو، F_z نیروی عمودی، $\mu(\lambda)$ ضریب اصطکاک بین جاده و لاستیک می‌باشد. C_x ضریب آیرودینامیک خودرو، J ممان اینرسی چرخ، ω سرعت زاویه‌ای چرخ، B ضریب اصطکاک بلبرینگ چرخ، R شعاع چرخ و T_b گشتاور ترمزی می‌باشد.

سیستم‌های ترمز ضد قفل در اکثر خودروها از محرک‌های هیدرولیکی استفاده می‌کنند، همانطور که در [۴۱] مطرح شده، می‌توان گشتاور ترمزی را به صورت $T_b = K_b P_b$ تقریب زد. که K_b بهره سیستم ترمز و P_b فشار سیلندر اصلی است. این تقریب در بسیاری از مقالات و پژوهش‌ها استفاده شده، به عنوان مثال در مراجع [۳۱، ۴۵-۴۲] از این تقریب برای طراحی سیستم کنترل برای ترمز ضد قفل استفاده گردیده است. در این پایان‌نامه نیز از این تقریب برای سیستم محرک ترمز استفاده می‌کنیم.

یکی از مهمترین پارامترها در کنترل ترمز ضد قفل لغزش می‌باشد، لغزش چرخ به صورت سرعت نسبی نرمالیزه شده بین بدنه و لاستیک خودرو تعریف می‌شود، که با صرفنظر کردن از حرکات جانبی خودرو به صورت زیر بیان می‌شود

$$\lambda = \frac{v - R\omega}{v} \quad (2-2)$$

مقدار $\lambda = 0$ نشان دهنده چرخش آزاد چرخ بدون اعمال نیروی ترمزی می‌باشد و مقدار $\lambda = 1$ نشان دهنده قفل شدن کامل چرخ ($\omega = 0$) است.

با مشتق‌گیری نسبت به زمان از معادله (۲-۲) داریم:

$$\dot{\lambda} = \frac{-R\dot{\omega}v + R\omega\dot{v}}{v^2} \quad (3-2)$$

با جایگذاری (۱-۲) در (۳-۲) با:

$$\begin{aligned} \dot{\lambda} &= \frac{-R}{vJ}(-B\omega + F_z\mu(\lambda) - (T_b + d)) + \frac{R\omega}{mv^2}(-F_z\mu(\lambda) - C_x v^2) \\ &= \frac{RB\omega - F_z\mu(\lambda)R}{vJ} - \frac{R\omega F_z\mu(\lambda) + R\omega C_x v^2}{mv^2} + \frac{R}{vJ} T_b \end{aligned} \quad (4-2)$$

معادله (۴-۲) را به صورت ساده شده‌ی زیر می‌توان نشان داد:

$$\dot{\lambda} = f(\lambda) + gu \quad (5-2)$$

که در آن :

$$f(\lambda) = \frac{RB\omega - F_z\mu(\lambda)R}{vJ} - \frac{R\omega F_z\mu(\lambda) + R\omega C_x v^2}{mv^2}$$

$$g = \frac{R}{J}$$

و $u = \frac{T_b}{v}$ می‌باشد، که در آن v سرعت خودرو و T_b گشتاور ترمزی می‌باشد.

۲-۲ اصطکاک بین تایر و جاده

ضریب اصطکاک بین تایر و جاده (λ) تابعی غیرخطی بر حسب مقدار لغزش چرخ می‌باشد، که دارای یک نقطه ماکزیمم است [۴۶]. در شکل (۲-۲) منحنی تغییرات ضریب اصطکاک بر حسب لغزش برای چند سطح جاده دیده می‌شود.

چندین مدل ریاضی برای بیان رابطه بین اصطکاک و لغزش توسط محققان ارائه شده، مدل پسجکا^۱ [۴۷] که توسط رابطه (۶-۲) بیان می‌شود، با استفاده از برآش منحنی به داده‌های آزمایشگاهی و عملی بدست آمده است

$$\mu(\lambda) = c_1 \sin(c_2 \arctan(c_3 \lambda - c_4(c_3 \lambda - \arctan(c_3 \lambda)))) \quad (6-2)$$

که با تغییر پارامترهای c_i ها شرایط مختلف جاده بدست می‌آید.

در [۴۸] مدل ریاضی دیگری به فرم معادله (۷-۲) برای بیان رابطه بین ضریب اصطکاک و لغزش معرفی شده

$$\mu(\lambda, v) = (c_1(1 - e^{-c_2 \lambda}) - c_3 \lambda) e^{-c_4 \lambda} \quad (7-2)$$

در این معادله v سرعت خودرو و c_i ها ثابت‌هایی هستند که نوع سطح جاده را مشخص می‌کنند.

در [۴۹] با صرفنظر کردن از سرعت در معادله (۷-۲) و پس از تقریبتابع نمایی، مدل زیر برای بیان رابطه اصطکاک-لغزش معرفی شده

$$\mu(\lambda) = k_s \frac{\lambda}{c_1 \lambda^2 + c_2 \lambda + 1} \quad (8-2)$$

که در آن k_s شیب منحنی $\lambda - \mu$ در $0 = \lambda$ است، و پارامترهای c_i ها در سطوح جاده‌ای مختلف تغییر می‌کنند.

در [۵۰] مدل ریاضی به نام مدل بورکهارت^۲ پیشنهاد شده، که به صورت معادله (۹-۲) بیان می‌شود

$$\mu(\lambda) = c_1(1 - e^{-c_2 \lambda}) - c_3 \lambda \quad (9-2)$$

تمام مدل‌های ارائه شده دارای پارامترهایی برای بیان نوع جاده هستند و در حالت کلی همواره منحنی رابطه بین لغزش و اصطکاک به صورت منحنی‌های شکل (۲-۲) بوده که دارای یک نقطه ماکزیمم می‌باشد.

مدل‌های ارائه شده در این بخش اصطکاک بین تایر و جاده را به صورت پدیده‌ای استاتیک در نظر می‌گیرند، در فصل چهار یک مدل دینامیک برای بیان رابطه اصطکاک بین تایر و جاده بررسی می‌شود.

در این پایان نامه برای مدل سازی رابطه بین اصطکاک تایر و جاده از مدل بورکهارت، معادله (۹-۲) استفاده می‌کنیم. پارامترهای بیان کننده سطوح مختلف برای این مدل در جدول (۱-۲) آمده است.

¹ Pacejka's model

² Burckhardt

جدول (۱-۲) پارامترهای بیان کننده سطوح مختلف جاده برای مدل اصطکاک بورکهارت [۴۸]

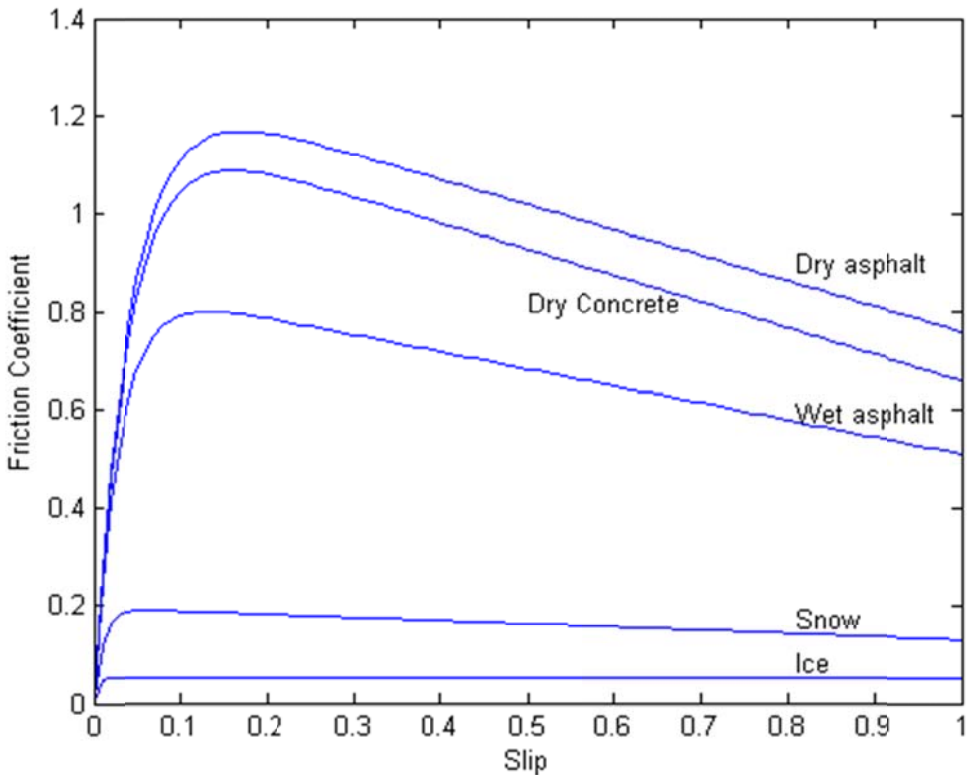
Surface condition	c_1	c_2	c_3
Dry asphalt	1.2801	23.99	0.52
Wet asphalt	0.857	33.822	0.347
Dry Concrete	1.1973	25.168	0.5373
Snow	0.1946	94.129	0.0646
Ice	0.05	306.39	0

در هنگام رانندگی عادی و بدون ترمزگیری لغزش چرخ $\lambda = 0$ می‌باشد، در زمان ترمزگیری با کاهش سرعت زاویه‌ای چرخ‌ها، لغزش افزایش می‌یابد تا اینکه در نهایت با قفل شدن چرخ‌ها، مقدار لغزش چرخ $\lambda = 1$ می‌شود.

با توجه به آزمایشات عملی بر روی خودرو، در چرخ‌های کاملاً قفل شده مقدار ضریب اصطکاک طولی بین جاده و تایر کاهش پیدا می‌کند، در نتیجه در این حالت مسافت توقف خودرو افزایش می‌یابد [۱]، گذشته از این در هنگام قفل شدن چرخ‌ها ضریب اصطکاک عرضی بین تایر و جاده نیز از بین رفته و خودرو پایداری عرضی اش را از دست می‌دهد، در این حالت با کوچکترین نیروی جانبی منحرف می‌شود.

هدف ترمز ضد قفل تنظیم لغزش چرخ در مقدار مطلوب می‌باشد، مقدار لغزش مطلوب وابسته به شرایط جاده، تایر، آب و هوا و... تغییر می‌کند [۱]. در شکل (۲-۲) منحنی تغییر ضریب اصطکاک بین تایر و جاده بر حسب لغزش برای چند جاده نشان داده شده است. با توجه به این شکل می‌توان ملاحظه کرد که با افزایش لغزش، ضریب اصطکاک بین تایر و جاده ابتدا افزایش یافته و سپس با قفل شدن چرخ‌ها کاهش می‌یابد، لغزش‌ای که در آن مقدار ضریب اصطکاک بین تایر و جاده حداکثر می‌شود، لغزش بهینه می‌نامیم.

در واقع در ترمز ضد قفل با تنظیم لغزش چرخ در مقدار بهینه، حداکثر اصطکاک طولی بین تایر و جاده بدست می‌آید، که این خود، زمان توقف خودرو را حداقل می‌کند.



شکل (۲-۲) منحنی های ضریب اصطکاک بر حسب لغزش برای سطوح جاده مختلف

در ترمزهای معمولی بدون توجه به نوع جاده، همواره راننده برای توقف سریعتر نیروی بیشتری بر پدال ترمز وارد می‌کند، که باعث قفل شدن چرخ‌ها می‌شود، با قفل شدن چرخ‌ها ضریب اصطکاک بین تایر و جاده کاهش یافته و زمان توقف خودرو افزایش می‌یابد. اما در ترمز ضد قفل کنترل کننده با تنظیم لغزش چرخ در مقدار لغزش بهینه حداقل اصطکاک بین تایر و جاده را بدست می‌آورد. از مشکلات طراحی سیستم ترمز ضد قفل بدست آوردن اطلاعات در مورد نوع جاده و لغزش بهینه در هنگام ترمزگیری می‌باشد، با توجه به اینکه ممکن است رانندگی در سطوح جاده‌ای مختلف مثلاً آسفالت خشک و جاده برفی انجام شود، مقدار لغزش بهینه و ورودی مرجع برای حلقه کنترل تغییر می‌کند.

در ادامه، دو روش کلی طراحی کننده‌های فازی تطبیقی مستقیم و غیرمستقیم را بررسی و تحلیل می‌کنیم، سپس الگوریتم‌های برای بدست آوردن مقدار لغزش بهینه در هنگام ترمزگیری ارائه می‌کنیم.

فصل سوم

کنترل فازی تطبیقی

۱-۳ مقدمه

کنترل کننده‌های فازی به طور موفقیت آمیزی بر روی بسیاری از سیستم‌های غیر خطی پیاده سازی شده‌اند، از مزایای کنترل فازی، استفاده از دانش انسان خبره زمانی که مدل ریاضی دقیقی از سیستم موجود نیست می‌باشد. نبود یک روش مدون و استاندارد برای طراحی، همچنین تنظیم کنترل کننده برای بدست آوردن عملکرد مطلوب و نیز تحلیل پایداری سیستم حلقه بسته از مشکلات موجود در کنترل فازی هستند.

عموماً، در کنترل فازی تطبیقی توابع نامعلوم و پیوسته توسط سیستم‌های فازی تقریب زده می‌شوند، که این کار باعث ایجاد یک خطای تقریب می‌شود. وجود خطای تقریب در سیستم‌های فازی تحلیل پایداری سیستم را تحت تاثیر قرار می‌دهد، حذف خطای تقریب از موضوعات مهم در تجزیه و تحلیل پایداری سیستم‌های کنترل فازی تطبیقی می‌باشد.

در [۵۳-۵۱] فرض شده که خطای تقریب سیستم فازی قابل چشم‌پوشی است. در [۲۵، ۵۴-۵۷] تحلیل پایداری با فرض اینکه خطای تقریب سیستم فازی به حد کافی کوچک است و محدود آن انتگرال‌پذیر است انجام شده، اثبات انتگرال‌پذیر بودن دوم خطا تقریب در این حالت بسیار مشکل می‌باشد به خصوص در زمانی که مدل ریاضی دقیقی از سیستم در دسترس نباشد. برای برطرف کردن این مشکل برخی از محققان در [۵۸-۶۰] با فرض اینکه حداکثر خطای تقریب سیستم فازی معلوم است، با استفاده از کنترل ساختار متغیر^۱ خطای تقریب سیستم فازی را جبران سازی می‌کنند، در این روش نیاز به دانستن حداکثر خطای تقریب سیستم فازی می‌باشد که بدست آوردن حداکثر خطای تقریب امری ساده نمی‌باشد، برای حل این مشکل نیز برخی محققان [۶۱، ۶۳-۶۲] روش‌هایی برای بدست آوردن حداکثر خطای تقریب سیستم فازی به صورت برخط و در حین کار کنترل کننده پیشنهاد داده‌اند. در [۶۲، ۲۶] یک بهره تطبیقی غیرمنفی برای بدست آوردن حداکثر خطای تقریب سیستم فازی پیشنهاد شده است. با توجه به اینکه بهره تطبیقی همواره غیر کاهشی می‌باشد ممکن است این بهره به صورت نامحدود افزایش یافته و باعث ناپایداری شود، همچنین وجود جمله سوییچینگ در قانون کنترل، باعث ایجاد چتربینگ در سیستم می‌شود. در [۶۱، ۶۳] قوانین تطبیق به نحوی اصلاح شده‌اند که تضمین محدود بودن حداکثر خطای تقریب تخمین زده شده، محدود باشد.

هدف این بخش طراحی کنترل کننده فازی تطبیقی با شرایط زیر می‌باشد

^۱ Variable structure system

- سیستم حلقه بسته پایدار بوده و تمام متغیرها در آن محدود باشند.
- خطای ردیابی سیستم حلقه بسته تا حد ممکن کوچک و به ناحیه‌ای در نزدیکی مبدأ همگرا شود.

۲-۳ کنترل فازی تطبیقی مستقیم

با در نظر گرفتن مدل ریاضی سیستم بدست آمده در بخش (۱-۲) می‌توان معادله کلی سیستم ترمز را به صورت زیر بیان کرد:

$$\dot{\lambda} = f(\lambda) + gu$$

برای طراحی سیستم کنترل در این بخش از فرضیات زیر استفاده می‌کنیم

(۱) g ثابت مثبت نامعلوم.

(۲) سیگنال کنترل $|u| \leq u_{\max}$ می‌باشد.

(۳) $f(\lambda)$ تابعی نامعلوم.

با تعریف خطای ردیابی به صورت $e = \lambda_d - \lambda$ که در آن λ_d لغزش بهینه و λ لغزش چرخ است کنترل کننده فازی تطبیقی مستقیم برای سیستم ترمز طراحی می‌کنیم.

با پیشنهاد قانون کنترل

$$u^* = g^{-1}(\dot{\lambda}_d - f(\lambda) + ke)$$

که K ثابت مثبت طراحی است، دینامیک خطای سیستم حلقه بسته به شکل زیر بدست می‌آید

$$\dot{e} + ke = 0$$

که پایداری سیستم حلقه بسته و همگرایی خطا به صفر را تضمین می‌کند. اما با توجه به ناشناخته بودن توابع غیرخطی f, g ، با استفاده از ویژگی سیستم‌های فازی در تقریب هر تابع غیرخطی با دقت دلخواه [۲۵] از سیستم فازی برای تقریب سیگنال کنترل u^* استفاده می‌کنیم.

در نتیجه قانون کنترل را به صورت زیر پیشنهاد می‌شود

$$u = \hat{u}(e, \theta) + u_{rb} \quad (1-3)$$

که در آن \hat{u} یک سیستم فازی برای تقریب u^* است، که در ادامه و توسط قانون تطبیق بدست می‌آید و u_{rb} جمله مقاوم برای کاهش خطای تقریب سیستم فازی می‌باشد.

۱-۲-۳ تقریب‌گرهای فازی

برای تقریب، از سیستم فازی تاکاگی-سوگنو مرتبه صفر تک ورودی استفاده می‌کنیم، که شامل قوانینی به شکل زیر می‌باشد:

$$R^{(l)} : \text{if } e \text{ is } A^l \text{ then } \hat{u} = C^l$$

e, \hat{u} به ترتیب ورودی و خروجی سیستم فازی هستند. A^l مجموعه فازی ورودی و C^l ثابت خروجی است، که $l = 1, 2, \dots, m$

با استفاده از فازی ساز منفرد، موتور استنتاج ضرب سیستم فازی به صورت زیر بدست می‌آید [۲۵]

$$\hat{u}(e) = \frac{\sum_{l=1}^M C^l \mu_{A^l}(e)}{\sum_{l=1}^M \mu_{A^l}(e)} \quad (2-3)$$

که $\mu_{A^l}(e)$ تابع تعلق ورودی است. با تعریف تابع پایه فازی به صورت

$$\psi_l = \frac{\mu_{A^l}(e)}{\sum_{l=1}^M \mu_{A^l}(e)}$$

و تعریف

$$\theta^T = [C^1, C^2, \dots, C^M] = [\theta_1, \theta_2, \dots, \theta_M] \quad \psi(e) = [\psi_1(e), \psi_2(e), \dots, \psi_M(e)]^T$$

سیستم فازی (۳-۳) را می‌توان به صورت زیر نمایش داد

$$\hat{u}(e) = \theta^T \psi(e)$$

هر تابع غیرخطی $(e)^*$ را که توسط سیستم فازی تقریب زده می‌شود را می‌توان به صورت زیر نوشت

$$u^*(e) = \hat{u}(e, \theta^*) + \delta(e) = \theta^{*T} \psi(e) + \delta(e)$$

که در آن $(e)^*$ حداقل خطای تقریب سیستم فازی و θ^* بردار پارامترهای بهینه می‌باشد که

$$\theta^* = \arg \min_{\theta} \left[\sup_{e \in R} |\hat{u}(e, \theta) - u^*(e)| \right]$$

۲-۲-۳ طراحی قانون تطبیق

سیگнал کنترل $(e)^*$ را با استفاده از سیستم فازی زیر تقریب می‌زنیم.

$$\hat{u}(e, \theta) = \theta^T \psi(e) \quad (3-3)$$

که $(e)^*$ به صورت زیر بیان می‌شود

$$u^*(e) = \hat{u}(e, \theta^*) + \delta(e) = \theta^{*T} \psi(e) + \delta(e) \quad (4-3)$$

خطای تقریب می‌باشد، و با توجه به قضیه تقریب عمومی [۲۵]، دارای باند محدود می‌باشد.

در نتیجه دینامیک خطای سیستم حلقه بسته به صورت زیر بدست می‌آید

$$\dot{e} = g(u^* - \hat{u}) - gu_{rb} - ke \quad (5-3)$$

با جایگذاری رابطه‌های (۳-۳) و (۴-۳) در (۵-۳) داریم

$$\dot{e} = -g\tilde{\theta}^T \psi(e) - g\delta(e) - gu_{rb} - ke \quad (6-3)$$

که در آن $\tilde{\theta}^T = (\theta - \theta^*)^T$ است.

با توجه به محدود بودن خطای تقریب سیستم‌های فازی [۲۵]، $\delta(e)$ محدود بوده و دارای حد بالایی به صورت زیر می‌باشد

$$|\delta(e)| \leq \eta^*$$

با پیشنهاد تابع مثبت معین زیر به عنوان تابع کاندید لیاپانوف

$$V = \frac{1}{2}e^2 + \frac{g}{2\gamma_1}\tilde{\theta}^T\tilde{\theta} + \frac{g}{2\gamma_2}\tilde{\eta}^2 \quad (7-3)$$

که در آن γ_1, γ_2 ثوابت اکیداً مثبت، $\tilde{\theta} = \theta - \theta^*$ و $\tilde{\eta} = \eta - \eta^*$ تقریب η می‌باشد. با مشتق‌گیری نسبت به زمان از (7-3) داریم

$$\dot{V} = e\dot{e} + \frac{g}{\gamma_1}\tilde{\theta}^T\dot{\theta} + \frac{g}{\gamma_2}\tilde{\eta}\dot{\eta} \quad (8-3)$$

با جایگذاری از (8-3) در (6-3)

$$\dot{V} = e(-g\tilde{\theta}^T\psi(e) - g\delta(e) - gu_{rb} - ke) + \frac{g}{\gamma_1}\tilde{\theta}^T\dot{\theta} + \frac{g}{\gamma_2}\tilde{\eta}\dot{\eta} \quad (9-3)$$

و با انتخاب قانون تطبیق برای سیستم فازی به صورت

$$\dot{\theta} = \gamma_1\psi(e)e \quad (10-3)$$

داریم

$$\dot{V} = e(-g\delta(e) - gu_{rb} - ke) + \frac{g}{\gamma_2}\tilde{\eta}\dot{\eta} \quad (11-3)$$

با پیشنهاد $\dot{\eta} = u_{rb}$ به صورت زیر

$$u_{rb} = \eta \tanh\left(\frac{0.2785e\eta}{\varepsilon}\right)$$

$$\dot{\eta} = \begin{cases} \gamma_2(|e| - k_\eta(\eta - \eta_0)) & \text{if } (\eta < \eta_{\max}) \\ \text{or } (\eta = \eta_{\max} \text{ and } |e| \leq k_\eta(\eta - \eta_0)) \\ 0 & \text{if } \eta = \eta_{\max} \text{ and } |e| \leq k_\eta(\eta - \eta_0) \end{cases} \quad (12-3)$$

که ثابت‌های مثبت طراحی‌اند، و همچنین با این قانون تطبیق همواره $k_\eta, \eta_0, \varepsilon$ به (۱۲-۳) و $0 < \eta_0 \leq \eta \leq \eta_{\max}$ صورت زیر ساده می‌شود

$$\begin{aligned} \dot{V} &= -ke^2 - eg\delta(e) - eg\eta \tanh\left(\frac{0.2785e\eta}{\varepsilon}\right) + g\tilde{\eta}(|e| - k_\eta(\eta - \eta_0)) \\ &\leq -ke^2 + |e|g|\delta| - eg\eta \tanh\left(\frac{0.2785e\eta}{\varepsilon}\right) + g\tilde{\eta}(|e| - k_\eta(\eta - \eta_0)) \end{aligned} \quad (13-3)$$

با توجه به اینکه $gk_\eta(\eta - \eta_0)(\eta^* - \eta) \leq \frac{1}{4}gk_\eta(\eta^* - \eta_0)$ و همچنین $|e|g(|\delta| - \Delta) \leq 0$ با اینکه همواره داریم $a \in R$ برای $|a| - \tanh\left(\frac{0.2785a}{\varepsilon}\right) \leq \varepsilon$ معادله (۱۳-۳) به صورت زیر ساده می‌شود

$$\dot{V} \leq -ke^2 + g\varepsilon + \frac{1}{4}gk_\eta(\eta^* - \eta_0)$$

با قرار دادن $d = g\varepsilon + \frac{1}{4}gk_\eta(\eta^* - \eta_0)$ داریم

$$\dot{V} \leq -ke^2 + d \leq -2k\left(\frac{1}{2}e^2\right) - 2k\frac{g}{2\gamma_1}(\|\tilde{\theta}\|^2 - \max(\|\tilde{\theta}\|^2)) - 2k\frac{g}{2\gamma_2}(\tilde{\eta}^2 - \max(\tilde{\eta}^2)) + d \quad (14-3)$$

از آنجایی که

$$V \leq \frac{1}{2}e^2 + \frac{g}{2\gamma_1}(\|\tilde{\theta}\|^2) + \frac{g}{2\gamma_2}(\tilde{\eta}^2)$$

و تعریف

$$V_r = \left(\frac{d}{2k}\right) + \frac{g}{2\gamma_1}(\max(\|\tilde{\theta}\|^2)) + \frac{g}{2\gamma_2}(\max(\tilde{\eta}^2))$$

معادله (۱۴-۳) به صورت زیر ساده می‌شود

$$\dot{V}(t) \leq -2kV(t) + 2kV_r$$

$$\Rightarrow V(t) \leq (V(0) - V_r) \exp(-2kt) + V_r \quad (15-3)$$

در نتیجه

$$V(t) \leq \max(V(0), V_r)$$

با توجه به اینکه $V(t) \geq \frac{1}{2}e^2$ در نتیجه داریم

$$\frac{1}{2}e^2 \leq \max(V(0), V_r)$$

$$\Rightarrow |e| \leq \sqrt{2 \max(V(0), V_r)} \quad (15-3)$$

با توجه به معادله (15-3) داریم

$$\lim_{t \rightarrow \infty} V(t) \leq V_r$$

در نهایت می‌توان نتیجه گرفت خطای رديابی به بازه زیر همگرا می‌شود.

$$\lim_{t \rightarrow \infty} |e(t)| \leq \sqrt{2V_r}$$

و قانون کنترل را می‌توان به صورت زیر نوشت

$$u = \hat{u}(e, \theta) + u_{rb} = \theta^T \psi(S) + \eta \tanh\left(\frac{0.2785e\eta}{\varepsilon}\right) \quad (16-3)$$

که در آن از قوانین تطبیق

$$\dot{\theta} = \gamma_1 \psi(e) e$$

$$\dot{\eta} = \begin{cases} \gamma_2(|e| - k_\eta(\eta - \eta_0)) & \text{if } (\eta < \eta_{\max}) \\ \text{or } (\eta = \eta_{\max} \text{ and } |e| \leq k_\eta(\eta - \eta_0)) \\ 0 & \text{if } \eta = \eta_{\max} \text{ and } |e| \leq k_\eta(\eta - \eta_0) \end{cases} \quad (17-3)$$

استفاده شده، مزیت کنترل کننده پیشنهادی، تضمین پایداری و همگرایی به ناحیه‌ای در نزدیکی مبدا می‌باشد، که ضعع این ناحیه با انتخاب مناسب پارامترهای طراحی می‌تواند کاهش پیدا کرده و در نتیجه کاهش خطای رديابی را نتیجه دهد.

۳-۳ شبیه سازی کنترل فازی تطبیقی مستقیم

با استفاده از شبیه‌سازی، عملکرد کنترل فازی تطبیقی مستقیم را بر روی سیستم ترمز ضد قفل بررسی می‌کنیم.

با فرض ترمزگیری در جاده مسطح و در مسیری مستقیم، با سرعت اولیه $v = 30m/s = 108km/h$ ، و تغییر سطح جاده از آسفالت خشک به آسفالت خیس بعد از گذشت $25m$ و استفاده از قانون کنترل (۱۶-۳) و قوانین تطبیق (۱۷-۳) شبیه‌سازی را اجرا می‌کنیم.

پارامترهای کنترل کننده به صورت زیر انتخاب شده‌اند

$$\gamma_1 = 80000, \gamma_2 = 50, k_\eta = 0.01, \eta_0 = 0.001, \eta_{\max} = 1$$

$$\theta(0) = [0 \quad 0 \quad 0 \quad 0]^T, \eta(0) = 0$$

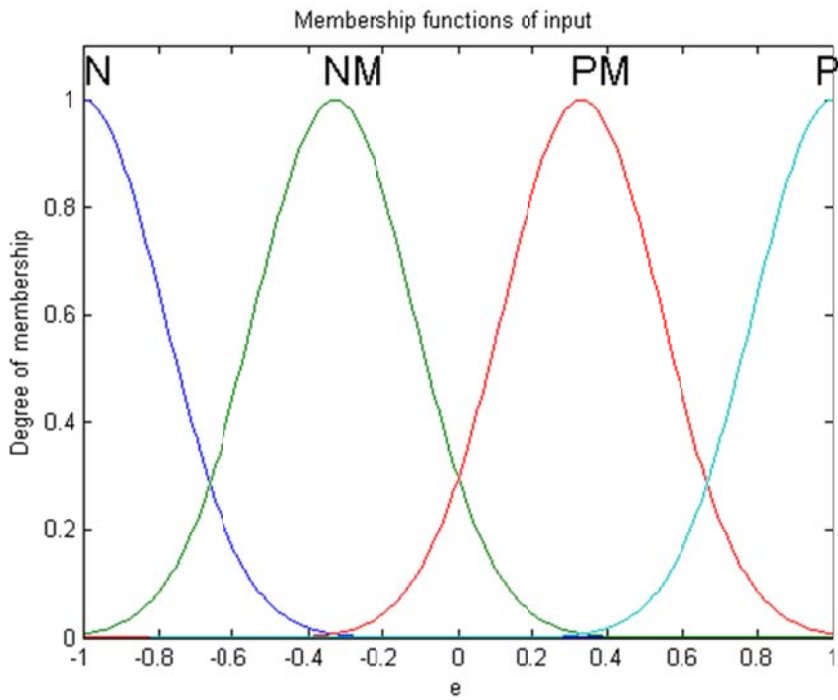
شبیه سازی با فرض مشخص بودن نوع جاده انجام شده و فرض می‌کنیم نوع جاده معلوم است و مقدار لغزش بهینه آن نیز در دسترس می‌باشد همچنین الگوریتم ترمز ضد قفل، تا زمانی که سرعت خطی خودرو $v = 3m/s$ اجرا می‌شود.

در ادامه پایان نامه برای شبیه سازی مدل یک-چهارم خودرو از داده‌های جدول (۱-۳) استفاده می‌کنیم.

جدول (۱-۳) پارامترهای مدل $\frac{1}{4}$ خودرو

Parameter	Value
m	390 Kg
R	0.25 m
B	0.08
C_x	0.856 Kg/m
J	1.7 Kg m ²

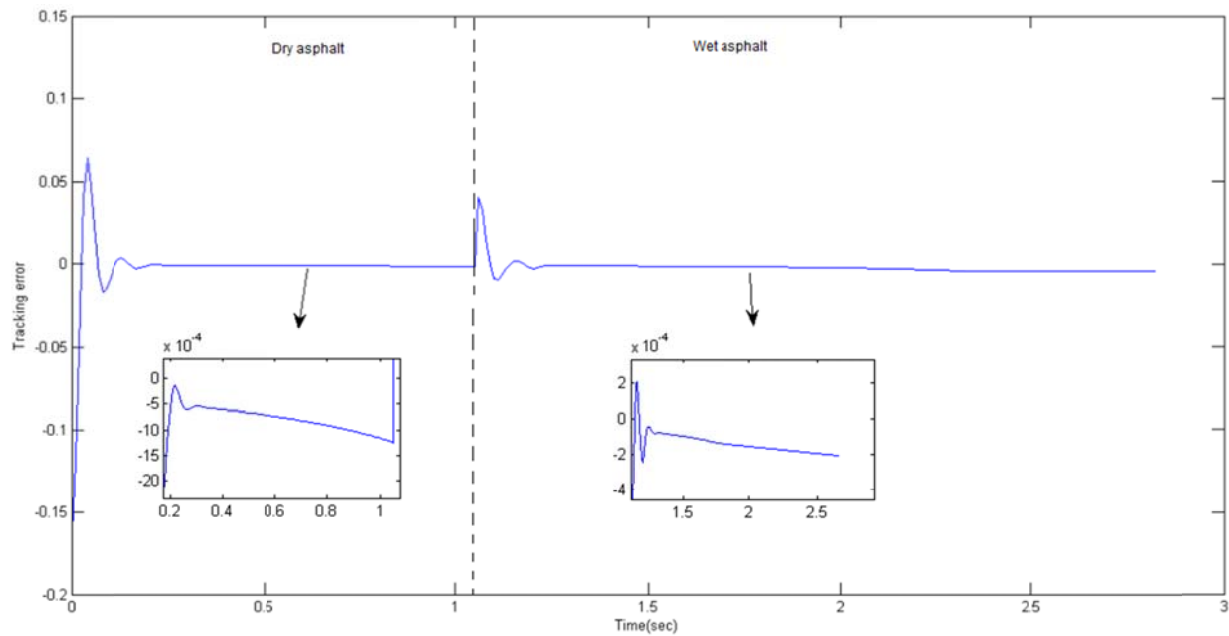
سیستم فازی دارای چهار قانون می‌باشد و توابع تعلق ورودی به صورت شکل (۱-۳) است



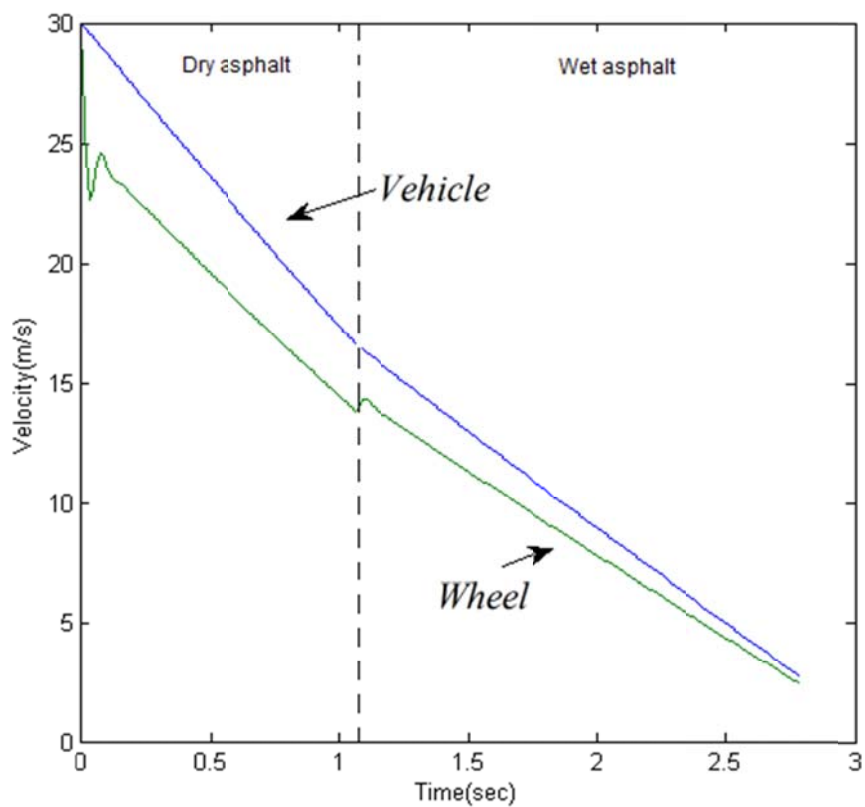
شکل (۱-۳) توابع تعلق ورودی سیستم فازی

عملکرد خطای رديابی در شکل (۲-۳) نشان داده شده، ملاحظه می‌شود که خطای رديابی در هر دو سطح جاده بسیار کوچک می‌باشد. سرعت خودرو و چرخ در دو سطح جاده در شکل (۳-۳) دیده می‌شود، در شکل (۴-۳) تلاش کنترلی را در دو سطح جاده آسفالت خشک و خیس نشان می‌دهد. شکل (۵-۳) و (۶-۳) به ترتیب همگرایی پارامترهای سیستم فازی و قانون تطبیق برای بهره سوییچینگ را نشان می‌دهد. در شکل (۷-۳) مسافت توقف خودرو با استفاده از ترمز ضد قفل و بدون استفاده از آن دیده می‌شود، که بعد از گذشت ۲.۷۸ ثانیه و طی مسافت ۴۱.۱۷ متر خودرو متوقف می‌شود. با توجه به شکل (۷-۳) خودرو بدون استفاده از ترمز ضد قفل و با ترمز معمولی در مسافت ۶۱.۱۵ متر و بعد از گذشت ۴.۲۶ ثانیه متوقف می‌شود.

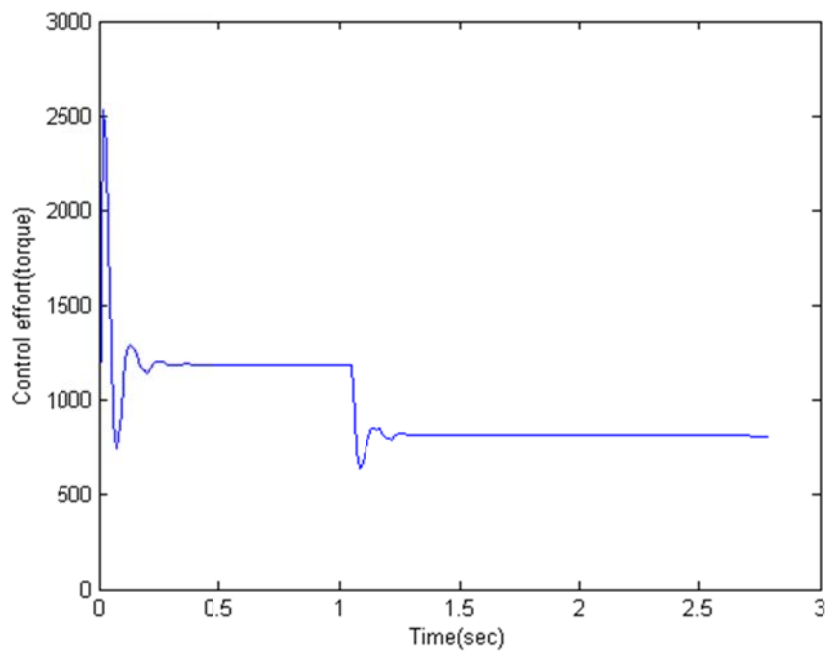
منظور از ترمز معمولی فشار پدال ترمز تا قفل شدن کامل چرخ‌ها می‌باشد، در سراسر پایان نامه ترمز معمولی به صورت گشتاور ترمزی ثابت و برابر با 1400Nm می‌باشد.



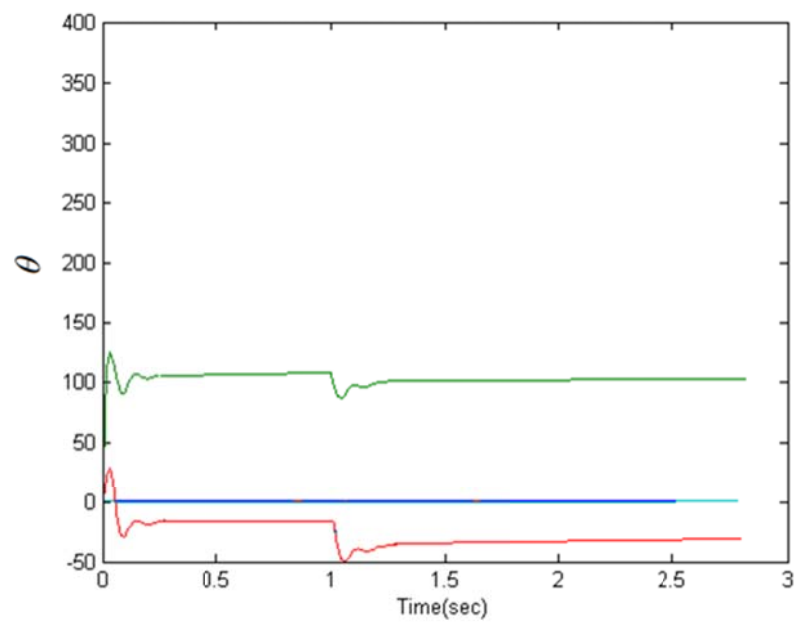
شکل (۲-۳) عملکرد رذیابی



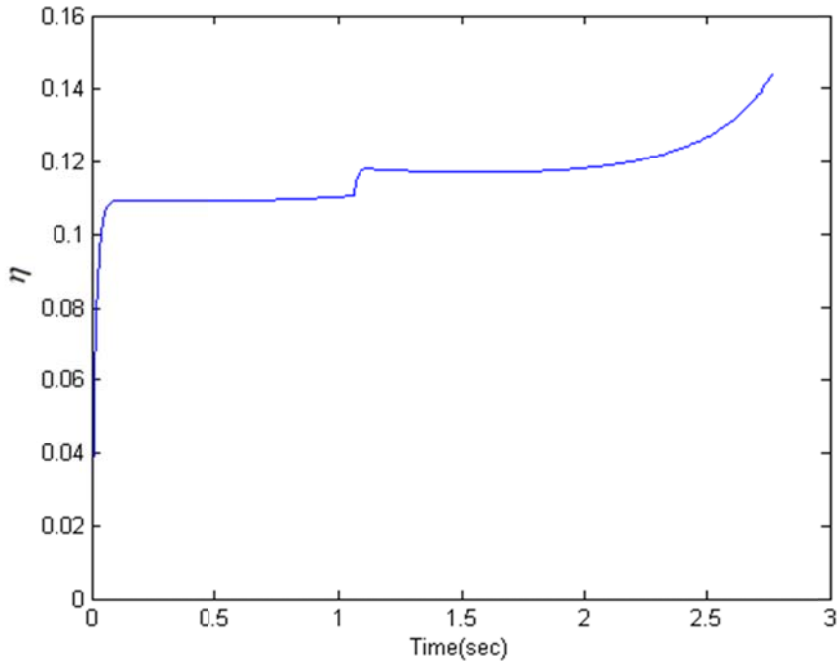
شکل (۳-۳) سرعت خودرو و چرخ



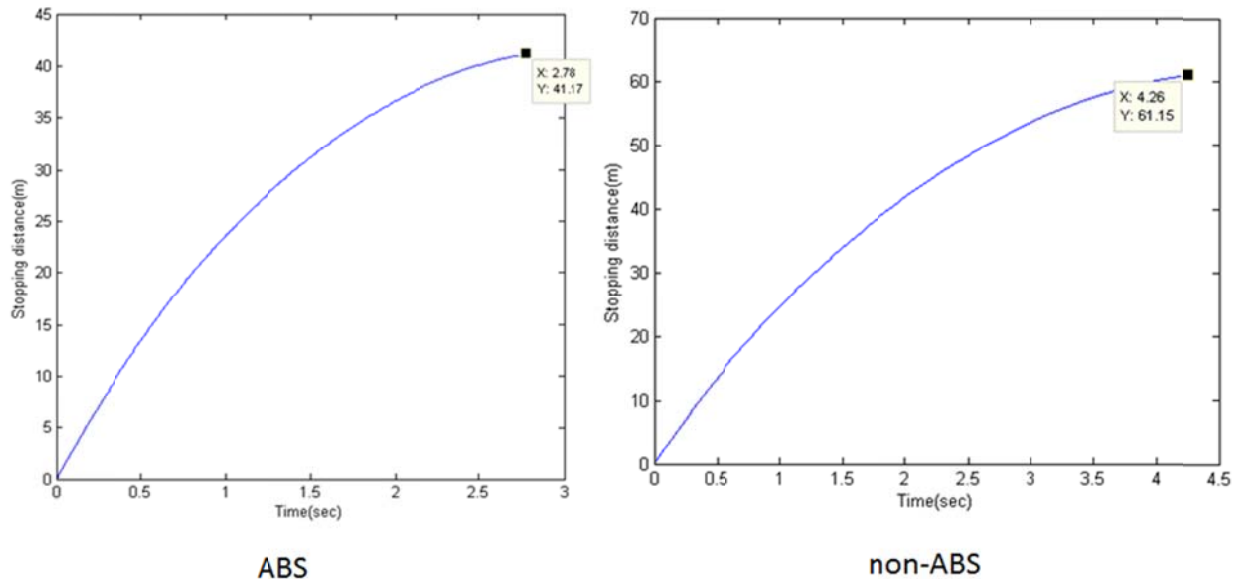
شکل (۴-۳) تلاش کنترلی



شکل (۴-۵) همگرایی پارامترهای سیستم فازی



شکل (۶-۳) همگرایی پارامتر η



شکل (۷-۳) مسافت توقف با استفاده از ترمز ضد قفل

با توجه به نتایج شبیه سازی و کنترل کننده طراحی شده در این بخش می توان گفت این روش دارای این مزیت است که آزاد از مدل است و برای طراحی نیازی به دانش دقیقی از مدل ریاضی سیستم نیست، همچنین خطای تقریب سیستم فازی با انتخاب مناسب پارامترهای کنترل کننده می تواند کاهش پیدا کند.

۶-۳ کنترل فازی تطبیقی غیرمستقیم

با در نظر گرفتن مدل ریاضی سیستم به صورت

$$\dot{\lambda} = f(\lambda) + gu$$

و فرضیات طراحی به صورت :

$$(1) \quad g \leq \epsilon \leq 0 \text{ که } \epsilon \text{ یک عدد مثبت کوچک می باشد.}$$

$$(2) \quad \text{سیگنال کنترل } |u| \leq u_{\max} \text{ می باشد.}$$

$$(3) \quad f, g \text{ نامعلوم.}$$

با تعریف لغزش مطلوب به صورت λ_d ، تعریف خطا به صورت $e = \lambda_d - \lambda$ و پیشنهاد قانون کنترل

$$u = g^{-1}(\dot{\lambda}_d - f + ke)$$

که در آن k ثابت مثبت طراحی است، دینامیک خطای سیستم حلقه بسته به صورت زیر بدست می آید

$$\dot{e} + ke = 0$$

که پایداری سیستم حلقه بسته و همگرایی خطای سیستم حلقه بسته به ناشناخته بودن توابع غیرخطی f, g با استفاده از ویژگی سیستم‌های فازی در تقریب هر تابع غیرخطی با دقت دلخواه [۲۵] از سیستم‌های فازی برای تقریب این توابع ناشناخته استفاده می کنیم.

در نتیجه قانون کنترل را به صورت زیر پیشنهاد می دهیم

$$u = \hat{g}^{-1}(e, \theta_g)(\dot{\lambda}_d - \hat{f}(e, \theta_f) - u_{rb} + ke) \quad (17-3)$$

\hat{f} و \hat{g} سیستم‌های فازی برای تقریب f, g که در ادامه و توسط قانون تطبیق بدست می‌آیند، و u_{rb} جمله مقاوم برای کاهش اثر عدم قطعیت و خطای تقریب سیستم‌های فازی است.

برای تقریب از سیستم فازی معرفی شده در بخش ۳-۲-۱ استفاده می‌کنیم.

توابع غیر خطی $f(\lambda), g(\lambda)$ را با استفاده از دو سیستم فازی زیر تقریب می‌زنیم

$$\hat{f}(e, \theta_f) = \theta_f^T \psi_f(e) \quad (18-3)$$

$$\hat{g}(e, \theta_g) = \theta_g^T \psi_g(e) \quad (19-3)$$

و توابع $f(e), g(e)$ به صورت زیر بیان می‌شوند

$$f(e) = \hat{f}(e, \theta_f^*) + \delta_f(e) = \theta_f^{*T} \psi_f(e) + \delta_f(e) \quad (20-3)$$

$$g(e) = \hat{g}(e, \theta_g^*) + \delta_g(e) = \theta_g^{*T} \psi_g(e) + \delta_g(e) \quad (21-3)$$

که $\delta_f(e)$ و $\delta_g(e)$ خطاهای تقریب سیستم فازی هستند، که با توجه به قضیه تقریب عمومی [۲۵] محدود می‌باشند. θ_f^* و θ_g^* بردار پارامترهای بهینه‌اند که به صورت زیر تعریف می‌شوند

$$\theta_f^* = \arg \min_{\theta_f} \left[\sup_{e \in R} |\hat{f}(e, \theta_f) - f(e)| \right]$$

$$\theta_g^* = \arg \min_{\theta_g} \left[\sup_{e \in R} |\hat{g}(e, \theta_g) - g(e)| \right]$$

در نتیجه دینامیک خطای سیستم حلقه بسته به صورت زیر بدست می‌آید

$$\dot{e} = f(e) - \hat{f}(e, \theta_f) + (g(e) - \hat{g}(e, \theta_g))u + d - u_{rb} - ke \quad (22-3)$$

با جایگذاری رابطه‌های (۱۸-۳) تا (۲۱-۳) در (۲۲-۳) داریم

$$\dot{e} = (\theta_f - \theta_f^*)\psi_f(e) + ((\theta_g - \theta_g^*)\psi_g(e))u + d - u_{rb} + \delta_f(e) + \delta_g(e)u - ke \quad (23-3)$$

با تعریف

$$\Delta = d + \delta_f(e) + \delta_g(e)u$$

Δ را مجموع خطاهای تقریب سیستم فازی و عدم قطعیت در نظر می‌گیریم، که با توجه به محدود بودن خطای تقریب سیستم‌های فازی، سیگنال کنترل، Δ محدود بوده و دارای حد بالایی به صورت زیر می‌باشد

$$|\Delta| \leq \eta^*$$

با پیشنهاد تابع مثبت معین زیر به عنوان تابع کاندید لیاپانوف

$$V = \frac{1}{2}e^2 + \frac{1}{2\gamma_f}\tilde{\theta}_f^T\tilde{\theta}_f + \frac{1}{2\gamma_g}\tilde{\theta}_g^T\tilde{\theta}_g + \frac{1}{2\gamma_\eta}\tilde{\eta}^2$$

که در آن $\gamma_f, \gamma_g, \gamma_\eta$ ثوابت اکیداً مثبت، $\tilde{\eta} = \eta - \eta^*$ و $\tilde{\theta}_g = \theta_g - \theta_g^*$ و $\tilde{\theta}_f = \theta_f - \theta_f^*$ و $\tilde{\eta}$ تخمین η^* است. با مشتق گیری نسبت به زمان از آن داریم

$$\dot{V} = e\dot{e} + \frac{1}{\gamma_f}\tilde{\theta}_f^T\dot{\theta}_f + \frac{1}{\gamma_g}\tilde{\theta}_g^T\dot{\theta}_g + \frac{1}{\gamma_\eta}\tilde{\eta}\dot{\eta} \quad (24-3)$$

با جایگذاری از (23-3) در (24-3)

$$\dot{V} = e((\theta_f - \theta_f^*)\psi_f(e) + ((\theta_g - \theta_g^*)\psi_g(e))u + d - u_{rb} + \delta_f(e) + \delta_g(e)u - ke) + \frac{1}{\gamma_f}\tilde{\theta}_f^T\dot{\theta}_f + \frac{1}{\gamma_g}\tilde{\theta}_g^T\dot{\theta}_g + \frac{1}{\gamma_\eta}\tilde{\eta}\dot{\eta}$$

$$\dot{V} = -ke^2 + e((\theta_f - \theta_f^*)\psi_f(e) + ((\theta_g - \theta_g^*)\psi_g(e))u - u_{rb} + \Delta) + \frac{1}{\gamma_f}\tilde{\theta}_f^T\dot{\theta}_f + \frac{1}{\gamma_g}\tilde{\theta}_g^T\dot{\theta}_g + \frac{1}{\gamma_\eta}\tilde{\eta}\dot{\eta} \quad (25-3)$$

با انتخاب قوانین تطبیق برای سیستم‌های فازی به صورت زیر

$$\begin{aligned} \dot{\theta}_f &= -\gamma_f\psi_f(e)e \\ \dot{\theta}_g &= -\gamma_g\psi_g(e)eu \end{aligned} \quad (26-3)$$

معادله (25-3) به صورت زیر ساده می‌شود

$$\dot{V} = -ke^2 + (\Delta - u_{rb})e + \frac{1}{\gamma_\eta}\tilde{\eta}\dot{\eta}$$

با پیشنهاد $u_{rb}, \dot{\eta}$ به صورت

$$u_{rb} = \eta \tanh\left(\frac{0.2785e\eta}{\varepsilon}\right)$$

$$\dot{\eta} = \begin{cases} \gamma_\eta(|e| - k_\eta(\eta - \eta_0)) & \text{if } (\eta < \eta_{\max}) \\ \text{or } (\eta = \eta_{\max} \text{ and } |e| \leq k_\eta(\eta - \eta_0)) \\ 0 & \text{if } \eta = \eta_{\max} \text{ and } |e| \leq k_\eta(\eta - \eta_0) \end{cases} \quad (27-3)$$

که $0 < \eta_0 \leq \eta \leq \eta_{\max}$, k_η , η_0 , ε , ثابت‌های مثبت طراحی‌اند، و همچنین با این قانون تطبیق همواره

داریم

$$\begin{aligned} \dot{V} &= -ke^2 - e\Delta - e\eta \tanh\left(\frac{0.2785e\eta}{\varepsilon}\right) + \tilde{\eta}(|e| - k_\eta(\eta - \eta_0)) \\ &\leq -ke^2 + |e| |\Delta| - e\eta \tanh\left(\frac{0.2785e\eta}{\varepsilon}\right) + \tilde{\eta}(|e| - k_\eta(\eta - \eta_0)) \end{aligned} \quad (28-3)$$

با توجه به اینکه

$$k_\eta(\eta - \eta_0)(\eta^* - \eta) \leq \frac{1}{4}k_\eta(\eta^* - \eta_0)$$

$$|e|(|\delta| - \Delta) \leq 0$$

و همچنین ویژگی تابع تانژانت هایپربولیک به صورت [۶۴]

$$|a| - \tanh\left(\frac{0.2785a}{\varepsilon}\right) \leq \varepsilon, \quad a \in R$$

معادله (۲۸-۳) به صورت زیر ساده می‌شود

$$\dot{V} \leq -ke^2 + \varepsilon + \frac{1}{4}k_\eta(\eta^* - \eta_0)$$

با قرار دادن $d = \varepsilon + \frac{1}{4}k_\eta(\eta^* - \eta_0)$ داریم

$$\dot{V} \leq -ke^2 + d \leq -2k\left(\frac{1}{2}e^2\right) - 2k\frac{1}{2\gamma_f}(\|\tilde{\theta}_f\|^2 - \max(\|\tilde{\theta}_f\|^2)) - 2k\frac{1}{2\gamma_g}(\|\tilde{\theta}_g\|^2 - \max(\|\tilde{\theta}_g\|^2)) - 2k\frac{1}{2\gamma_\eta}(\tilde{\eta}^2 - \max(\tilde{\eta}^2)) + d \quad (29-3)$$

از آنجایی که

$$V \leq \frac{1}{2}e^2 + \frac{1}{2\gamma_f}(\|\tilde{\theta}_f\|^2) + \frac{1}{2\gamma_g}(\|\tilde{\theta}_g\|^2) + \frac{1}{2\gamma_\eta}(\tilde{\eta}^2)$$

و تعریف

$$V_r = \left(\frac{d}{2k} \right) + \frac{1}{2\gamma_f}(\max(\|\tilde{\theta}_f\|^2)) + \frac{1}{2\gamma_g}(\max(\|\tilde{\theta}_g\|^2)) + \frac{1}{2\gamma_\eta}(\max(\tilde{\eta}^2))$$

معادله (۲۹-۳) به صورت زیر ساده می‌شود

$$\dot{V} \leq -2kV + 2kV_r$$

$$\Rightarrow V(t) \leq (V(0) - V_r) \exp(-2kt) + V_r \quad (30-3)$$

در نتیجه

$$V(t) \leq \max(V(0), V_r)$$

با توجه به اینکه $V(t) \geq \frac{1}{2}e^2$ در نتیجه داریم

$$\frac{1}{2}e^2 \leq \max(V(0), V_r)$$

$$\Rightarrow |e| \leq \sqrt{2 \max(V(0), V_r)} \quad (31-3)$$

با توجه به معادله (۳۰-۳) داریم

$$\lim_{t \rightarrow \infty} V(t) \leq V_r$$

پس می‌توان نتیجه گرفت خطای ردیابی به بازه زیر همگرا می‌شود.

$$\lim_{t \rightarrow \infty} |e(t)| \leq \sqrt{2V_r}$$

قانون کنترل را می‌توان به صورت زیر نوشت

$$u = \theta_f^T \psi_f(e) + \theta_g^T \psi_g(e) + \eta \tanh\left(\frac{0.2785e\eta}{\varepsilon}\right) \quad (32-3)$$

که در آن از قوانین تطبیق

$$\begin{aligned}\dot{\theta}_f &= -\gamma_f \psi_f(e) e \\ \dot{\theta}_g &= -\gamma_g \psi_g(e) eu \\ \dot{\eta} &= \begin{cases} \gamma_\eta (|e| - k_\eta (\eta - \eta_0)) & \text{if } (\eta < \eta_{\max}) \\ \text{or } (\eta = \eta_{\max} \text{ and } |e| \leq k_\eta (\eta - \eta_0)) \\ 0 & \text{if } \eta = \eta_{\max} \text{ and } |e| \leq k_\eta (\eta - \eta_0) \end{cases}\end{aligned}\quad (33-3)$$

استفاده شده، و با انتخاب مناسب پارامترهای طراحی می‌توان خطای ردیابی سیستم را کاهش داد.

۷-۳ شبیه سازی کنترل فازی تطبیقی غیر مستقیم

با استفاده از شبیه سازی، عملکرد کنترل فازی تطبیقی غیرمستقیم را بر روی سیستم ترمز ضد قفل بررسی می‌کنیم.

با فرض ترمزگیری در جاده مسطح و در مسیری مستقیم، با سرعت اولیه $v = 30m/s = 108km/h$ ، و تغییر سطح جاده از آسفالت خشک به آسفالت خیس بعد از گذشت $25m$ و استفاده از قانون کنترل (۳۱-۳) و قوانین تطبیق (۳۲-۳) شبیه سازی را اجرا می‌کنیم.

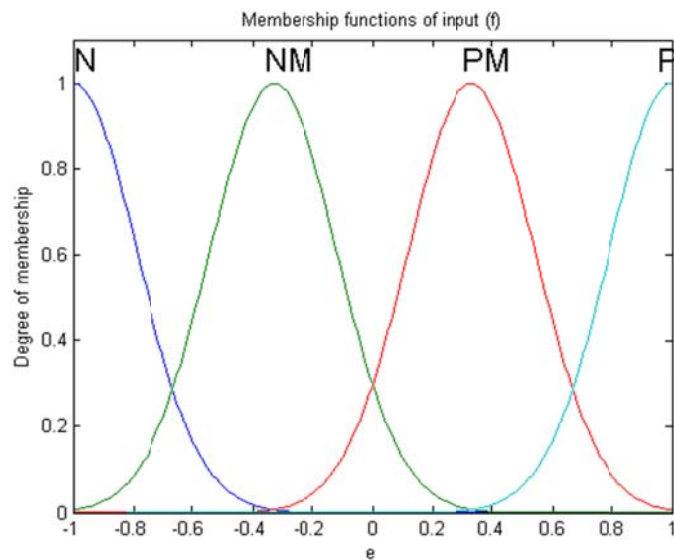
پارامترهای کنترل کننده به صورت زیر انتخاب شده‌اند

$$k = 5, \gamma_f = 200000, \gamma_g = 0.005, \gamma_\eta = 50, k_\eta = 0.01, \eta_0 = 0.001, \eta_{\max} = 1$$

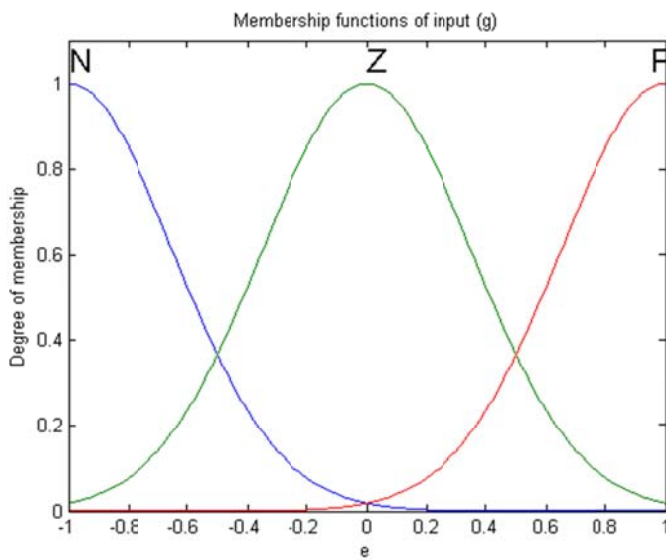
$$\theta_f(0) = [0 \ 0 \ 0]^T, \theta_g(0) = [1 \ 1 \ 1]^T, \eta(0) = 0$$

با توجه به قانون کنترل، بردار θ_g نمی‌تواند صفر باشد، در نتیجه مقدار آن را به صورت دلخواه و غیرصفر انتخاب کرده‌ایم. شبیه سازی با فرض مشخص بودن نوع جاده انجام شده و فرض می‌کنیم نوع جاده معلوم بوده و مقدار لغزش بهینه آن نیز در دسترس است همچنین الگوریتم ترمز ضد قفل، تا زمانی که سرعت خطی خودرو $v = 3m/s$ کاهش یابد جرا می‌شود.

دو سیستم فازی برای شناسایی توابع غیرخطی سیستم ترمز(f,g) استفاده شده است. که سیستم فازی اول دارای چهار قانون برای تقریب f و سیستم فازی دوم دارای سه قانون برای تقریب g می‌باشد. توابع تعلق ورودی در شکل (۳-۸) و (۳-۹) نشان داده شده‌اند.



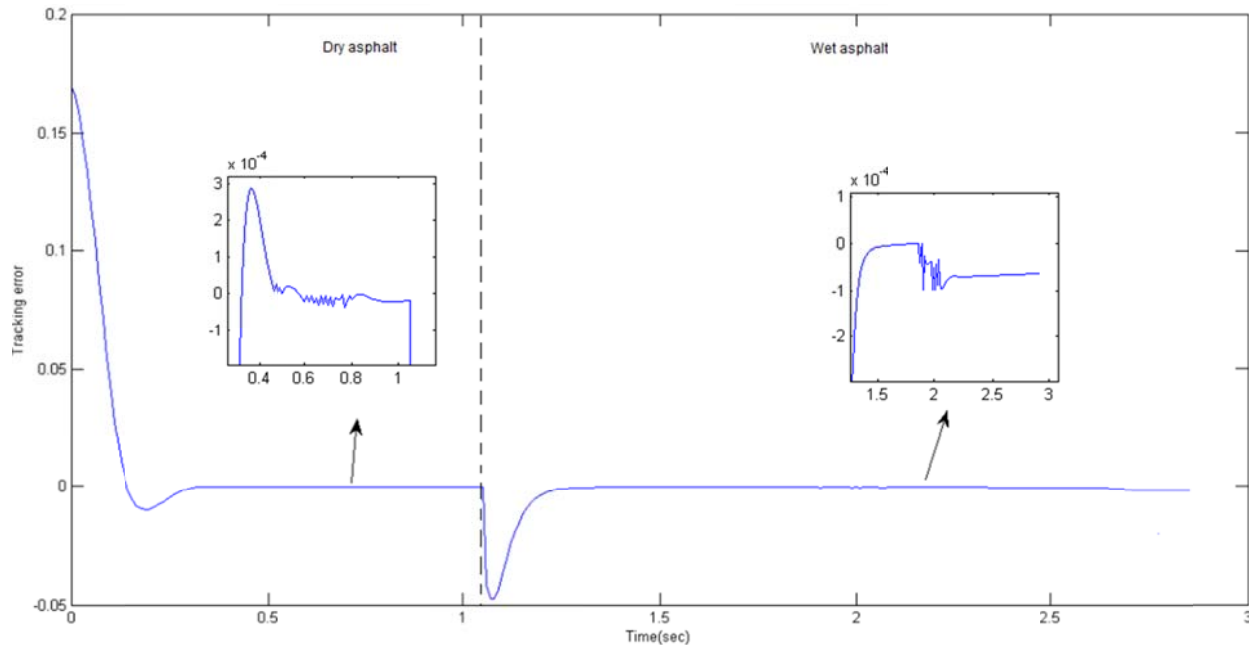
شکل (۳-۸) توابع تعلق ورودی برای f



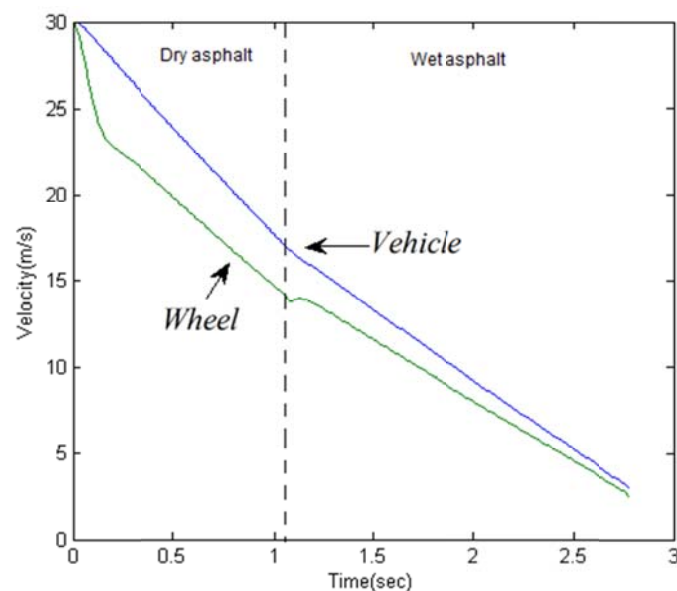
شکل (۳-۹) توابع تعلق ورودی برای g

شکل (۳-۱۰) خطای رديابی سیستم حلقه بسته را نشان می‌دهد. دیده می‌شود که خطای رديابی در زمان کمی به بازه‌ای نزدیک مبدا همگرا شده است. شکل (۱۱-۳) سرعت خودرو و چرخ را نشان می‌دهد، تلاش کنترلی به

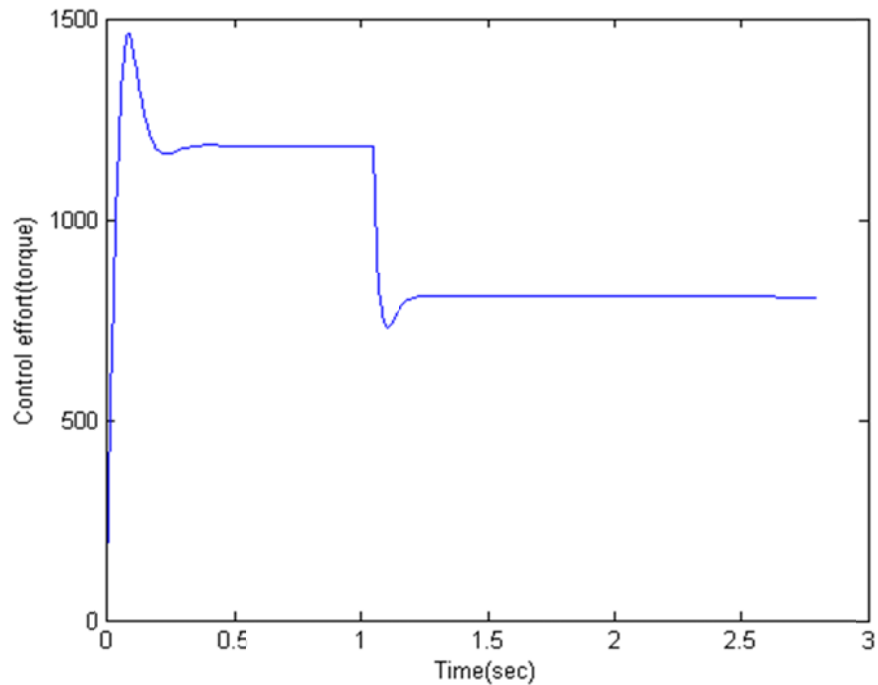
صورت شکل (۱۲-۳) می‌باشد، همگرایی پارامترها در سیستم‌های فازی در شکل (۱۳-۳) و (۱۴-۳) نشان داده شده‌اند. تطبیق پارامتر η به صورت شکل (۱۵-۳) می‌باشد، مسافت توقف خودرو با استفاده از ترمز ضد قفل و بدن استفاده از آن در شکل (۱۶-۳) است، دیده می‌شود که با استفاده از ترمز ضد قفل پس از طی مسافت ۴۱.۹۶ متر و پس از ۲.۷۸ ثانیه خودرو متوقف می‌شود.



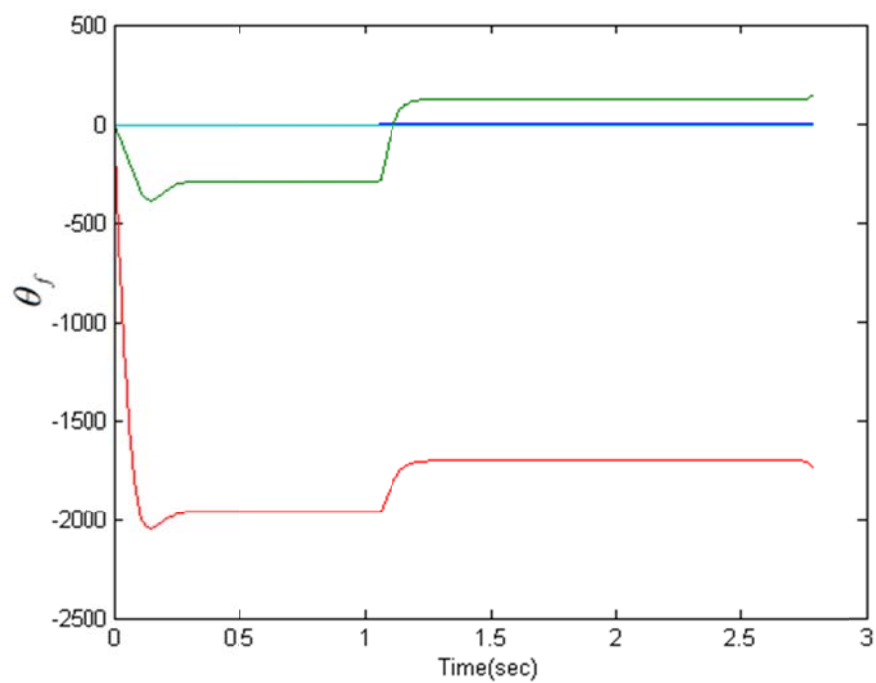
شکل (۱۰-۳) عملکرد ردیابی سیستم حلقه بسته



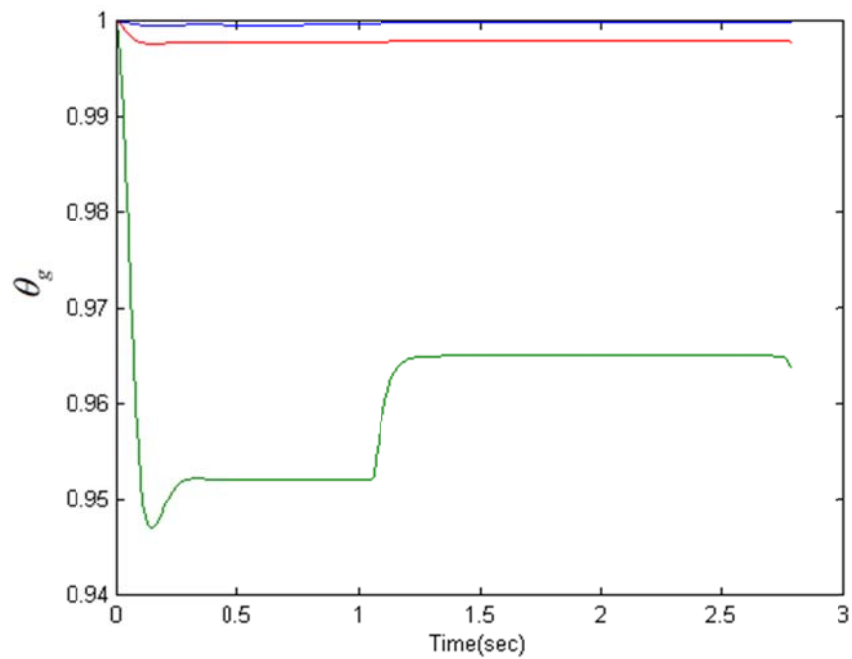
شکل (۱۱-۳) سرعت خودرو و چرخ



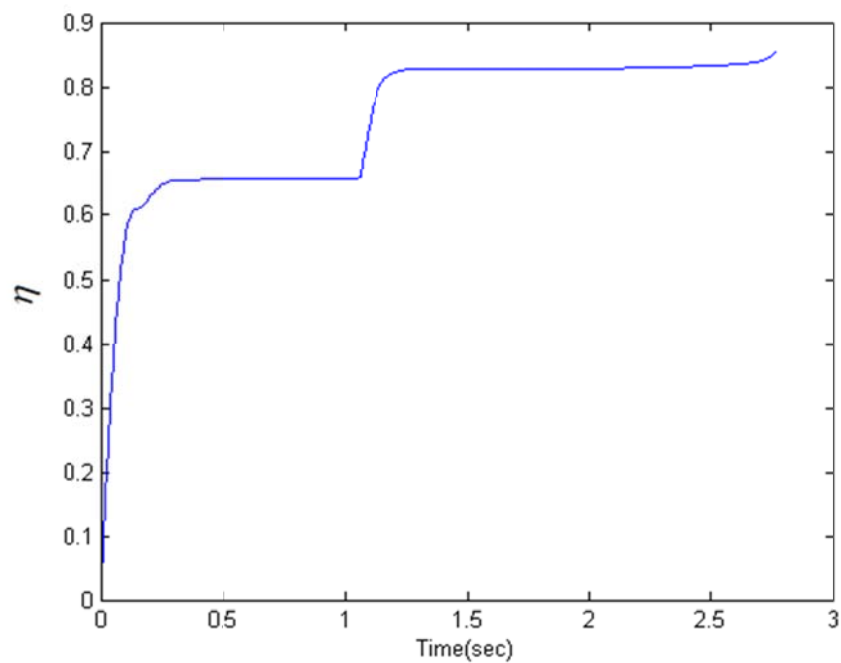
شکل (۱۲-۳) تلاش کنترلی



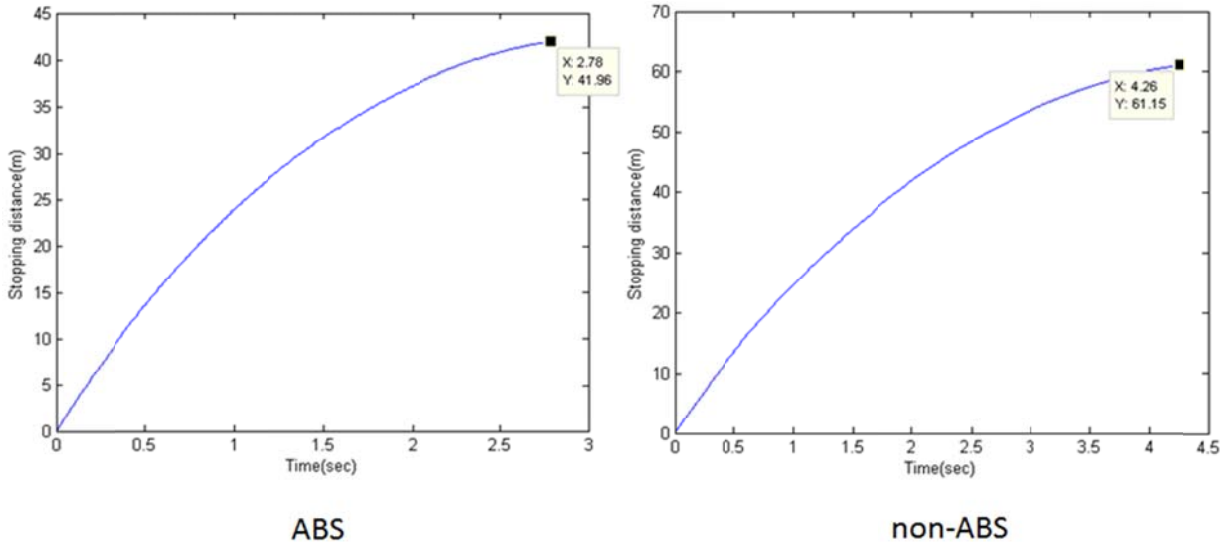
شکل (۱۳-۳) پارامترهای سیستم فازی f



شکل (۱۴-۳) پارامترهای سیستم فازی g



شکل (۱۵-۳) تطبیق پارامتر η



شکل (۱۶-۳) مسافت طی شده خودرو با استفاده از ترمز ضد قفل

با توجه به کنترل کننده طراحی شده و نتایج شبیه سازی می‌توان گفت این کنترل کننده نیز مانند کنترل فازی تطبیقی مستقیم آزاد از مدل می‌باشد، و نیز نسبت به کنترل فازی تطبیقی مستقیم دارای پارامترهای تنظیم بیشتری می‌باشد.

۸-۳ کنترل فازی تطبیقی مستقیم به روش گام به عقب

در این قسمت کنترل فازی تطبیقی مستقیم با استفاده از روش گام به عقب طراحی می‌کنیم، پایداری سیستم تحلیل شده و با استفاده از شبیه سازی عملکرد سیستم بررسی می‌شود.

معادلات ریاضی سیستم ترمز ضد قفل را به صورت زیر در نظر می‌گیریم ، که در آن برای مدل‌سازی دینامیک محرک از یک سیستم مرتبه اول استفاده شده، در واقع دینامیک محرک دارای یک تاخیر زمانی τ و بهره K_b است. برای این مدل سازی از مرجع [۵] استفاده شده است.

$$\begin{aligned} m\dot{v} &= -F_z \mu(\lambda) - C_x v^2 \\ J\dot{\omega} &= -B\omega + F_z \mu(\lambda)R - \tau_b \\ \dot{\tau}_b &= -\frac{1}{\tau} \tau_b + \frac{K_b}{\tau} v_b \end{aligned} \quad (۳۴-۳)$$

که در آن m جرم کل، شامل جرم خودرو و جرم چرخ، ω سرعت طولی خودرو، τ_b گشتاور ترمزی، J ممان اینرسی چرخ، B ضریب اصطکاک چرخشی، F_z نیروی عمودی وارد بر چرخ، R شعاع چرخ، C_x ضریب آیرودینامیکی خودرو، (λ) ضریب اصطکاک بین تایر و جاده می‌باشد. گشتاور ترمزی توسط فشار ترمز، v_b کنترل می‌شود، τ ثابت زمانی و K_b بهره ترمزگیری می‌باشد.

براساس دینامیک‌های سیستم که توسط معادله (۳۴-۳) بیان شده، هدف طراحی کنترل کننده‌ای می‌باشد که بتواند مقدار لغزش چرخ را در نزدیکی مقدار لغزش بهینه تنظیم کرده و سرعت خودرو را در کمترین زمان به صفر همگرا کند. در این بخش با استفاده از روش فازی تطبیقی مستقیم به همراه روش پسگام، برای نیل به این هدف طراحی می‌کنیم.

در ابتدا متغیر z_1 را به صورت زیر تعریف می‌کنیم:

$$z_1 = v - v_d \quad (35-3)$$

که $0 = v_d$ ، با مشتق گیری از z_1 داریم

$$\dot{z}_1 = -\frac{F_z \mu(\lambda)}{m} - \frac{C_x}{m} z_1^2 \quad (36-3)$$

با توجه به تعریف لغزش و اینکه هدف تنظیم لغزش چرخ، در مقدار بهینه آن می‌باشد، مقدار سرعت زاویه‌ای مطلوب چرخ را به صورت زیر تعریف می‌کنیم

$$\omega_d = \frac{1 - \lambda_0}{R} z_1$$

با تنظیم مقدار سرعت زاویه‌ای چرخ در این مقدار، لغزش چرخ نیز در مقدار مطلوب تنظیم شده و در نتیجه حداقل اصطکاک بین تایر و جاده بدست می‌آید. با تعریف خطای ردیابی به صورت زیر

$$z_2 = \omega - \omega_d$$

و مشتق گیری از z_2 داریم :

$$\dot{z}_2 = \dot{\omega} - \dot{\omega}_d = \frac{1}{J} (-B\omega + F_z \mu(\lambda)R - \tau_b + J \frac{1 - \lambda_0}{R} (-\frac{F_z \mu(\lambda)}{m} - \frac{C_x}{m} z_1^2)) \quad (37-3)$$

اگر پارامترهای سیستم شناخته شده و معلوم باشند، با تعریف τ_b به عنوان کنترل مجازی، سیگنال کنترل مجازی ایده‌آل به صورت زیر بدست می‌آید:

$$\alpha = -B\omega + F_z \mu(\lambda)R + J \frac{1-\lambda_0}{R} \left(-\frac{F_z \mu(\lambda)}{m} - \frac{C_x}{m} z_1^2 \right) + k_2 z_2 \quad (38-3)$$

که در آن k_2 ثابت طراحی، و مثبت می‌باشد. با جایگذاری (38-3) در (37-3) داریم

$$\dot{z}_2 = -\frac{k_2 z_2}{J} \quad (39-3)$$

با پیشنهاد تابع لیاپانوف کاندید به صورت $V' = \frac{1}{2} z_2^2$ داریم

$$\dot{V}' = z_2 \dot{z}_2 = -\frac{k_2 z_2^2}{J} \leq 0$$

که نتیجه می‌دهد \dot{z}_2 به صورت مجانبی به صفر همگرا می‌شود، اما با توجه به اینکه پارامترهای سیستم ناشناخته و همراه با عدم قطعیت هستند، تولید سیگنال کنترل مجازی (38-3) بسیار مشکل و غیرممکن می‌باشد، بنابراین با استفاده از ویژگی تقریب عمومی سیستم‌های فازی [۲۵]، جمله غیرخطی و نامعلوم در (38-3) را تقریب می‌زنیم،

$$-B\omega + F_z \mu(\lambda)R + J \frac{1-\lambda_0}{R} \left(-\frac{F_z \mu(\lambda)}{m} - \frac{C_x}{m} z_1^2 \right) = \theta_1^T \psi_1(X) + \delta_1 \quad (40-3)$$

که در آن δ خطای تقریب سیستم فازی است، فرض می‌کنیم خطای تقریب دارای باند ثابت و محدود می‌باشد $|\delta| \leq \eta^*$ او همچنین $X = \omega \tau_b$ بردار حالت‌های سیستم است.

در ادامه برای تضمین پایداری و همگرایی سیستم، با استفاده از روش اول لیاپانوف، قانون تطبیق برای تنظیم قسمت آنگاه قوانین فازی بدست می‌آوریم.

سیگنال کنترل مجازی را به صورت زیر پیشنهاد می‌دهیم:

$$\hat{\alpha} = \hat{\theta}_1^T \psi_1(X) + k_2 z_2 + u_{rb1} \quad (41-3)$$

که در آن $\hat{\theta}_1$ تخمین θ_1 است و u_{rb1} جمله مقاوم برای حذف خطای تقریب سیستم فازی می‌باشد.

تابع لیاپانوف کاندید را به صورت زیر در نظر می‌گیریم

$$V_1 = \frac{1}{2} z_2^2 + \frac{1}{2J\gamma_1} \tilde{\theta}_1^T \tilde{\theta}_1 + \frac{1}{2J\gamma_2} \tilde{\eta}_1^2$$

که در آن $\hat{\theta}_1 = \tilde{\theta}_1 - \theta_1^*$ و $\hat{\eta}_1 = \tilde{\eta}_1 - \eta_1^*$ باشند، γ_1, γ_2 ثابت‌های اکیدا مثبت هستند، با مشتق گیری از V_1 و جایگذاری از (۴۰-۳) و (۴۱-۳) در آن داریم

$$\dot{V}_1 = \dot{z}_2 z_2 + \frac{1}{\gamma_1} \tilde{\theta}_1^T \dot{\tilde{\theta}}_1 + \frac{1}{\gamma_2} \tilde{\eta}_1 \dot{\tilde{\eta}}_1 =$$

$$\frac{z_2}{J} (-\tilde{\theta}_1^T \psi_1(X) + \delta_1 - k_2 z_2 - u_{rb1}) + \frac{1}{J\gamma_1} \tilde{\theta}_1^T \dot{\tilde{\theta}}_1 + \frac{1}{J\gamma_2} \tilde{\eta}_1 \dot{\tilde{\eta}}_1 \quad (42-3)$$

در نتیجه با انتخاب قانون تطبیق برای سیستم فازی به صورت زیر داریم

$$\dot{\tilde{\theta}}_1 = \gamma_1 z_2 \psi_1(X) \quad (43-3)$$

معادله (۴۲-۳) به صورت زیر ساده می‌شود

$$\dot{V}_1 = -\frac{k_2}{J} z_2^2 + \frac{z_2}{J} \delta_1 - \frac{z_2}{J} u_{rb1} + \frac{1}{J\gamma_2} \tilde{\eta}_1 \dot{\tilde{\eta}}_1$$

با پیشنهاد قانون تطبیق و جمله مقاوم به صورت زیر داریم

$$u_{rb1} = \eta_1 \tanh\left(\frac{0.2785 z_2 \eta_1}{\varepsilon_1}\right)$$

$$\dot{\tilde{\eta}}_1 = \begin{cases} \gamma_2 (|z_2| - k_{\eta_1} (\eta_1 - \eta_{01})) & \text{if } (\eta_1 < \eta_{\max 1}) \\ \text{or } (\eta_1 = \eta_{\max 1} \text{ and } |z_2| \leq k_{\eta_1} (\eta_1 - \eta_{01})) \\ 0 & \text{if } \eta_1 = \eta_{\max 1} \text{ and } |z_2| \leq k_{\eta_1} (\eta_1 - \eta_{01}) \end{cases} \quad (44-3)$$

که $\varepsilon_1, k_{\eta_1}, \eta_{01}$ ثابت‌های مثبت طراحی‌اند، در نتیجه

$$\dot{V}_1 = -\frac{k_2}{J} z_2^2 + \frac{z_2}{J} \delta_1 - \frac{z_2}{J} \eta_1 \tanh\left(\frac{0.2785 z_2 \eta_1}{\varepsilon_1}\right) + \tilde{\eta}_1 (|z_2| - k_{\eta_1} (\eta_1 - \eta_{01}))$$

$$\leq -\frac{k_2}{J} z_2^2 + \frac{|z_2|}{J} |\delta_1| - \frac{z_2}{J} \eta_1 \tanh\left(\frac{0.2785 z_2 \eta_1}{\varepsilon_1}\right) + \tilde{\eta}_1 (|z_2| - k_{\eta_1} (\eta_1 - \eta_{01})) \quad (45-3)$$

با توجه به اینکه

$$k_{\eta_1}(\eta_1 - \eta_{01})(\eta_1^* - \eta_1) \leq \frac{1}{4} k_{\eta_1}(\eta_1^* - \eta_{10})$$

$$|z_2|(|\delta_1| - \eta_1^*) \leq 0$$

و همچنین ویژگی تابع تانژانت هایپربولیک به صورت [۶۴]

$$|a| - \tanh\left(\frac{0.2785a}{\varepsilon}\right) \leq \varepsilon, \quad a \in R$$

معادله (۴۶-۳) به صورت زیر ساده می‌شود

$$\dot{V}_1 \leq -\frac{k_2}{J} z_2^2 + \varepsilon_1 + \frac{1}{4} k_{\eta_1}(\eta_1^* - \eta_{10})$$

$$\text{با قرار دادن } d_1 = \varepsilon_1 + \frac{1}{4} k_{\eta_1}(\eta_1^* - \eta_{10}) \text{ داریم}$$

$$\dot{V}_1 \leq -\frac{k_2}{J} z_2^2 + d_1 \leq -2 \frac{k_2}{J} \left(\frac{1}{2} z_2^2\right) - 2 \frac{k_2}{J} \frac{1}{2J\gamma_1} (\|\tilde{\theta}_1\|^2 - \max(\|\tilde{\theta}_1\|^2)) - 2 \frac{k_2}{J} \frac{1}{2J\gamma_2} (\tilde{\eta}_1^2 - \max(\tilde{\eta}_1^2)) + d_1 \quad (47-3)$$

از آنجایی که

$$V_1 \leq \frac{1}{2} z_2^2 + \frac{1}{2\gamma_1} (\|\tilde{\theta}_1\|^2) + \frac{1}{2\gamma_2} (\tilde{\eta}_1^2)$$

و تعریف

$$V_{r1} = \left(\frac{J}{2k_2} d_1\right) + \frac{1}{2J\gamma_1} (\max(\|\tilde{\theta}_1\|^2)) + \frac{1}{2J\gamma_2} (\max(\tilde{\eta}_1^2))$$

معادله (۴۷-۳) به صورت زیر ساده می‌شود

$$\dot{V}_1 \leq -2 \frac{k_2}{J} V_1 + 2 \frac{k_2}{J} V_{r1} \quad (48-3)$$

$$\Rightarrow V_1(t) \leq (V_1(0) - V_{r1}) \exp(-2 \frac{k_2}{J} t) + V_{r1} \quad (49-3)$$

در نتیجه

$$V_1(t) \leq \max(V_1(0), V_{r1})$$

با توجه به اینکه $V_1(t) \geq \frac{1}{2} z_2^2$ در نتیجه داریم

$$\frac{1}{2} z_2^2 \leq \max(V_1(0), V_{r1})$$

$$\Rightarrow |z_2| \leq \sqrt{2 \max(V_1(0), V_{r1})} \quad (50-3)$$

با توجه به معادله (49-3)

$$\lim_{t \rightarrow \infty} V_1(t) \leq V_{r1}$$

در نتیجه می‌توان گفت خطای رديابی به بازه زیر همگرا می‌شود.

$$\lim_{t \rightarrow \infty} |z_2(t)| \leq \sqrt{2V_{r1}}$$

حال با تعریف خطای رديابی به صورت زیر برای زیر سیستم سوم

$$z_3 = \tau_b - \alpha$$

و با مشتق‌گیری از آن داریم :

$$\begin{aligned} \dot{z}_3 &= \dot{\tau}_b - \dot{\alpha} = \frac{K_b}{\tau} \left(-\frac{1}{K_b} \tau_b + v_b - \frac{\tau}{K_b} B \dot{\omega} - J \frac{(1-\lambda_0)\tau}{RK_b} \left(-\frac{C_x}{m} \dot{z}_1 z_1 \right) + J k_2 \dot{z}_2 \right) = \\ &= \frac{K_b}{\tau} \left(-\frac{1}{\tau K_b} \tau_b + v_b - \frac{\tau}{K_b} B f_1 - J \frac{(1-\lambda_0)\tau}{RK_b} \left(-\frac{C_x}{m} f_2 z_1 \right) + J k_2 f_3 \right) \end{aligned} \quad (51-3)$$

$$\begin{aligned} f_1 &= \dot{\omega} = -\frac{B \omega}{J} + \frac{F_z \mu(\lambda) R}{J} - \frac{\tau_b}{J} \\ f_2 &= \dot{z}_1 = -\frac{F_z \mu(\lambda)}{m} - \frac{C_x}{m} z_1^2 \\ f_3 &= \dot{z}_2 = -\frac{B \omega}{J} + \frac{F_z \mu(\lambda) R}{J} - \frac{\tau_b}{J} + \frac{1-\lambda_0}{R} \left(-\frac{F_z \mu(\lambda)}{m} - \frac{C_x}{m} z_1^2 \right) \end{aligned}$$

اگر پارامترهای سیستم شناخته شده و معلوم باشند، در نهایت سیگنال کنترل حقیقی، به صورت زیر بدست می‌آید

$$v_b = \left(\frac{1}{K_b} \tau_b + \frac{\tau}{K_b} B f_1 + J \frac{(1-\lambda_0)\tau}{RK_b} \left(-\frac{C_x}{m} f_2 z_1 \right) - J k_2 f \right) - k_3 z_3 \quad (52-3)$$

که k_3 ثابت مثبت طراحی می‌باشد. اما با توجه به وجود عدم قطعیت در پارامترهای سیستم، سیگنال کنترل حقیقی قابل دستیابی نمی‌باشد، برای بدست آوردن آن از سیستم فازی استفاده می‌کنیم و جمله غیرخطی و نامعلوم در (52-3) را تقریب می‌زنیم،

$$\left(\frac{1}{K_b} \tau_b + \frac{\tau}{K_b} B f_1 + J \frac{(1-\lambda_0)\tau}{RK_b} \left(-\frac{C_x}{m} f_2 z_1 \right) - J k_2 f \right) = \theta_2^T \psi_2(X) + \delta_2 \quad (53-3)$$

که در آن δ_2 خطای تقریب سیستم فازی و دارای حد ثابت و محدود فرض می‌کنیم $|\delta_2| \leq \eta_2^*$

قانون کنترل حقیقی را به صورت زیر پیشنهاد می‌دهیم:

$$\hat{v}_b = \hat{\theta}_2^T \psi_2(X) - k_3 z_3 - u_{rb2} \quad (54-3)$$

که در آن $\hat{\theta}_2$ تخمین θ_2 است و u_{rb2} جمله مقاوم برای حذف خطای تقریب سیستم فازی می‌باشد.

با در نظر گرفتنتابع لیاپانوف کاندید به صورت زیر

$$V_2 = V_1 + \frac{1}{2} z_3^2 + \frac{K_b}{2\tau\rho_1} \tilde{\theta}_2^T \tilde{\theta}_2 + \frac{K_b}{2\tau\rho_2} \tilde{\eta}_2^2$$

که در آن $\hat{\theta}_2 = \theta_2 - \theta_2$ و $\hat{\eta}_2 = \eta_2 - \eta_2$ می‌باشد، ρ_1, ρ_2 ثابت‌های اکیداً مثبت هستند، و مشتق‌گیری از V_2 و جایگذاری از (51-3) و (53-3) و (54-3) در آن داریم

$$\begin{aligned} \dot{V}_2 &= \dot{V}_1 + \dot{z}_3 z_3 + \frac{K_b}{\tau\rho_1} \tilde{\theta}_2^T \dot{\tilde{\theta}}_2 + \frac{K_b}{\tau\rho_2} \tilde{\eta}_2 \dot{\tilde{\eta}}_2 = \\ &= \dot{V}_1 + \frac{K_b z_3}{\tau} \left(-\tilde{\theta}_2^T \psi_2(X) + \delta_2 - k_3 z_3 - u_{rb2} \right) + \frac{K_b}{\tau\rho_1} \tilde{\theta}_1^T \dot{\tilde{\theta}}_1 + \frac{K_b}{\tau\rho_2} \tilde{\eta}_1 \dot{\tilde{\eta}}_1 \end{aligned} \quad (55-3)$$

در نتیجه با انتخاب قانون تطبیق برای سیستم فازی به صورت

$$\dot{\theta}_2 = \rho_1 z_3 \psi_2(X) \quad (56-3)$$

معادله (55-3) به صورت زیر ساده می‌شود

$$\dot{V}_2 = \dot{V}_1 - \frac{K_b k_3}{\tau} z_3^2 + \frac{K_b z_3}{\tau} \delta_2 - \frac{K_b z_3}{\tau} u_{rb2} + \frac{1}{J \rho_2} \tilde{\eta}_2 \dot{\eta}_2$$

با پیشنهاد قانون تطبیق و جمله مقاوم به صورت

$$u_{rb2} = \eta_2 \tanh\left(\frac{0.2785 z_3 \eta_2}{\varepsilon_2}\right)$$

$$\dot{\eta}_2 = \begin{cases} \rho_2(|z_3| - k_{\eta_2}(\eta_2 - \eta_{02})) & \text{if } (\eta_2 < \eta_{\max 2}) \\ \text{or } (\eta_2 = \eta_{\max 2} \text{ and } |z_3| \leq k_{\eta_2}(\eta_2 - \eta_{02})) \\ 0 & \text{if } \eta_2 = \eta_{\max 2} \text{ and } |z_3| \leq k_{\eta_2}(\eta_2 - \eta_{02}) \end{cases} \quad (57-3)$$

که $\varepsilon_2, k_{\eta_2}, \eta_{02}$ ثابت‌های مثبت طراحی‌اند، در نتیجه

$$\dot{V}_2 = \dot{V}_1 - \frac{K_b k_3}{\tau} z_3^2 + \frac{K_b z_3}{\tau} \delta_2 - \frac{K_b z_3}{\tau} \eta_2 \tanh\left(\frac{0.2785 z_3 \eta_2}{\varepsilon_2}\right) + \tilde{\eta}_2 (|z_3| - k_{\eta_2}(\eta_2 - \eta_{20}))$$

$$\leq \dot{V}_1 - \frac{K_b k_3}{\tau} z_3^2 + \frac{K_b |z_3|}{\tau} |\delta_2| - \frac{K_b z_3}{\tau} \eta_2 \tanh\left(\frac{0.2785 z_3 \eta_2}{\varepsilon_2}\right) + \tilde{\eta}_2 (|z_3| - k_{\eta_2}(\eta_2 - \eta_{20})) \quad (58-3)$$

با توجه به اینکه

$$k_{\eta_2}(\eta_2 - \eta_{02})(\eta_2^* - \eta_2) \leq \frac{1}{4} k_{\eta_2}(\eta_2^* - \eta_{02})$$

$$|z_3| (|\delta_2| - \eta_2^*) \leq 0$$

و همچنین ویژگی تابع تانژانت هایپربولیک به صورت [۶۴]

$$|a| - \tanh\left(\frac{0.2785 a}{\varepsilon}\right) \leq \varepsilon, \quad a \in R$$

و با استفاده از معادله (۵۸-۳) معادله (۴۸-۳) به صورت زیر ساده می‌شود

$$\dot{V}_1 \leq -2\frac{k_2}{J}V_1 + 2\frac{k_2}{J}V_{r1}$$

$$\dot{V}_2 \leq \dot{V}_1 - \frac{K_b k_3}{\tau} z_3^2 + \varepsilon_2 + \frac{1}{4} k_{\eta^2} (\eta_2^* - \eta_{20})$$

$$\text{با قرار دادن} \quad d_2 = \varepsilon_2 + \frac{1}{4} k_{\eta^2} (\eta_2^* - \eta_{02})$$

$$\dot{V}_2 \leq -2\frac{k_2}{J}V_1 + 2\frac{k_2}{J}V_{r1} - \frac{K_b k_3}{\tau} z_3^2 + d_2$$

$$\dot{V}_2 \leq -2\frac{k_2}{J}V_1 + 2\frac{k_2}{J}V_{r1} - \frac{2K_b k_3}{\tau} (\frac{1}{2} z_3^2) - \frac{2K_b k_3}{\tau} \frac{K_b}{2\tau\rho_1} (\|\tilde{\theta}_2\|^2 - \max(\|\tilde{\theta}_2\|^2)) - \frac{2K_b k_3}{\tau} \frac{K_b}{2\tau\rho_2} (\tilde{\eta}_2^2 - \max(\tilde{\eta}_2^2)) + d_2$$

$$(59-3)$$

$$\Rightarrow \dot{V}_2 \leq -2aV_2 + b$$

$$\text{که در آن}$$

$$a = \min\left\{\frac{k_2}{J}, \frac{K_b k_3}{\tau}\right\}$$

$$\mathfrak{g}$$

$$b = 2c(V_{r1} + \frac{K_b}{2\tau\rho_1}(\max(\|\tilde{\theta}_2\|^2)) + \frac{K_b}{2\tau\rho_2}(\max(\tilde{\eta}_2^2)) + \frac{d_2}{c})$$

$$\text{که در آن}$$

$$c = \max\left\{\frac{k_2}{J}, \frac{K_b k_3}{\tau}\right\}$$

$$\Rightarrow V_2(t) \leq (V_2(0) - \frac{b}{a}) \exp(-at) + \frac{b}{a} \quad (60-3)$$

$$\text{در نتیجه}$$

$$V(t) \leq \max(V_2(0), \frac{b}{a})$$

46

با توجه به اینکه $V(t) \geq \frac{1}{2} z_3^2$ در نتیجه داریم

$$\frac{1}{2} z_3^2 \leq \max(V_2(0), \frac{b}{a})$$

$$\Rightarrow |z_3| \leq \sqrt{2 \max(V_2(0), \frac{b}{a})} \quad (61-3)$$

با توجه به معادله (60-3) داریم

$$\lim_{t \rightarrow \infty} V_2(t) \leq \frac{b}{a}$$

در نهایت می‌توان نتیجه گرفت خطای رديابی به بازه زیر همگرا می‌شود.

$$\lim_{t \rightarrow \infty} |z_3| \leq \sqrt{2 \frac{b}{a}}$$

در آخر برای بیان پایداری سیستم حلقه بسته با استفاده ازتابع مثبت معین زیر و مشتق گیری از آن

$$V = \frac{1}{2} z_1^2 + \frac{1}{2} z_2^2 + \frac{1}{2J\gamma_1} \tilde{\theta}_1^T \tilde{\theta}_1 + \frac{1}{2J\gamma_2} \tilde{\eta}_1^2 + \frac{1}{2} z_3^2 + \frac{K_b}{2\tau\rho_1} \tilde{\theta}_2^T \tilde{\theta}_2 + \frac{K_b}{2\tau\rho_2} \tilde{\eta}_2^2 =$$

$$V = \frac{1}{2} z_1^2 + V_2 \Rightarrow \dot{V} = z_1 \dot{z}_1 + \dot{V}_2 = z_1 \left(-\frac{F_z \mu(\lambda)}{m} - \frac{C_x}{m} z_1^2 \right) + \dot{V}_2$$

با توجه به اینکه $v = z_1$ سرعت خودرو است و همواره مثبت می‌باشد، و همچنین $0 \geq \mu(\lambda)$ در نتیجه می‌توان نتیجه می‌توان اثبات کرد که

$$z_1 \left(-\frac{F_z \mu(\lambda)}{m} - \frac{C_x}{m} z_1^2 \right) \leq 0$$

در نتیجه داریم

$$\dot{V} \leq V_2$$

و با ادامه روندی مشابه قبل می‌توان اثبات کرد تمامی سیگنال‌ها در حلقه کنترل محدود می‌باشد، و پایداری سیستم حلقه بسته اثبات می‌شود.

در آخر قانون کنترل را می‌توان به صورت زیر بیان کرد

$$\begin{aligned}
 \hat{v}_b &= \hat{\theta}_2^T \psi_2(X) - k_3(\tau_b - \hat{\alpha}) - u_{rb2} \\
 \hat{\alpha} &= \hat{\theta}_1^T \psi_1(X) + k_2 z_2 + u_{rb1} \\
 z_2 &= \omega - \omega_d \\
 \dot{\hat{\theta}}_1 &= \gamma_1 z_2 \psi_1(X) \\
 \dot{\hat{\theta}}_2 &= \rho_1 z_3 \psi_2(X) \\
 u_{rb1} &= \eta_1 \tanh\left(\frac{0.2785 z_2 \eta_1}{\varepsilon_1}\right) \\
 \dot{\eta}_1 &= \begin{cases} \gamma_2(|z_2| - k_{\eta_1}(\eta_1 - \eta_{01})) & \text{if } (\eta_1 < \eta_{\max 1}) \\ \text{or } (\eta_1 = \eta_{\max 1} \text{ and } |z_2| \leq k_{\eta_1}(\eta_1 - \eta_{01})) \\ 0 & \text{if } \eta_1 = \eta_{\max 1} \text{ and } |z_2| \leq k_{\eta_1}(\eta_1 - \eta_{01}) \end{cases} \\
 u_{rb2} &= \eta_2 \tanh\left(\frac{0.2785 z_3 \eta_2}{\varepsilon_2}\right) \\
 \dot{\eta}_2 &= \begin{cases} \rho_2(|z_3| - k_{\eta_2}(\eta_2 - \eta_{02})) & \text{if } (\eta_2 < \eta_{\max 2}) \\ \text{or } (\eta_2 = \eta_{\max 2} \text{ and } |z_3| \leq k_{\eta_2}(\eta_2 - \eta_{02})) \\ 0 & \text{if } \eta_2 = \eta_{\max 2} \text{ and } |z_3| \leq k_{\eta_2}(\eta_2 - \eta_{02}) \end{cases}
 \end{aligned} \tag{۶۲-۳}$$

۹-۳ شبیه سازی کنترل فازی تطبیقی مستقیم به روش پسگام

با استفاده از شبیه سازی، عملکرد کنترل فازی تطبیقی مستقیم پسگام را بر روی سیستم ترمز ضد قفل بررسی می‌کنیم.

با فرض ترمزگیری در جاده مسطح و در مسیری مستقیم، با سرعت اولیه $v = 30m/s = 108km/h$ ، و ترمز گیری در سطح جاده آسفالت خشک، استفاده از قانون کنترل و قوانین تطبیقی (۶۲-۳) شبیه سازی را اجرا می‌کنیم.

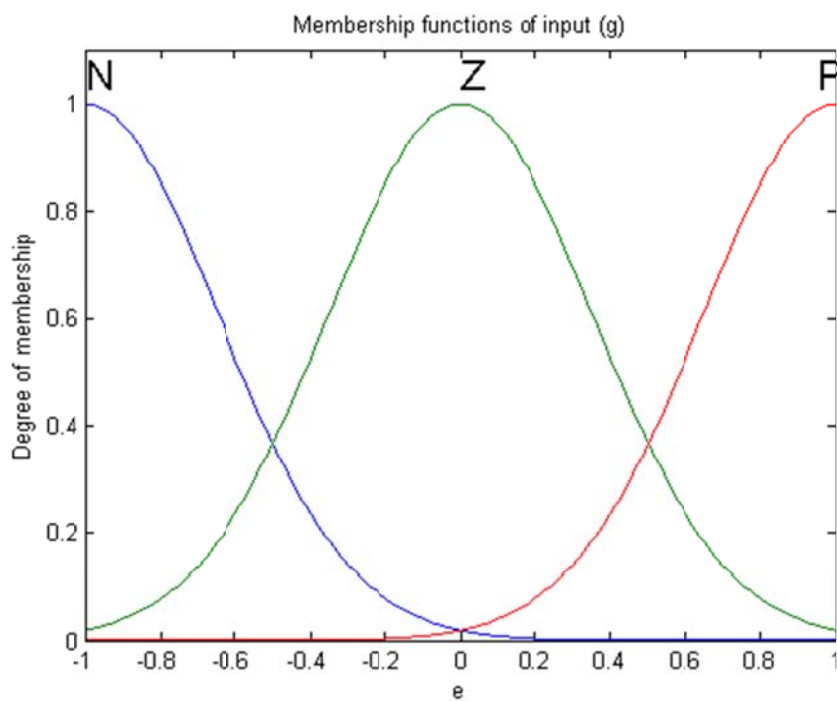
پارامترهای کنترل کننده به صورت زیر انتخاب شده‌اند

$$\begin{aligned}
 \gamma_1 &= 5, \gamma_2 = 5, \rho_1 = 0.1, \rho_2 = 0.1, k_2 = 100, k_3 = 10 \\
 k_{\eta_1} &= k_{\eta_2} = 0.01, \eta_{01} = \eta_{02} = 0.001, \eta_{\max 1} = \eta_{\max 2} = 1
 \end{aligned}$$

$$\hat{\theta}_1(0) = \hat{\theta}_2(0) = zeros(27,1), \hat{\eta}_1(0) = \hat{\eta}_2(0) = 0$$

شبیه سازی با فرض مشخص بودن نوع جاده انجام شده و فرض می کنیم نوع جاده معلوم بوده و مقدار لغزش بهینه آن نیز در دسترس است همچنین الگوریتم ترمز ضد قفل، تا زمانی که سرعت خطی خودرو $v = 3m/s$ کاهش یابد جرا می شود.

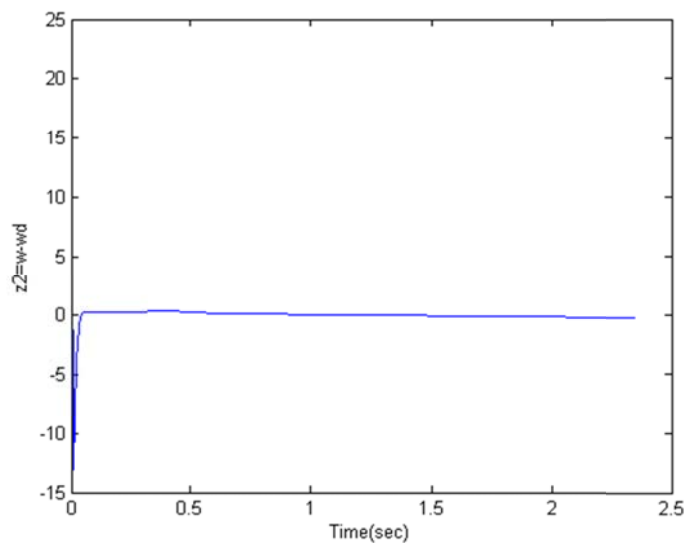
هر سیستم فازی دارای سه ورودی بوده، ورودی ها همگی به صورت نرمالیزه شده در آمداند و همگی در بازه [-1,1] می باشند، هر ورودی سیستم فازی دارای سهتابع تعلق به صورت شکل (۱۷-۳) می باشد، در نتیجه هر سیستم فازی دارای ۲۷ قانون است.



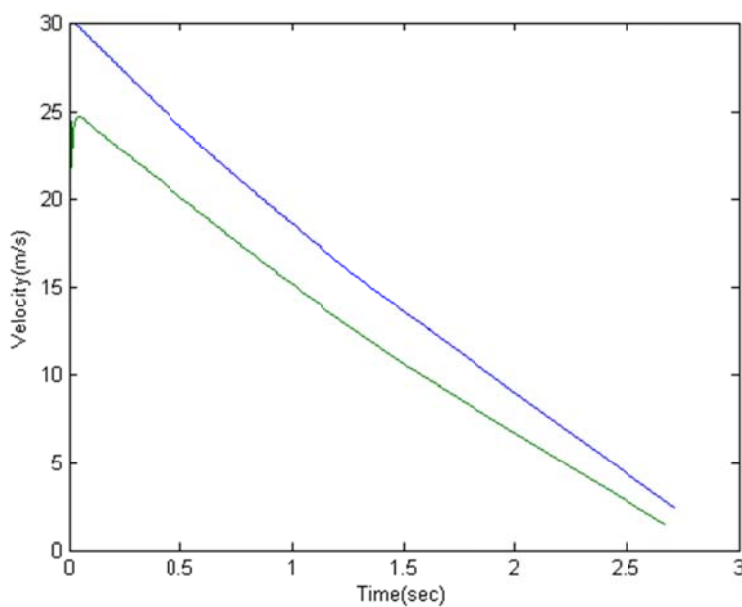
شکل (۱۷-۳) توابع تعلق ورودی

شکل (۱۸-۳) عملکرد حلقه کنترل در ردیابی مقدار سرعت زاویه ای مطلوب را نشان می دهد، ملاحظه می شود، پس از گذش زمان کوتاهی خطا در بازه بسیار کوچکی در نزدیکی مبدا قرار می گیرید. سرعت خودرو و چرخ در شکل (۱۹-۳) نشان داده شده است، همچنین تلاش کنترلی در شکل (۲۰-۳) دیده می شود، در شکل (۲۱-۳) مسافت طی شده خودرو با استفاده از ترمز ضد قفل نشان داده شده، که خودرو پس از ۰.۱۹ ثانیه و طی مساف

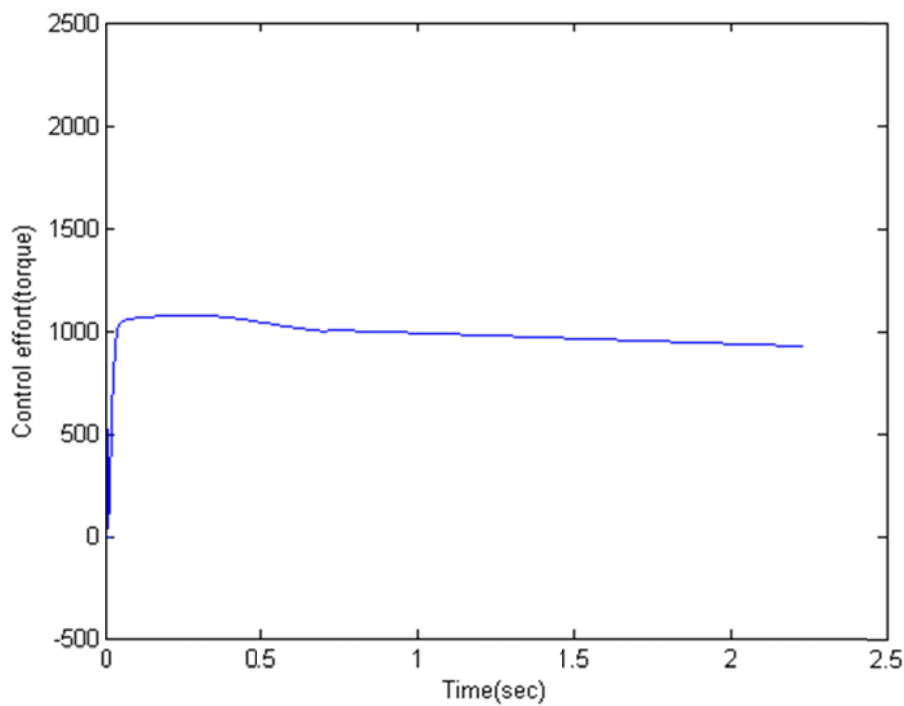
۳۹.۷۳ متر متوقف می‌شود، اما بدون استفاده از ترمز ضد قفل، شکل (۲۲-۳) مسافت طی شده برابر ۵۷.۳۲ متر و زمان توقف ۳.۶۸ ثانیه می‌باشد.



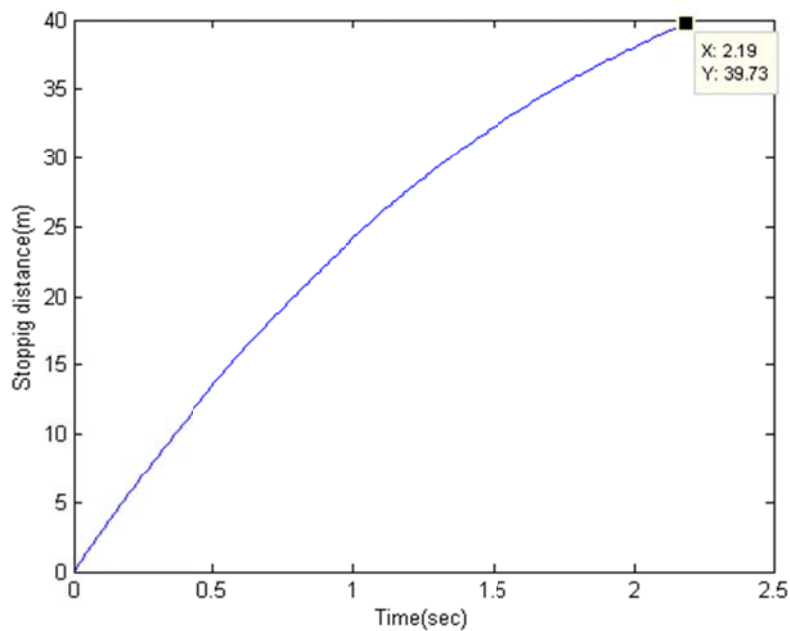
شکل (۱۸-۳) رديابي سرعت زاويه‌اي مطلوب



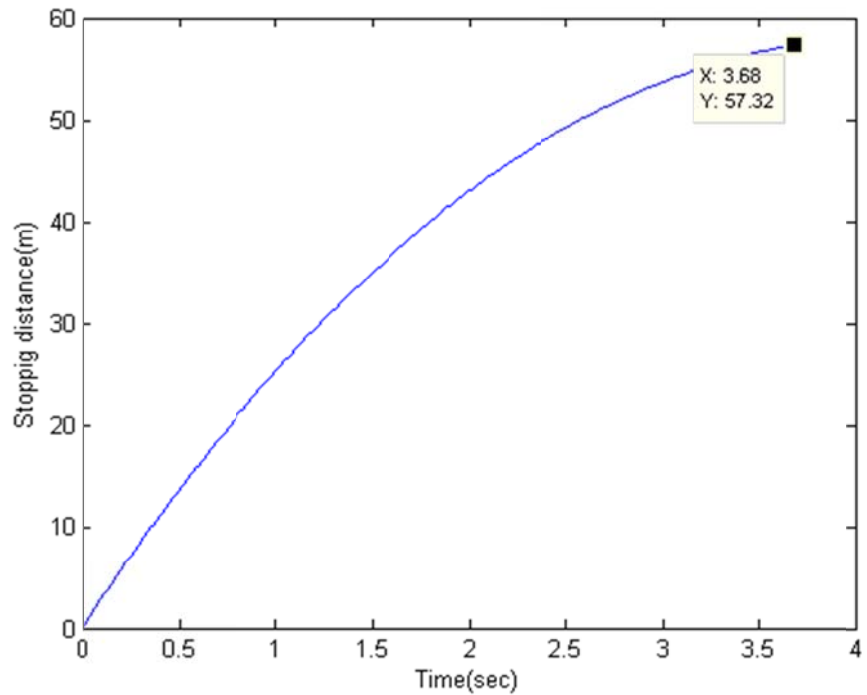
شکل (۱۹-۳) سرعت چرخ و خودرو



شکل (۲۰-۳) تلاش کنترلی



شکل (۲۱-۳) مسافت طی شده با استفاده از ترmez ضد قفل



شکل (۲۲-۳) مسافت طی شده بدون استفاده از ترمز ضد قفل

با توجه به کنترل کننده پیشنهادی در این بخش و نتایج شبیه سازی، می‌توان گفت که این روش آزاد از مدل بوده و تضمین پایداری نیز دارد، همچنین قادر به در نظر گرفتن دینامیک محرک‌ها در سیستم کنترل می‌باشد، اما تنظیم این کنترل کننده و بدست آوردن عملکرد بهینه و مطلوب از آن به علت داشتن پارامترهای تنظیم بیشتر، دشوارتر می‌باشد.

فصل چهارم

شناسایی سطح جاده، وابسته به مدل

۱-۴ مقدمه

در این بخش دو روش برای تخمین مقدار لغزش بهینه در هنگام ترمزگیری پیشنهاد شده، همچنین همگرایی روش‌های ارائه شده بررسی گردیده است. در این بخش یک مدل دینامیک برای بیان رابطه اصطکاک بین تایر و جاده بررسی شده و با استفاده از رویتگر و قانون تطبیق نوع جاده و لغزش بهینه در جاده تخمین زده است.

در [۱۸] یک مدل دینامیک به نام مدل لوگری^۱ برای توصیف اصطکاک بین دو سطح توسط یک سیستم غیرخطی مرتبه اول پیشنهاد شده است. در [۱۹] از این مدل برای بیان اصطکاک بین تایر و جاده استفاده شده، در [۲۰] این مدل اصلاح شده و یک پارامتر برای بیان نوع جاده به آن افزوده گردیده است، قانون تطبیق برای بدست آوردن این پارامتر ارائه شده است. در [۶۵، ۲۲] از رویتگر مود لغزشی برای تخمین حالت داخلی اصطکاک استفاده شده. در [۹] با استفاده از رویتگر تطبیقی دینامیک داخلی اصطکاک و نوع جاده بدست آمده. در همگی طرح‌های ارائه شده، فرض بر این است که پارامترهای اصطکاک معلوم هستند و تنها یک پارامتر که بیانگر نوع جاده است به همراه دینامیک داخلی اصطکاک نامعلوم‌اند سپس با استفاده از رویتگر نوع جاده و دینامیک داخلی اصطکاک بدست آمده‌اند. در این بخش روشی تطبیقی مبتنی بر رویتگر برای شناسایی نوع جاده و دینامیک داخلی اصطکاک پیشنهاد می‌دهیم، پارامترهای مدل اصطکاک را نامعلوم فرض کرده که با استفاده از قانون تطبیقی بدست آمده‌اند.

در نهایت با استفاده از شبیه‌سازی عملکرد این روش‌ها را تحلیل می‌کنیم. برای شبیه سازی الگوریتم‌های پیشنهادی از کنترل فازی تطبیقی مستقیم ارائه شده در بخش ۳-۲، استفاده می‌کنیم.

۲-۴ تخمین لغزش بهینه با استفاده از برازش منحنی

در این قسمت با استفاده از برازش منحنی روشی برای تخمین مقدار لغزش بهینه چرخ در زمان ترمزگیری ارائه می‌دهیم. برای اینکار از یک مدل رایج برای بیان اصطکاک به نام مدل بورکهارت [۴۸] استفاده می‌کنیم. در این مدل رابطه ضریب اصطکاک بین تایر و جاده تابعی غیرخطی از لغزش چرخ به صورت زیر می‌باشد

$$\mu(\lambda) = c_1 \left(1 - e^{-c_2 \lambda}\right) - c_3 \lambda \quad (1-4)$$

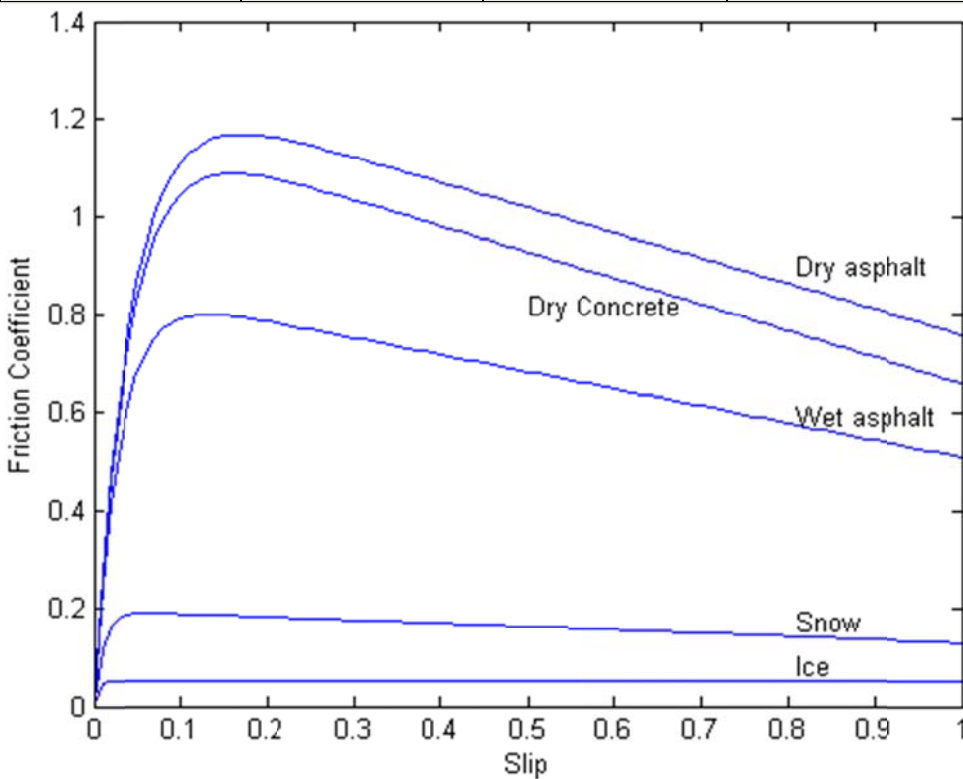
¹ LuGre

در این مدل با تغییر سه پارامتر c_1, c_2, c_3 شرایط مختلف جاده بدست می‌آیند.

جدول (۱-۴) مقادیر پارامترها برای شرایط مختلف جاده‌ای را نشان می‌دهد. شکل (۱-۴) نمودار تغییر ضریب اصطکاک بین تایر و جاده را در این شرایط جاده‌ای نشان می‌دهد. دیده می‌شود که در هر جاده ضریب اصطکاک بین تایر و جاده در یک لغزش خاص ماقسیم می‌شود. لغزشی که در آن ضریب اصطکاک حداقل می‌شود را لغزش بهینه می‌نامیم

جدول (۱-۴) پارامترهای بیان کننده سطوح مختلف جاده برای مدل اصطکاک بورکهارت [۴۸]

Surface condition	c_1	c_2	c_3
Dry asphalt	1.2801	23.99	0.52
Wet asphalt	0.857	33.822	0.347
Dry Concrete	1.1973	25.168	0.5373
Snow	0.1946	94.129	0.0646
Ice	0.05	306.39	0



شکل (۱-۴) نمودار ضریب اصطکاک بر حسب لغزش برای سطوح جاده مختلف

در ادامه برای طراحی این روش، فرض می‌کنیم رانندگی تنها در شرایط جاده‌ای بیان شده در جدول (۱-۴) انجام می‌شود.

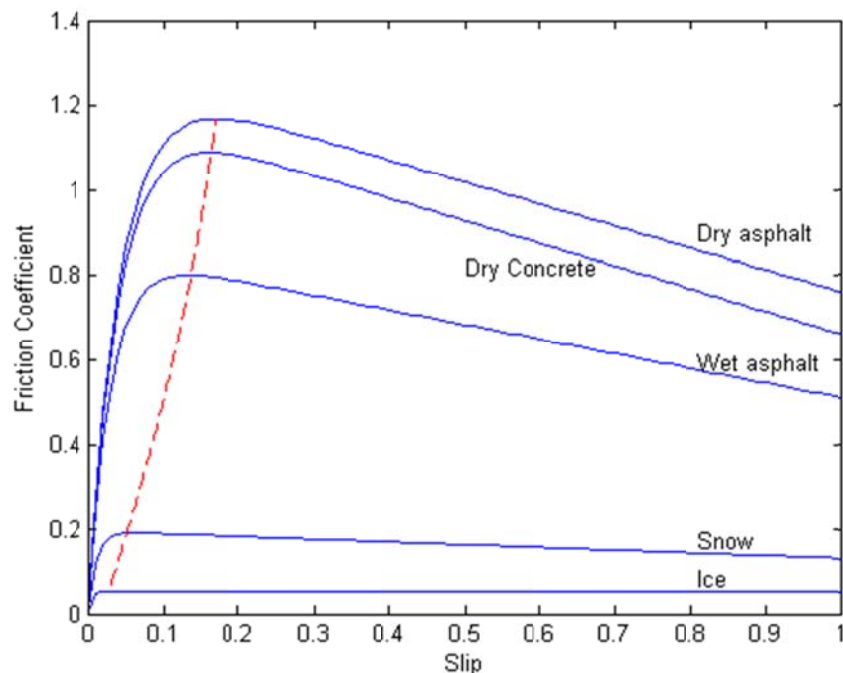
برای بدست آوردن مقدار لغزش بهینه در زمان ترمزگیری از برآش منحنی استفاده می‌کنیم، بنابراین یک منحنی بر تمام نقاط ماکزیمم در شکل (۱-۴) برآش می‌کنیم. این منحنی را به صورت زیر پیشنهاد می‌دهیم

$$\hat{\lambda}_d(\mu) = a_0 + a_1\mu + a_2\mu^2 = \begin{bmatrix} a_0 \\ a_1 \\ a_2 \end{bmatrix}^T \begin{bmatrix} 1 \\ \mu \\ \mu^2 \end{bmatrix} = \alpha^T \varphi(\mu) \quad (2-4)$$

که پارامترهای a_0, a_1, a_2 با استفاده از روش تخمین حداقل مربعات بدست می‌آیند. با فرض اینکه منحنی‌های شکل (۱-۴) موجود بوده و رانندگی تنها در این سطوح جاده‌ای انجام می‌شود، با استفاده از نقاط ماکسیمم در شکل (۱-۴) و الگوریتم حداقل مربعات پارامترهای نامعلوم در (۲-۴) به صورت زیر بدست می‌آیند

$$[a_0 \quad a_1 \quad a_2] = [0.0172 \quad 0.1875 \quad -0.0507]$$

شکل (۲-۴) منحنی برآش شده را نشان می‌دهد



شکل (۲-۴) منحنی برآش شده

با توجه به منحنی‌های شکل(۴-۱) می‌توان گفت که لغزش بهینه در بازه‌ی ۰.۰۲ تا ۰.۱۷ می‌باشد، در این بازه مقدار ضریب اصطکاک از ۰.۰۵ تا ۰.۱۷ تغییر می‌کند. در نتیجه برای بدست آوردن مقدار لغزش بهینه از رابطه زیر استفاده می‌کنیم

$$\hat{\lambda}_d = \begin{cases} 0.02 & \text{if } \mu < 0.05 \\ 0.0172 + 0.1875\mu - 0.0507\mu^2 & \text{if } \mu \geq 0.05 \end{cases} \quad (3-4)$$

در زمان ترمزگیری، مقدار ضریب اصطکاک بین تایر و جاده محاسبه شده و به عنوان ورودی به معادله (۳-۴) داده می‌شود و سپس مقدار لغزش بهینه محاسبه می‌شود، لغزش بهینه بدست آمده به عنوان ورودی مرجع به حلقه کنترل برای تنظیم داده می‌شود.

در لحظات اولیه ترمزگیری مقدار لغزش چرخ کوچک بوده و در نتیجه مقدار ضریب اصطکاک نیز کوچک است، در نتیجه در ابتدا مقدار لغزش بهینه ۰.۰۲ قرار داده می‌شود، سیستم کنترل با تنظیم لغزش چرخ در این مقدار و در طول عمل تنظیم، ضریب اصطکاک بر اساس نوع جاده و بر اساس منحنی‌های شکل(۴-۱) تغییر می‌کند، سپس مقدار ضریب اصطکاک محاسبه شده و به معادله (۳-۴) داده می‌شود، در نتیجه مقدار لغزش بهینه بدست می‌آید.

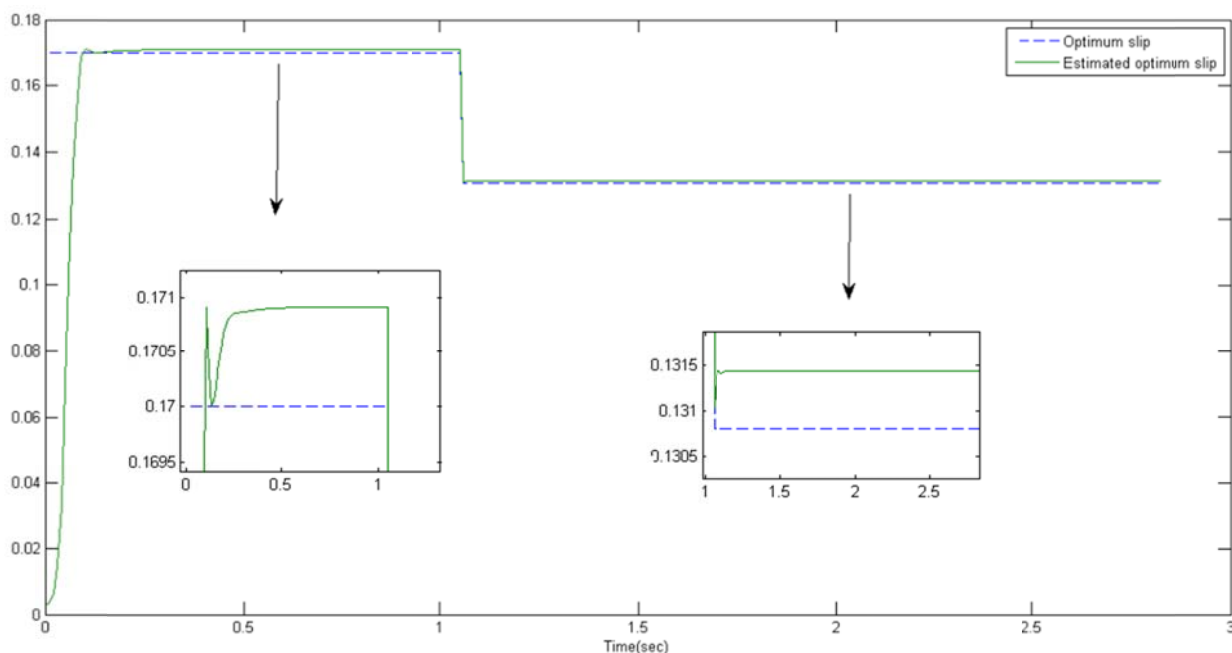
با توجه به اینکه همواره ضریب اصطکاک بین تایر و جاده بین ۰.۰۵ تا ۰.۱۷ است، همواره لغزش بهینه و ورودی مرجع حلقه کنترل در بازه ۰.۰۲ تا ۰.۱۷ بوده و از قفل شدن چرخ‌ها جلوگیری می‌شود و همچنین با توجه به منحنی برآشش شده همواره لغزش بهینه تخمین زده شده در نزدیکی مقدار لغزش بهینه واقعی می‌باشد.

۳-۴ شبیه سازی روش برازش منحنی برای بدست آوردن لغزش بهینه

با استفاده از شبیه سازی عملکرد روش پیشنهادی را بررسی می کنیم. برای شبیه سازی این روش، از کنترل کننده فازی تطبیقی مستقیم که در بخش ۴-۳ طراحی شده استفاده می کنیم.

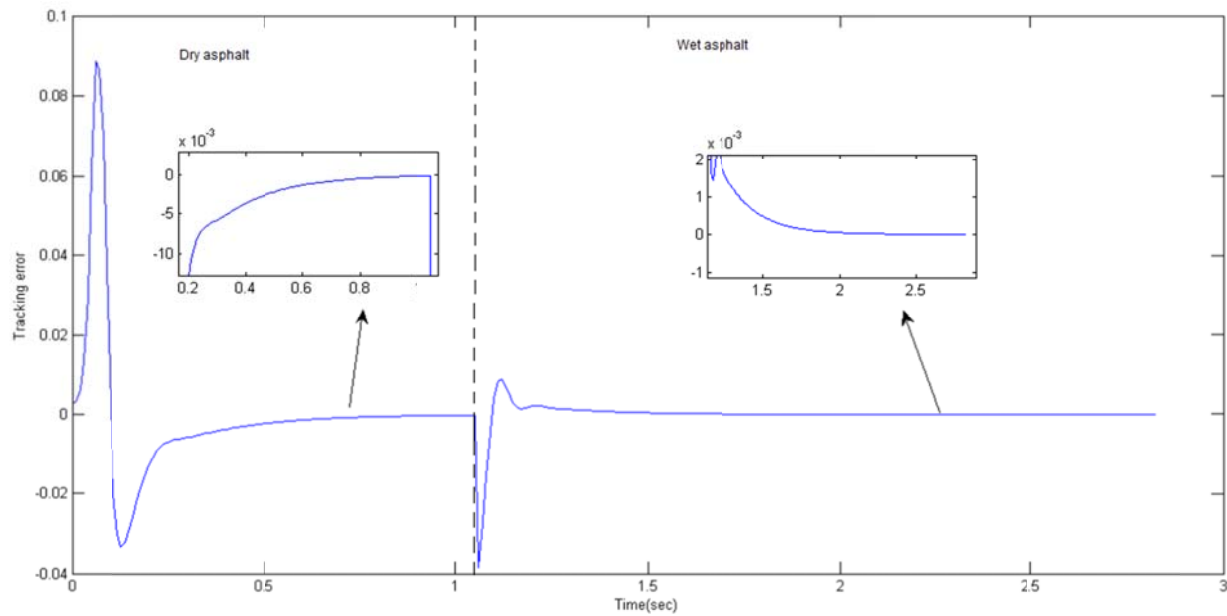
با فرض ترمزگیری در جاده مسطح و در مسیری مستقیم، با سرعت اولیه $v = 30m/s$ ، شرایط جاده‌ای، بعد از طی $25m$ از آسفالت خشک به آسفالت خیس تغییر می‌یابد، پارامترهای کنترل کننده به همان صورت ارائه شده در بخش ۵-۳ می‌باشند.

شکل (۴-۴) عملکرد تخمینگر نوع جاده را نشان می‌دهد، با توجه به این شکل می‌توان گفت که بعد از گذشت زمان کوتاهی نوع جاده با خطای کمی شناسایی شده است.



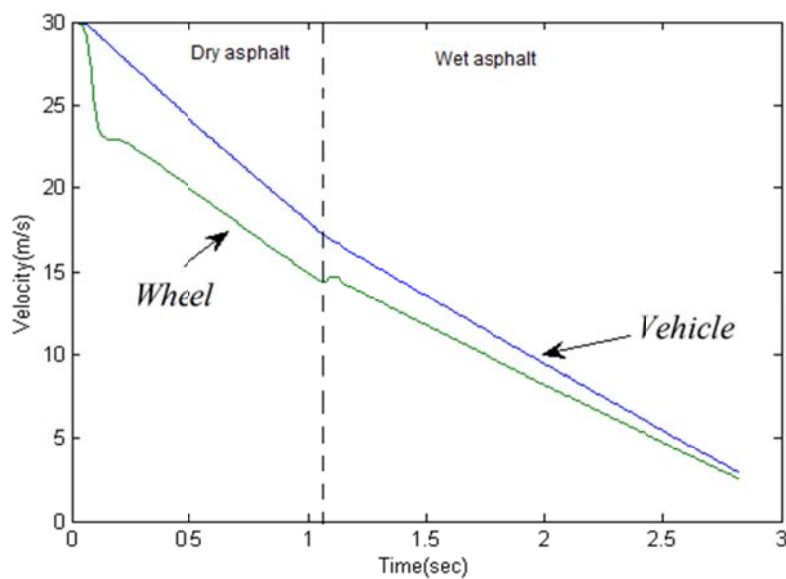
شکل (۴-۴) تخمین لغزش بهینه

عملکرد ردیابی حلقه کنترل، در شکل (۴-۴) شناسان داده شده

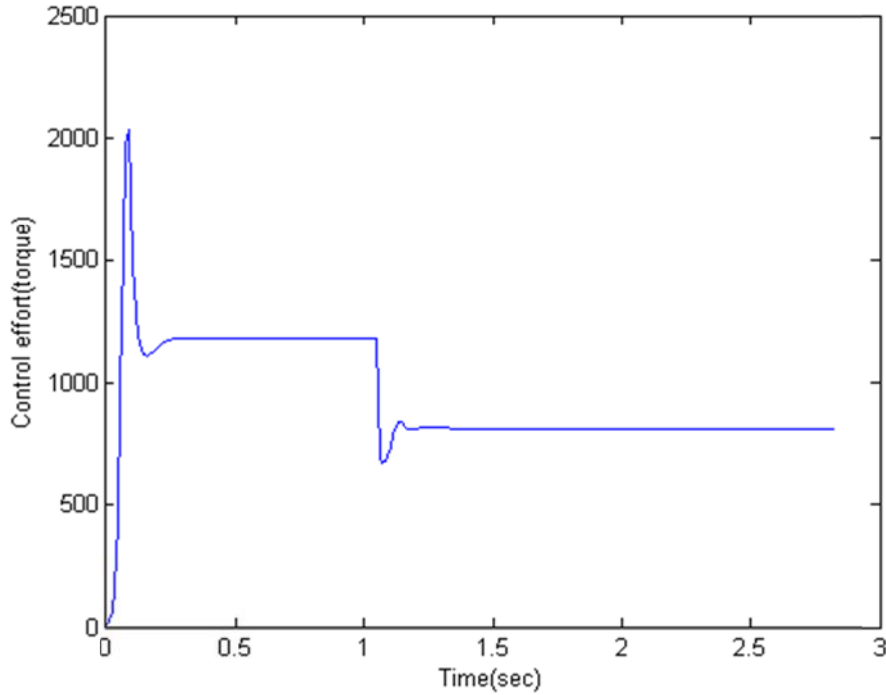


شکل (۴-۴) عملکرد ردیابی

تغییرات سرعت خودرو و چرخ در (۵-۴) ملاحظه می‌شود، همچنین تلاش کنترلی در شکل (۶-۴) دیده می‌شود.



شکل (۵-۴) سرعت خودرو



شکل (۶-۴) تلاش کنترلی

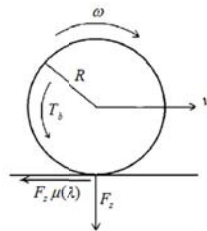
۴-۴ شناسایی سطح جاده بر پایه رویتگر

در این بخش یک کنترل کننده فازی تطبیقی مستقیم برای سیستم ترمز ضد قفل، بر پایه مدل دینامیکی لوگری برای اصطکاک بین تایر و جاده پیشنهاد می‌شود، با فرض اندازه‌گیری سرعت خطی خودرو و سرعت زاویه‌ای چرخ، دینامیک داخلی اصطکاک بین تایر و جاده توسط رویتگر بدست می‌آید، پارامترهای مدل اصطکاک توسط قانون تطبیق و به صورت بر-خط محاسبه شده و در نتیجه حداکثر اصطکاک بین تایر و جاده بدست می‌آید، کنترل کننده فازی تطبیقی مستقیم ارائه شده در بخش ۳-۴ برای شبیه سازی و بررسی عملکرد الگوریتم پیشنهادی استفاده می‌شود. وظیفه حلقه کنترل تنظیم لغزش چرخ در مقدار مطلوب می‌باشد، در نهایت با استفاده از شبیه سازی عملکرد روش پیشنهادی بررسی می‌شود.

۱-۴-۴ مدل سازی ریاضی سیستم

مدل ریاضی اصطکاک استفاده شده در این بخش مدل لوگری ارائه شده در [۱۹] است. مدل یک چهارم خودرو در شکل (۷-۴) نشان داده شده. با استفاده از قانون دوم نیوتن، معادلات دینامیکی یک چهارم خودرو به صورت زیر بیان می شود:

$$\begin{aligned}\dot{z} &= v_r - \frac{\sigma_0 |v_r|}{h(v_r)} z = v_r - \sigma_0 f(v_r) z \\ m\dot{v} &= -F_z \mu(\lambda) \\ J\dot{\omega} &= -B\omega - F_z \mu(\lambda) R - T_b\end{aligned}\quad (۴-۴)$$



شکل (۷-۴) مدل ۱/۴ خودرو

که z دینامیک داخلی اصطکاک، $f(v_r) = \frac{|v_r|}{h(v_r)}$ ضریب اصطکاک نرمالیزه شده کولمب، v_s سرعت نسبی استریبیک، σ_0 سختی طولی لاستیک، m جرم کل شامل، جرم چرخ و جرم خودرو می باشد، v سرعت طولی خودرو، F_z نیروی عمودی، $\mu(\lambda)$ ضریب اصطکاک بین جاده و لاستیک می باشد، J ممان اینرسی چرخ، ω سرعت زاویه ای چرخ، B ضریب اصطکاک بلبرینگ چرخ، R شعاع چرخ، T_b گشتاور ترمزی می باشد.

همچنین ضریب اصطکاک بین تایر و جاده به صورت زیر بیان می شود

$$\mu(\lambda) = \sigma_0 z + \sigma_1 \dot{z} + \sigma_2 v_r \quad (۵-۴)$$

که σ_1 میرایی طولی لاستیک، و σ_2 میرایی نسبی ویسکوز است.

لغزش چرخ که به صورت سرعت نسبی نرمالیزه شده بین بدنه و لاستیک خودرو می باشد، که با صرفنظر کردن از حرکات جانبی خودرو به صورت زیر تعریف می شود

$$\lambda = \frac{v - R\omega}{v} \quad (6-4)$$

با مشتق گیری نسبت به زمان از معادله (6-4) داریم:

$$\dot{\lambda} = \frac{-R\dot{\omega}v + R\omega\dot{v}}{v^2} \quad (7-4)$$

جایگذاری (4-4) در (7-4) نتیجه می‌دهد

$$\begin{aligned} \dot{\lambda} &= \frac{-R}{vJ}(-B\omega + F_z\mu(\lambda) - (T_b + d)) + \frac{R\omega}{mv^2}(-F_z\mu(\lambda) - C_x v^2) \\ &= \frac{RB\omega - F_z\mu(\lambda)R}{vJ} - \frac{R\omega F_z\mu(\lambda) + R\omega C_x v^2}{mv^2} + \frac{R}{vJ}T_b \end{aligned} \quad (8-4)$$

که در آن $\mu(\lambda) = \sigma_0 z + \sigma_1(v_r - \sigma_0 f(v_r)z) + \sigma_2 v_r$

را به صورت ساده شده‌ی زیر می‌توان نشان داد:

$$\dot{\lambda} = f(\lambda, v, \omega, z) + gu \quad (9-4)$$

که در آن :

$$f(\lambda, v, \omega, z) = \frac{RB\omega - F_z\mu(\lambda)R}{vJ} - \frac{R\omega F_z\mu(\lambda) + R\omega C_x v^2}{mv^2}$$

$$g = \frac{R}{J}$$

که $u = \frac{T_b}{v}$ سیگнал کنترل می‌باشد.

۲-۴-۴ رویتگر حالت داخلی اصطکاک و تخمین تطبیقی پارامترها

با فرض اینکه شتاب خطی خودرو قابل اندازه‌گیری و در دسترس می‌باشد، می‌توان اصطکاک بین تایر و جاده را با استفاده از رابطه زیر محاسبه کرد

$$\mu(\lambda) = -\frac{m\dot{v}}{F_z}$$

با جایگذاری (۴-۴) در (۵-۴) داریم

$$\mu = \sigma_0 z + \sigma_1 [v_r - \sigma_0 f(v_r)z] - \sigma_2 v_r = \sigma_0 z - \sigma_3 f(v_r)z - \sigma_4 v_r \quad (10-4)$$

که در آن $\sigma_1 = \sigma_0 \sigma_1 = \sigma_0 \sigma_3$ و $\sigma_4 = \sigma_1 - \sigma_2$ و $\sigma_3 = \sigma_0, \sigma_4$ و σ_0 خطی

بوده و به صورت $U = [z \quad -f(v_r)z \quad v_r], \Theta = [\sigma_0 \quad \sigma_3 \quad \sigma_4]^T$ قابل بیان است، در ادامه با فرض نامعلوم بودن بردار پارامترهای اصطکاک Θ ، قانون تطبیق برای بدست آوردن این پارامترها بدست می‌آوریم.

رویتگر زیر را برای تخمین دینامیک داخلی اصطکاک پیشنهاد می‌شود

$$\hat{z} = v_r - \hat{\sigma}_0 f(v_r) \hat{z} \quad (11-4)$$

قانون تطبیق برای بدست آوردن پارامترهای اصطکاک را به صورت زیر پیشنهاد می‌دهیم

$$\dot{\hat{\Theta}} = -\Gamma \hat{U} \tilde{\mu} \quad (12-4)$$

که در آن $\Gamma = diag(\gamma_0, \gamma_3, \gamma_4) > 0$ یک ماتریس قطری، $\hat{U} = [\hat{z} \quad -f(v_r)\hat{z} \quad v_r]$ بردار رگرسورها می‌باشد، که با توجه به تخمین دینامیک داخلی اصطکاک بدست می‌آید و همچنین

$$\tilde{\mu} = \hat{U} \hat{\Theta} - U \Theta = \hat{U} \tilde{\Theta} + \tilde{U} \Theta \quad (13-4)$$

که $U \Theta = \mu$ قابل محاسبه می‌باشد. دینامیک خطای رویتگر به صورت زیر است

$$\dot{\hat{z}} = \dot{\hat{z}} - \dot{z} = -\hat{\sigma}_0 f(v_r) \hat{z} + \sigma_0 f(v_r) z = -\sigma_0 f(v_r) \tilde{z} - \tilde{\sigma}_0 f(v_r) \hat{z} \quad (14-4)$$

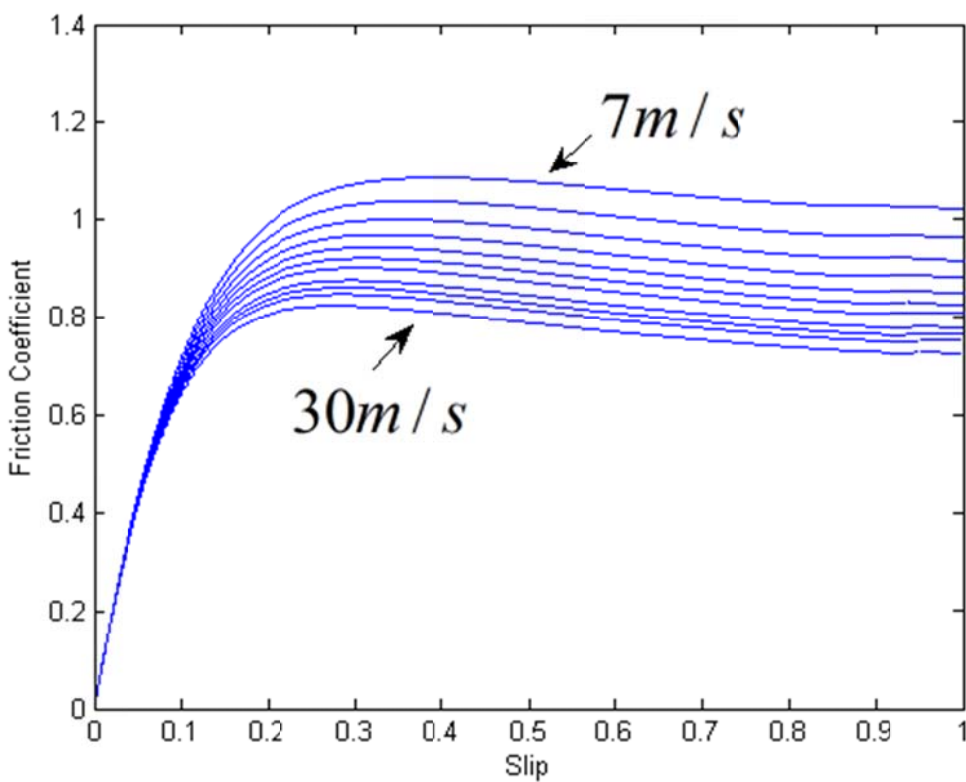
در ادامه، از مدل دینامیکی لوگری برای تخمین مقدار لغزش بهینه λ_d استفاده می‌شود، برای محاسبه λ_d یک پاسخ شبه-استاتیک برای مدل دینامیکی بیان‌کننده اصطکاک بین تایر و جاده نیاز است، که بتوان در هر سرعت معلوم، و با مشخصی بودن پارامترهای اصطکاک، مقدار لغزش بهینه بدست بیاید. با توجه به مطالب ارائه شده در [۲۱، ۶۶] می‌توان پاسخ شبه-استاتیک برای مدل دینامیکی اصطکاک را به صورت زیر بدست آورد.

$$\mu(\lambda, v_r, \Theta) = h(v_r) \left\{ 1 + 2\beta \frac{h(v_r)}{\sigma_0 l |\alpha|} \left(e^{-[(\sigma_0 l |\alpha|)/(2h(v_r))]} - 1 \right) \right\} + \sigma_2 v_r$$

$$\alpha = \frac{\lambda}{1-\lambda}, \beta = 1 - \frac{\sigma_1 |\alpha|}{R \omega h(v_r)}$$
(15-4)

که در آن l طول ناحیه تماس بین تایر و جاده می‌باشد.

منحنی اصطکاک بر حسب لغزش برای سرعت‌های مختلف با استفاده از معادله (15-4) در شکل (۸-۴) نشان داده شده است.



شکل (۸-۴) ضریب اصطکاک بر حسب لغزش برای مدل شبکه-استاتیک در سرعت‌های مختلف

مقدار لغزش بهینه چرخ به صورت زیر محاسبه می‌شود

$$\lambda_d = \arg \max_{\lambda} \{\mu(\lambda, v_r, \Theta)\}$$

که با توجه به تخمین پارامترهای اصطکاک، مقدار لغزش بهینه تخمینی به صورت زیر بدست می‌آید

$$\hat{\lambda}_d = \arg \max_{\lambda} \{\mu(\lambda, v_r, \hat{\Theta})\}$$

۴-۴-۳ تحلیل پایداری الگوریتم پیشنهادی

برای تحلیل پایداری رویتگر و همگرایی پارامترها،تابع مثبت معین زیر را در نظر می‌گیریم

$$L = \frac{1}{2} \tilde{z}^2 + \frac{1}{2} \tilde{\Theta}^T \Gamma^{-1} \tilde{\Theta} \quad (16-4)$$

مشتق زمانی (16-4) به صورت زیر بدست می‌آید

$$\dot{L} = \tilde{z} \dot{\tilde{z}} + \tilde{\Theta}^T \Gamma^{-1} \dot{\tilde{\Theta}} \quad (17-4)$$

با جایگذاری از (11-4) تا (14-4) در (17-4) داریم

$$\dot{L} = \tilde{z}(-\sigma_0 f(v_r) \tilde{z} - \tilde{\sigma}_0 f(v_r) \hat{z}) - \tilde{\Theta}^T \Gamma^{-1} \hat{U} (\hat{U} \tilde{\Theta} + \tilde{U} \Theta) \quad (18-4)$$

این معادله را می‌توان به صورت زیر بازنویسی کرد

$$\dot{L} = -[\tilde{\Theta}^T \quad \tilde{z}] \begin{bmatrix} \hat{U}^T \hat{U} & \hat{U}^T U_1 \Theta \\ U_2 & \sigma_0 f(v_r) \end{bmatrix} \begin{bmatrix} \tilde{\Theta} \\ \tilde{z} \end{bmatrix} = -\phi^T Q \phi \quad (19-4)$$

که $\phi = [\tilde{\Theta}^T \quad \tilde{z}]^T$ و برای بدست آوردن (19-4) از روابط زیر استفاده شده است

$$\tilde{U} = [\hat{z} \quad -f(v_r) \hat{z} \quad v_r] - [z \quad -f(v_r) z \quad v_r] = [1 \quad -f(v_r) \quad 0] \tilde{z} = U_1 \tilde{z}$$

$$-\tilde{z} f(v_r) \hat{z} \hat{\sigma}_0 = -\tilde{z} [f(v_r) \quad 0 \quad 0]^T \tilde{\Theta}$$

ماتریس Q به صورت زیر بدست می‌آید

$$Q = \begin{bmatrix} \hat{z}^2 & -f(v_r) \hat{z}^2 & \hat{z} v_r & | & w_1 \\ -f(v_r) \hat{z}^2 & f(v_r) \hat{z}^2 & -f(v_r) \hat{z} v_r & | & w_2 \\ v_r \hat{z} & -v_r f(v_r) \hat{z} & v_r^2 & | & w_3 \\ -f(v_r) \hat{z} & 0 & 0 & | & \sigma_0 f(v_r) \end{bmatrix}$$

$$\cdot w_1 = \hat{z} \sigma_0 - f(v_r) \hat{z} \sigma_3, w_2 = -f(v_r) \hat{z} \sigma_0 + f^2(v_r) \hat{z} \sigma_3, w_3 = v_r \sigma_0 - f(v_r) v_r \sigma_3 \quad \text{با}$$

با توجه به اینکه هر ماتریس مربعی را می‌توان به صورت حاصل جمع یک ماتریس متقارن و یک ماتریس پارمتقارن به صورت زیر نمایش داد

$$Q = \frac{Q+Q^T}{2} + \frac{Q-Q^T}{2} = Q_1 + Q_2$$

که در آن Q_1 متقارن و Q_2 پاد متقارن است، در نتیجه می‌توان (۴-۱۹) را به صورت زیر نوشت

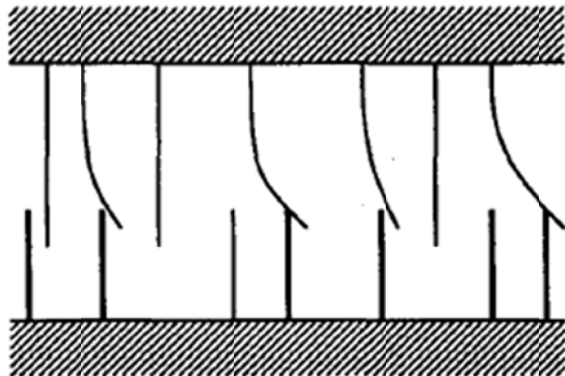
$$\dot{L} = -\phi^T Q_1 \phi - \phi^T Q_2 \phi = -\phi^T Q_1 \phi + 0$$

ماتریس Q_1 به شکل زیر می‌باشد

$$Q_1 = \left[\begin{array}{ccc|c} \hat{z}^2 & -f(v_r)\hat{z}^2 & \hat{z}v_r & \frac{f(v_r)\hat{z} + w_1}{2} \\ -f(v_r)\hat{z}^2 & f(v_r)\hat{z}^2 & -f(v_r)\hat{z}v_r & \frac{w_2}{2} \\ v_r\hat{z} & -v_r f(v_r)\hat{z} & v_r^2 & \frac{w_3}{2} \\ \hline \frac{\bar{f}(v_r)\hat{z} + w_1}{2} & \frac{w_2}{2} & \frac{w_3}{2} & \sigma_0 f(v_r) \end{array} \right]$$

با توجه به این ماتریس می‌توان به سادگی دید که کهاد اصلی اول آن به صورت $\det Q_1(1,1) = \hat{z}^2 \geq 0$ و باقی کهادهای اصلی آن همگی صفر می‌باشند، پس Q_1 ماتریس مثبت نیمه معین می‌باشد، که این خود نتیجه می‌دهد $\dot{L} = -\phi^T Q_1 \phi \leq 0$. از آنجایی که $L(t) \leq L(0)$ ، از آنجایی که پارامترهای اصطکاک $\Theta = [\sigma_0 \quad \sigma_3 \quad \sigma_4]^T$ محدوداند، و دینامیک داخلی اصطکاک \hat{z} نیز محدود است، می‌توان نتیجه گرفت $\hat{\Theta}$ و \hat{z} نیز محدوداند.

محدود بودن دینامیک داخلی اصطکاک را می‌توان اینگونه تحلیل کرد که: با توجه به [۱۸] دینامیک داخلی اصطکاک \hat{z} ، را می‌توان به عنوان متوسط انحرافات برآمدگی‌های بین دو سطح که با یکدیگر درگیر هستند در نظر گرفت. این پدیده در شکل (۴-۹) دیده می‌شود



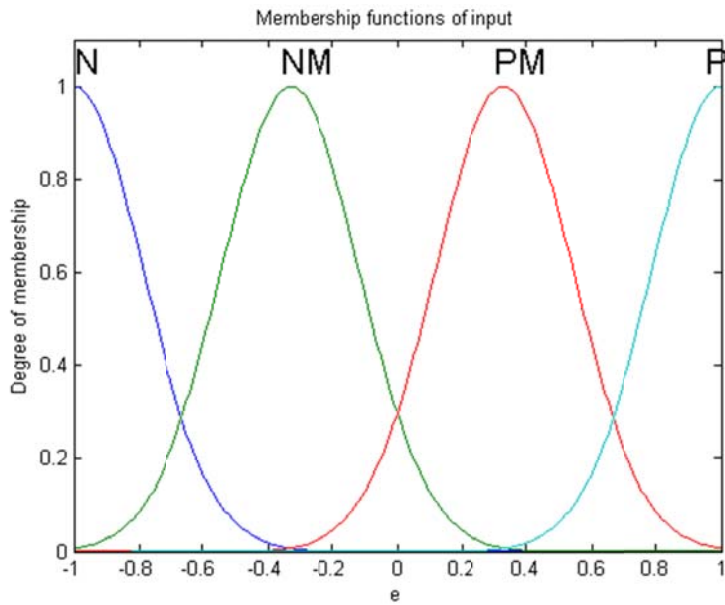
شکل (۹-۴) رابطه اصطکاک بین دو سطح، برای سادگی برآمدگی سطح پایینی ثابت فرض شده.[۱۸]

در نتیجه با توجه به محدود بودن ناحیه تماس بین تایر و جاده، می‌توان گفت \dot{z} محدود است.

همچنین در زمان ترمز گیری $h(v_r) = \mu_c + (\mu_s - \mu_c)e^{-\frac{(v_r)}{v_s}^{0.5}}$ و $v_r = v - R\omega \geq 0$ است، در نتیجه داریم $\dot{L} = \frac{v_r}{h(v_r)}$ و با مشتق گیری از (۱۸-۴) می‌توان گفت که \ddot{L} محدود است، در نتیجه \dot{L} پیوسته یکنواخت است. در نهایت با استفاده از لم باربالات [۶۷] اثبات می‌شود که $0 \rightarrow \tilde{\Theta} \rightarrow 0$ زمانی که $t \rightarrow \infty$ و همگرایی مجانبی رویتگر و پارامترها را تضمین می‌کند.

۵-۴ شبیه سازی روش شناسایی سطح جاده بر پایه رویتگر

برای شبیه سازی از داده‌های جدول (۲-۴) استفاده می‌کنیم، نتایج با فرض ترمز گیری در شرایط جاده صاف و مستقیم، با سرعت اولیه $s = 30m/s$ بدست آمده. سیستم فازی دارای چهار قانون با توابع عضویت ورودی به صورت شکل (۱۰-۴) می‌باشد. پارامترهای کنترل کننده به صورت $\hat{\theta}(0) = zeros(4,1)$ ماتریس تطبیق برای پارامترهای اصطکاک اولیه پارامترهای کنترل کننده به صورت $\hat{\theta}(0) = zeros(4,1)$ ماتریس تطبیق برای پارامترهای اصطکاک اولیه پارامترهای کنترل کننده به صورت $\Gamma = diag([400 \quad 550 \quad 3])$ و همچنین مقداری اولیه پارامترهای اصطکاک به صورت $\hat{\Theta}(0) = 50ones(3,1)$ انتخاب شده‌اند.



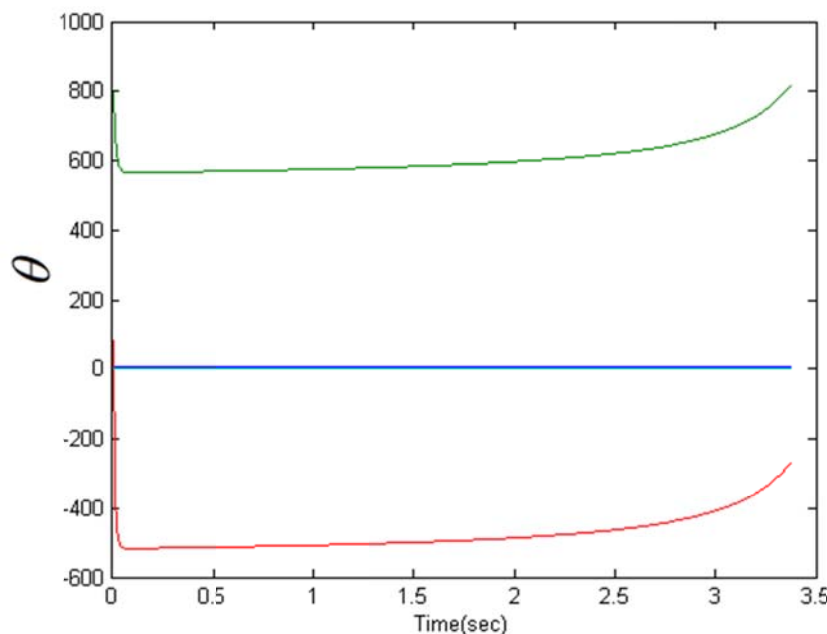
شکل (۱۰-۴) توابع تعلق ورودی سیستم فازی

جدول (۲-۴) پارامترهای مدل $\frac{1}{4}$ خودرو و مدل اصطکاک

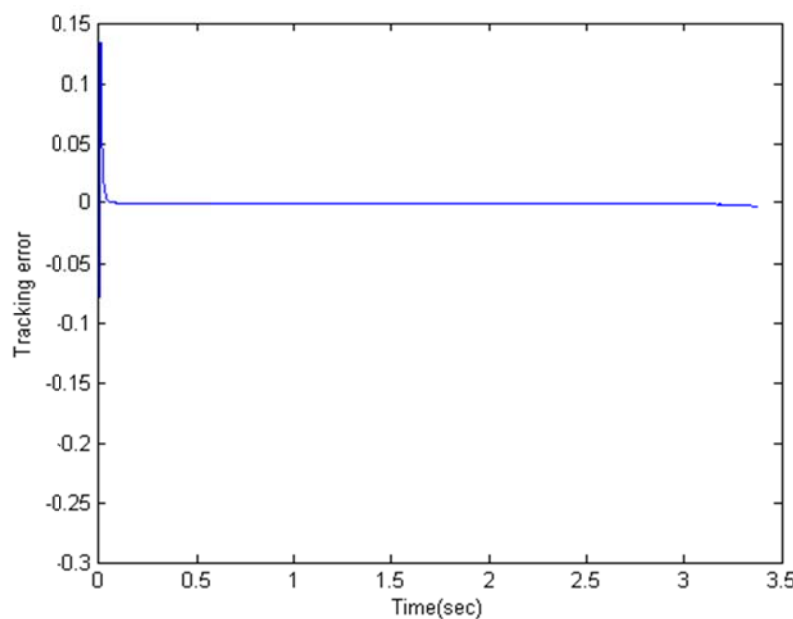
Parameter	Value
m	390 Kg
R	0.25 m
B	0.08
J	$1.7 \text{ Kg } m^2$
σ_0	40 (N/m)
σ_0	4.9487(Ns/m)
σ_0	.0018
μ_c	0.5
μ_c	0.9
v_s	12.5(m/s)
l	0.2(m/s)

شکل (۱۰-۴) تطبیق پارامترهای سیستم فازی را نشان می‌دهد، خطای ردیابی در شکل (۱۱-۴) نشان داده شده است، دیده می‌شود که پس گذشت زمان کوتاهی خطای ردیابی کمتر از می‌شود، سرعت خودرو و چرخ در شکل (۱۲-۴) می‌باشد، تلاش کنترلی و لغزش بهینه تخمینی در (۱۳-۴) و (۱۴-۴) و تخمین دینامیک داخلی اصطکاک در (۱۵-۴) و تطبیق پارامترهای اصطکاک در (۱۶-۴) تا (۱۸-۴) نشان داده شده‌اند.

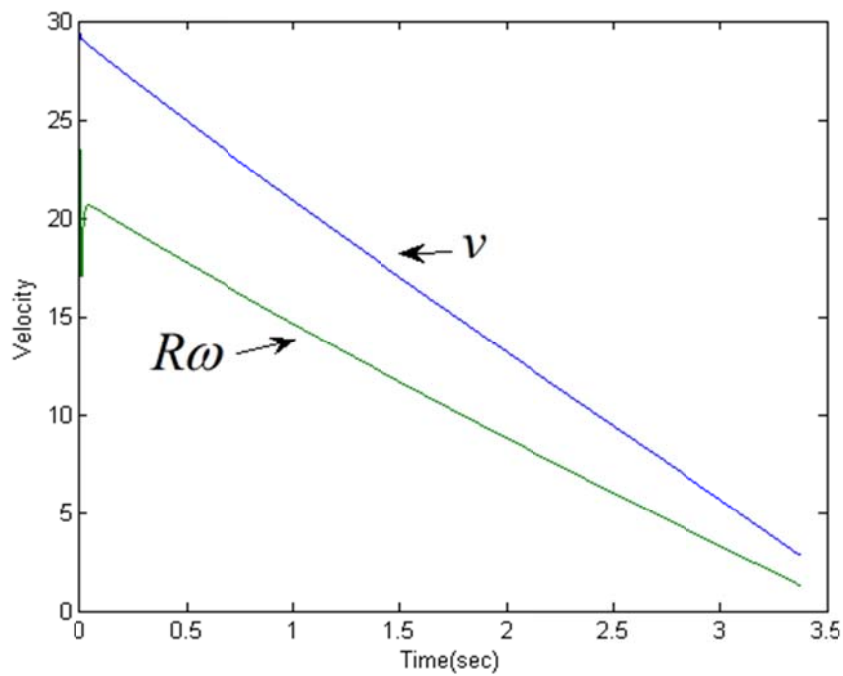
با توجه به شکل (۱۹-۴) دیده می‌شود که خودرو با استفاده از ترمز ضد قفل پس از طی مسافت ۵۳.۱۷ متر و ۳.۳۷۴ ثانیه متوقف شده است، در شکل (۲۰-۴) نشان داده شده که بدون استفاده از ترمز ضد قفل خودرو پس از ۴.۱۸ ثانیه و طی مسافت ۷۰.۹۲ متر متوقف شده است.



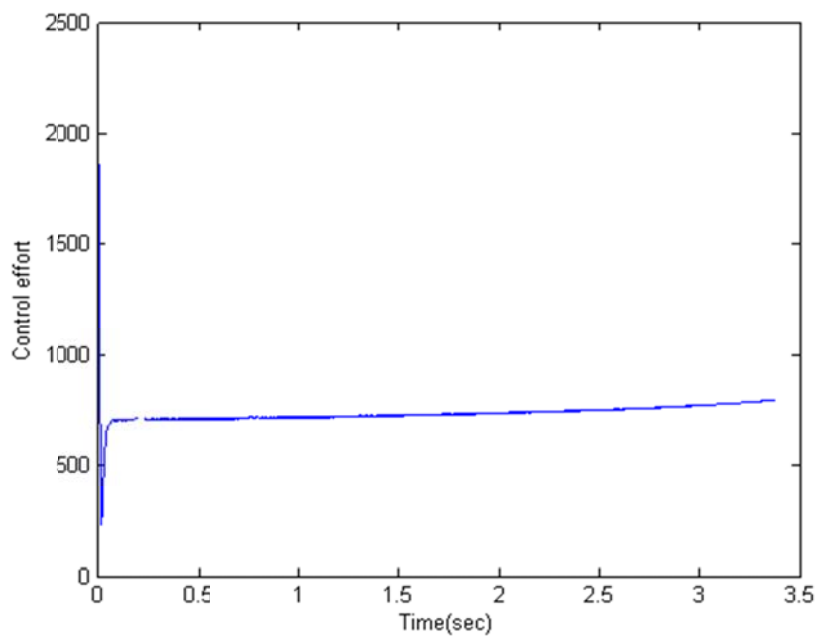
شکل (۱۱-۴) پارامترهای کننده فازی تطبیقی



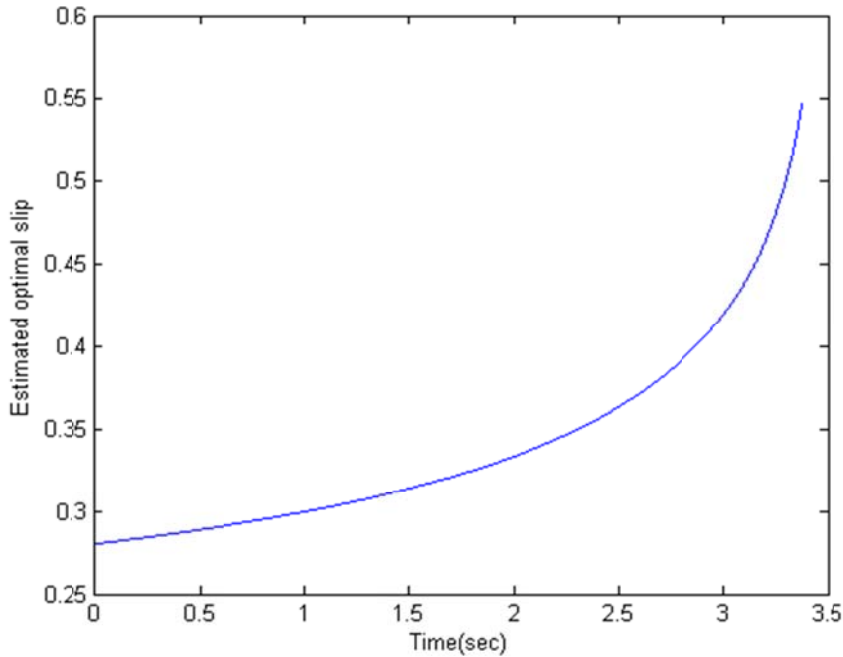
شکل (۱۲-۴) عملکرد ردیابی



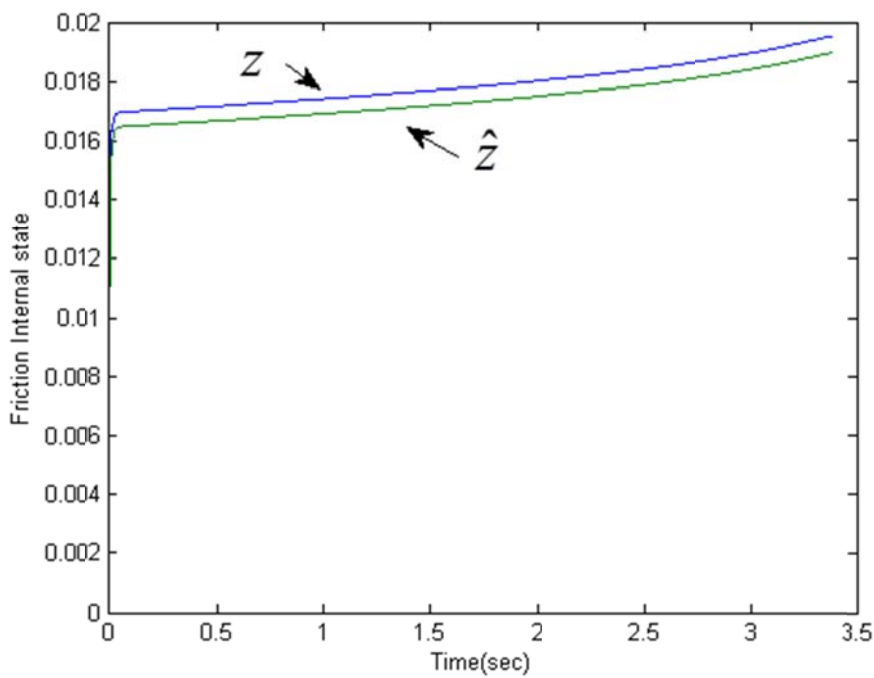
شكل (۱۳-۴) سرعت خودرو و تایر



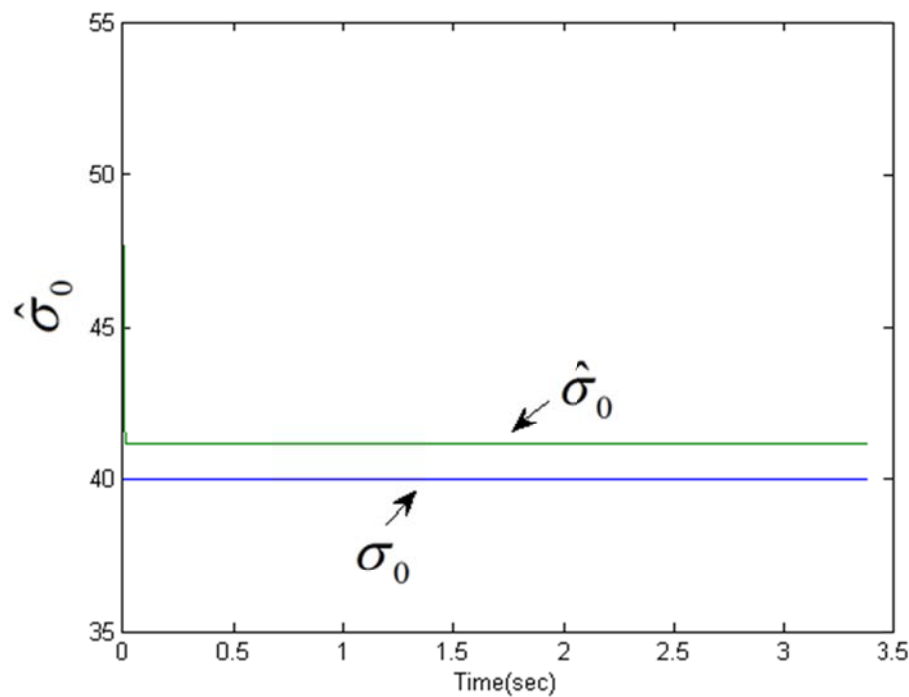
شكل (۱۴-۴) تلاش کنترلی



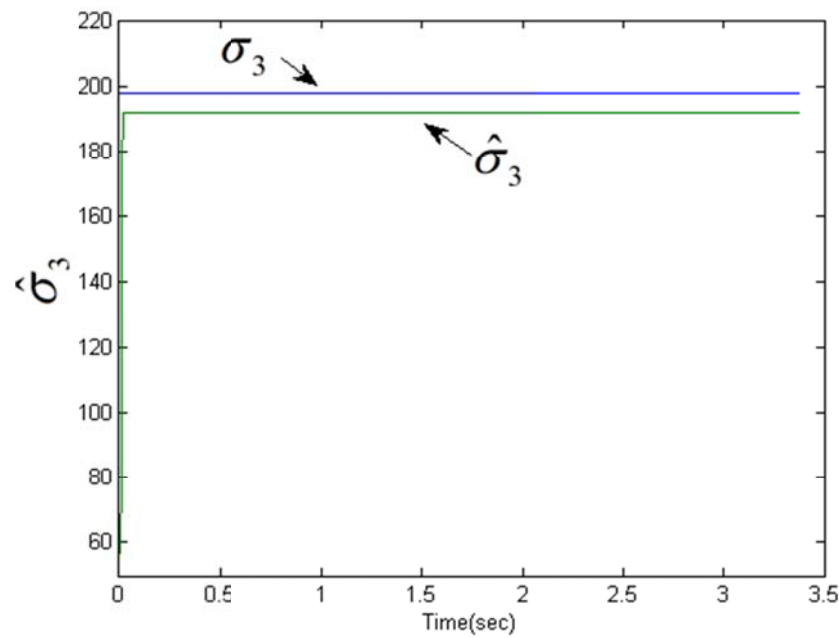
شکل (۱۵-۴) لغزش بهینه تخمین زده شده



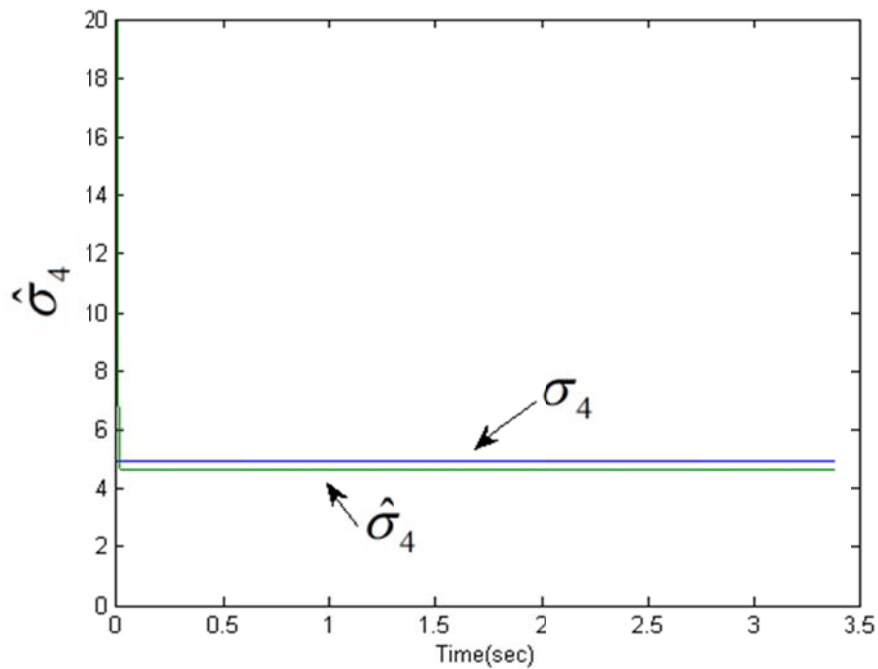
شکل (۱۶-۴) دینامیک داخلی اصطکاک و مقدار تخمین زده آن



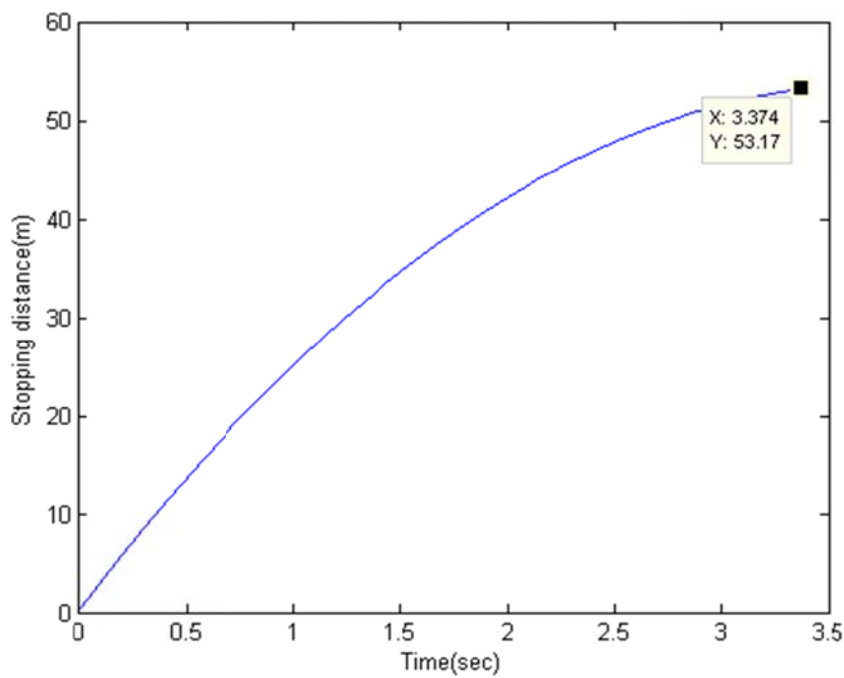
شكل (١٧-٤) تخمین پارامتر σ_0



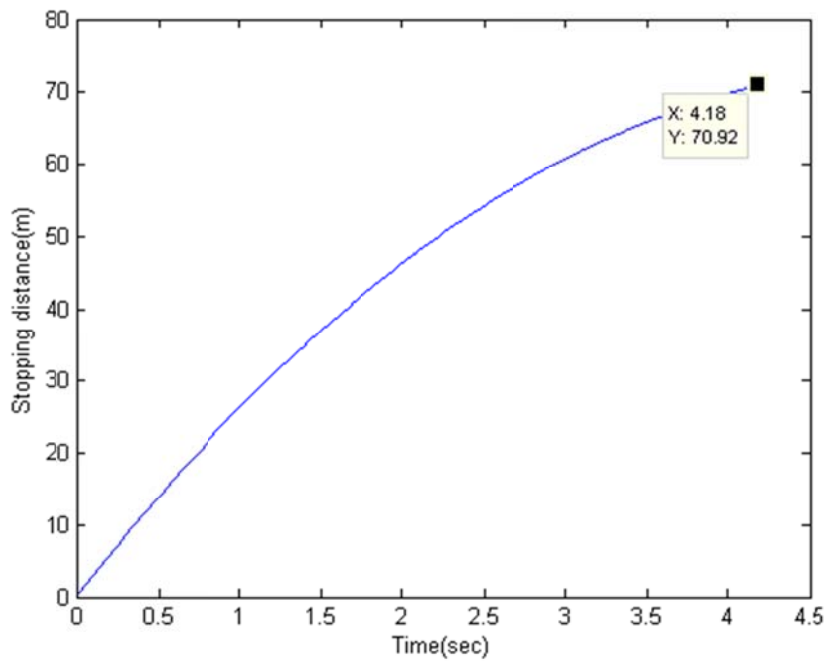
شكل (١٨-٤) تخمین پارامتر σ_3



شكل (۱۹-۴) تخمین پارامتر σ_4



شكل (۲۰-۴) مسافت توقف خودرو با استفاده از ترمز ضد قفل



شکل (۲۱-۴) مسافت توقف خودرو بدون استفاده از ترمز ضد قفل

فصل پنجم

شناسایی سطح جاده، آزاد از مدل

۵-۱ بدست آوردن مقدار لغزش بهینه چرخ

الگوریتم نزول گرادیان^۱، یکی از ساده‌ترین الگوریتم‌های بهینه سازی بر اساس مشتق است، این الگوریتم انتخاب مناسبی برای بدست آوردن مقدار اکسٹرمم یک تابع با تنها یک نقطه اکسٹرمم محلی و جامع می‌باشد، با توجه به اینکه منحنی اصطکاک بر حسب لغزش دارای تنها یک نقطه ماکزیمم محلی و جامع است، از این الگوریتم برای بدست آوردن مقدار لغزش بهینه استفاده می‌کنیم.

برای بدست آوردن مقدار لغزش بهینه چرخ در هنگام ترمزگیری، با استفاده از این روش حداقل اطلاع از مدل اصطکاک نیاز بوده و می‌توان به صورت آزاد از مدل مقدار لغزش بهینه چرخ را بدست آورد. تنها اطلاعات مورد نیاز برای اجرای این الگوریتم محاسبه گرادیان در یک نقطه از منحنی اصطکاک-لغزش می‌باشد که این مقدار با اندازه گیری لغزش چرخ و محاسبه اصطکاک، قابل محاسبه می‌باشد.

الگوریتم نزول گرادیان یک روش بهینه سازی برای پاسخ به مسئله زیر است

$$\max_{s.t. \quad \lambda \in R^n} f(\lambda)$$

که فرض می‌شود $f(\lambda)$ مشتق پذیر است.

در این روش برای بدست آوردن مقدار ماکزیمم از الگوریتم زیر استفاده می‌شود

۱- تعیین حدس اولیه برای پاسخ مسئله λ_0

۲- تعیین جهت جستجو d_k

۳- محاسبه $\lambda_{k+1} = \lambda_k + \alpha_k d_k$

۴- تا بر آورده شدن یک معیار توقف، انجام انجام مراحل ۲ تا ۳ برای $k = 1, 2, \dots$

با انجام این الگوریتم، در هر مرحله یک پاسخ برای مسئله بهینه سازی بدست می‌آید.

برای پیاده‌سازی این روش در کنترل سیستم ترمز ضد قفل، ابتدا یک حدس اولیه از مقدار لغزش بهینه انتخاب می‌کنیم (λ_0)، این مقدار به عنوان ورودی مرجع ($\lambda_d = \lambda_0$) به حلقه کنترل داده می‌شود. اگر تضمین داشته

^۱ Steepest descent(Gradient descent)

باشیم که در زمان محدود سیستم کنترل می‌تواند $e = \lambda - \lambda_d$ را به صفر یا به نقطه‌ای در نزدیکی صفر همگرا کند (که λ لغزش چرخ می‌باشد)، در نتیجه بعد از گذشت زمان محدود می‌توان جهت جستجو d_k را تعیین کرده و سپس مقدار پاسخ جدید $d_{k+1} = \lambda_k + \alpha d_k$ را محاسبه کرد، به عنوان ورودی مرجع جدید به حلقه کنترل داده می‌شود تا زمانی که مقدار خطا صفر شود، و بعد از آن جهت جستجو و مقدار بهینه جدید با استفاده از الگوریتم تعیین می‌شود و این روند تا توقف کامل خودرو ادامه پیدا می‌کند. با انجام این الگوریتم می‌توان گفت که در زمان محدود مقدار لغزش بهینه چرخ بدست آمده و لغزش خودرو در این مقدار بهینه تنظیم می‌شود.

این الگوریتم را می‌توان به صورت زیر بیان کرد:

۱- تعیین حدس اولیه از لغزش مطلوب چرخ λ_0

۲- مقدار ورودی مرجع حلقه کنترل را $\lambda_d = \lambda_0$ قرار می‌دهیم، تا زمانی که $e = \lambda - \lambda_d = 0$ شود (حلقه کنترل باید در زمان محدود این خواسته را برآورده کند)

تا زمان توقف کامل خودرو مراحل ۳ تا ۵ را انجام دهید برای ...
 $k = 1, 2, \dots$

۳- تعیین جهت جستجو جدید به صورت $d_k = \frac{\mu_k - \mu_{k-1}}{\lambda_k - \lambda_{k-1}}$ (که μ ضریب اصطکاک بین تایر و جاده است)

۴- محاسبه $\lambda_d = \lambda_{k+1} = \lambda_k + \alpha d_k$ و قرار دادن

۵- اگر خطای ردیابی $e = \lambda - \lambda_d = 0$ آنگاه برو به ۳.

۲-۵ کنترل مود لغزشی ترمینال

کنترل مود لغزشی از روش‌های موثر برای کنترل سیستم‌های غیرخطی همراه با عدم قطعیت است. از مشکلات مهم استفاده از کنترل لغزشی کلاسیک، همگرایی خطای ردیابی به صورت نمایی می‌باشد.

در کنترل مود لغزشی خطی، سطح لغزش به صورت تابعی خطی از خطا و مشتقات آن تعریف می‌شود. در این روش، دینامیک‌های خطا در زمان محدود به سطح لغزش می‌رسند، اما بعد از آن، در روی سطح لغزش،

دینامیک‌های خطأ در زمانی نامحدود به صفر همگرا می‌شوند. برای افزایش سرعت همگرایی خطأ به صفر می‌توان بهره کننده را افزایش داد، اما این کار باعث افزایش تلاش کنترلی و به اشباع رفتن محرک‌ها می‌شود که در عمل نامطلوب می‌باشد. با استفاده از کنترل مود لغزشی غیرخطی می‌توان این مشکل را برطرف کرده و در زمان محدود دینامیک‌های خطأ را به صفر همگرا کرد. در این روش با انتخاب مناسب سطح لغزش غیرخطی، می‌توان بهره کننده را نسبت به کنترل مود لغزشی خطی کاهش داد.

کنترل مود لغزشی غیرخطی اولین بار در [۶۸, ۶۹] پیشنهاد شده است. از مشکلات پیاده سازی سطح لغزش غیرخطی وجود تکینی در سیگنال کنترل می‌باشد که ممکن است باعث نامحدود شدن سیگنال کنترل شود [۷۰, ۷۱]. برای حل این مشکل در [۷۲, ۷۳] سطوح لغزش اصلاح شده‌ای پیشنهاد شده است.

در سال‌های اخیر استفاده از کنترل مود لغزشی به علت همگرایی سریع و ردیابی دقیق، مورد توجه محققان بسیاری قرار گرفته است، در [۷۴, ۷۳] کنترل مود لغزشی غیرخطی به همراه تقریب‌گرهای فازی و عصبی بر روی بازوهای ربات پیاده سازی شده‌اند. در [۷۵] از کنترل مود لغزشی غیرخطی برای کنترل مبدل‌های DC-DC استفاده شده، در [۷۶] برای سیستم چند ورودی چند خروجی به فرم مرتبه دو، کنترل مود لغزشی فازی تطبیقی طراحی شده است، که همگرایی به ناحیه‌ای در نزدیکی مبدأ در زمان محدود تضمین شده.

در ادامه ابتدا به معرفی چند لم و مقدمات ریاضی برای طراحی کنترل مود لغزشی ترمینال می‌پردازیم، سپس با بیان فرضیات طراحی، کنترل مود لغزشی ترمینال برای سیستم ترمز ضد قفل طراحی می‌کنیم، با توجه به وجود پدیده چترینگ، و عدم توانایی محرک در پاسخ به دامنه و فرکانس سیگنال کنترل، از روش لایه مرزی برای کاهش اثر چترینگ استفاده می‌کنیم، که در داخل لایه مرزی از یک سیستم فازی تطبیقی برای تقریب جمله سوییچینگ استفاده می‌کنیم. با توجه به اینکه در عمل پارامترهای سیستم دارای عدم قطعیت بوده و مقدار دقیق آن‌ها قابل دستیابی نمی‌باشد، طراحی سیستم کنترلی که مستقل از پارامترهای سیستم باشد ارزشمند می‌باشد، در این بخش با معرفی کنترل مود لغزشی غیرخطی تطبیقی، کنترل کننده مود لغزشی غیرخطی تطبیقی برای سیستم ترمز ضد قفل طراحی می‌کنیم. کنترل کننده طراحی شده دارای تضمین همگرایی به ناحیه‌ای در نزدیکی مبدأ در زمان محدود می‌باشد، همچنین روش پیشنهادی مستقل از پارامترهای سیستم بوده و از مشکل چترینگ نیز رنج نمی‌برد.

با توجه به مطالب ارائه شده در بخش (۲) مدل ریاضی سیستم ترمز ضد قفل را می‌توان به صورت زیر در نظر گرفت

$$\begin{aligned} m\dot{v} &= -F_z \mu(\lambda) \\ J\dot{\omega} &= -B\omega + F_z \mu(\lambda)R - u \end{aligned} \quad (1-\Delta)$$

با توجه به تعریف لغزش داریم

$$\begin{aligned} \lambda &= \frac{v - R\omega}{v} \\ \dot{\lambda} &= -\frac{R\dot{\omega}}{v} + \frac{R\omega\dot{v}}{v^2} \\ &= \frac{-R}{vJ} [\mu(\lambda)F_z R - B\omega - u] + \frac{R\omega}{mv^2} (-\mu(\lambda)F_z) \\ \Rightarrow \dot{\lambda} &= \frac{B(1-\lambda)}{J} - \frac{R^2 F_z \mu(\lambda)}{vJ} - \frac{(1-\lambda)}{vm} F_z \mu(\lambda) + \frac{R}{vJ} u \\ \Rightarrow \dot{\lambda} &= \left[\begin{array}{ccc} \frac{B}{J} & \frac{R^2}{J} & \frac{1}{m} \end{array} \right] \begin{bmatrix} 1-\lambda \\ \frac{-F_z \mu(\lambda)}{v} \\ -\frac{(1-\lambda)F_z \mu(\lambda)}{v} \end{bmatrix} + \frac{R}{J} \left(\frac{u}{v} \right) = f(\lambda) + \psi w = \theta^T \phi + \psi w \end{aligned} \quad (2-\Delta)$$

که در آن

$$\theta^T = \left[\begin{array}{ccc} \frac{B}{J} & \frac{R^2}{J} & \frac{1}{m} \end{array} \right], \phi = \begin{bmatrix} 1-\lambda \\ \frac{-F_z \mu(\lambda)}{v} \\ -\frac{(1-\lambda)F_z \mu(\lambda)}{v} \end{bmatrix}$$

$$\psi = \frac{R}{J}, w = \frac{u}{v}$$

۱-۲-۵ مقدمات ریاضی

لم ۱-۵ [۷۷] : با فرض سیستم به صورت

$$\dot{x} = f(x), \quad f(0) = 0, \quad x \in R^n \quad (3-5)$$

که $f : D \rightarrow R^n$ در بازه $D \subset R^n$ پیوسته است. با فرض وجودتابع مثبت معین مشتق پذیر پیوسته $p_1 > 0, 0 < p_2 < 1$ و اعداد حقیقی $V(x) : D \rightarrow R$

$$\dot{V}(x) + p_1 V^{p_2}(x) \leq 0, \quad \forall x \in D.$$

آنگاه مبدأ سیستم (3-5)، نقطه تعادل پایدار موضعی زمان محدود، می باشد. و زمان نشست، که وابسته به شرایط اولیه $x(0) = x_0$ است، به صورت زیر بدست می آید:

$$T(x_0) \leq \frac{V^{1-p_2}(x_0)}{p_1(1-p_2)}$$

همچنین اگر $D = R^n$ و $V(x) \rightarrow \infty$ as $\|x\| \rightarrow \infty$ باشد.

لم ۲-۵ [۷۸]: با فرض a_1, a_2, \dots, a_n و $0 < q < 2$ همگی اعداد حقیقی باشند، آنگاه نامعادله زیر برقرار است

$$|a_1|^q + |a_2|^q + \dots + |a_n|^q \geq (a_1^2 + a_2^2 + \dots + a_n^2)^{\frac{q}{2}}$$

۳-۵ کنترل تطبیقی ترمینال مود لغزشی

با تعریف لغزش مطلوب به صورت λ_d ، خطای ردیابی $e = \lambda - \lambda_d$ و پیشنهاد سطح لغزش غیرخطی به صورت

$$S(t) = ce(t) + \int_0^t \text{sgn}(e(\tau)) |e(\tau)|^\alpha d\tau \quad (4-5)$$

که در آن ثابت های $c > 0, 0 < \alpha < 1$

قضیه ۵-۱. با در نظر گرفتن سطح لغزش (۱-۵)، زمانی که دینامیک‌های خطا بر روی سطح لغزش قرار دارند ($S = 0$) آنگاه خطا در زمان محدود T_s به صفر همگرا می‌شود. این زمان به صورت زیر بدست می‌آید

$$T_s \leq \frac{c(0.5e^2(0))^{\frac{1-\alpha}{2}}}{(1-\alpha)2^{\frac{\alpha-1}{2}}}$$

اثبات: با در نظر گرفتن تابع مثبت معین زیر داریم

$$V = \frac{1}{2} e^2 \quad (5-5)$$

با مشتق‌گیری نسبت به زمان از (5-5) داریم:

$$\dot{V} = e \dot{e} \quad (6-5)$$

با توجه به اینکه بر روی سطح لغزش

$$\begin{aligned} S &= ce + \int_0^t \operatorname{sgn}(e) |e|^\alpha d\tau = 0 \\ \Rightarrow \dot{S}(t) &= c\dot{e} + \operatorname{sgn}(e) |e|^\alpha = 0 \\ \Rightarrow \dot{e} &= -\frac{1}{c} \operatorname{sgn}(e) |e|^\alpha \end{aligned} \quad (7-5)$$

با جایگذاری (7-5) در (6-5) داریم

$$\begin{aligned} \dot{V} &= e \left(-\frac{1}{c} \operatorname{sgn}(e) |e|^\alpha \right) = e \left(-\frac{1}{c} \frac{|e|}{e} |e|^\alpha \right) \\ \dot{V} &= -\frac{1}{c} |e|^{\alpha+1} \leq -2^{\frac{\alpha+1}{2}} \frac{1}{c} \left(\frac{1}{2} e^2 \right)^{\frac{\alpha+1}{2}} = -2^{\frac{\alpha+1}{2}} \frac{1}{c} V^{\frac{\alpha+1}{2}} \end{aligned}$$

در نتیجه با استفاده از لم (2-5) می‌توان گفت که بر روی سطح لغزش، خطا e در زمان محدود به صفر همگرا شده و این زمان برابر است با

$$T_s \leq \frac{c(0.5e^2(0))^{\frac{1-\alpha}{2}}}{(1-\alpha)2^{\frac{\alpha-1}{2}}}$$

۱-۳-۵ کنترل مود لغزشی غیرخطی

کنترل مود لغزشی را می‌توان به دو فاز تقسیم کرد، فاز رسیدن به سطح لغزش زمانی که $S \neq 0$ و فاز لغزش زمانی که $S = 0$ باشد. شرط لازم برای رسیدن به فاز لغزش، انتخاب قانون کنترل به نحوی است که

$$\dot{S} \leq -\eta |S|, \quad \eta > 0$$

با توجه به دو فاز در کنترل مود لغزشی، قانون کنترل شامل دو جمله می‌باشد، در فاز لغزش داریم $\dot{S} = 0$ در نتیجه قانون کنترل معادل برای نگه داشتن حالتها بر روی سطح لغزش طراحی می‌شود، در فاز رسیدن به سطح لغزش که $S \neq 0$ است، جمله سویچینگ برای تضمین شرط لغزشی به قانون کنترل افزوده می‌شود. قانون کنترل مود لغزشی به صورت زیر می‌باشد

$$u = u_{eq} - u_{sw}$$

$$\text{که در آن } u_{sw} = \eta_\Delta \operatorname{sgn}(S), \quad \eta_\Delta \geq \eta \text{ است.}$$

حال قانون کنترلی پیشنهاد می‌دهیم که بتواند دینامیک‌های خطای خطا را در زمانی محدود به سطح لغزش برساند و بر روی سطح لغزش نگه دارد.

با استفاده از سطح لغزش (۴-۵) و مدل ریاضی سیستم ترمز به صورت (۲-۵) و وجود عدم قطعیت در f به صورت زیر

$$|f - \hat{f}| \leq \Delta$$

ابتدا قانون کنترل معادل برای نگه داشتن حالتها بر روی سطح لغزش به صورت زیر بدست می‌آید

$$\begin{aligned} \dot{S} &= c\dot{e} + |e|^\alpha \operatorname{sgn}(e) = 0 \\ &= c(\hat{f} + \psi u_{eq} - \dot{\lambda}_d) = -|e|^\alpha \operatorname{sgn}(e) \\ \Rightarrow u_{eq} &= \psi^{-1} \left(-\frac{1}{c} |e|^\alpha \operatorname{sgn}(e) - \hat{f} + \dot{\lambda}_d \right) \end{aligned}$$

حال با پیشنهاد تابع مثبت معین زیر داریم

$$V = \frac{1}{2} S^2$$

با مشتق‌گیری و اعمال شرط زیر

$$\dot{V} \leq -\eta |S|$$

همگرایی به سطح لغزش در زمان محدود T تضمین می‌شود.

$$T_r \leq \frac{|S(t=0)|}{\eta}$$

با پیشنهاد قانون کنترل به صورت زیر

$$u = u_{eq} + u_{ht} = u_{eq} - \eta_\Delta \operatorname{sgn}(S)$$

$$\begin{aligned}\dot{V} &\leq -\eta |S| \\ \dot{V} &= S(c\dot{e} + |e|^\alpha \operatorname{sgn}(e)) \leq -\eta |S| \\ \Rightarrow \operatorname{sgn}(S)(c[f + \psi(u_{eq} - \eta_\Delta \operatorname{sgn}(S)) - \dot{\lambda}_d] + |e|^\alpha \operatorname{sgn}(e)) &\leq -\eta \\ \Rightarrow \operatorname{sgn}(S)(cf - |e|^\alpha \operatorname{sgn}(e) - c\hat{f} + c\dot{\lambda}_d - c\psi\eta_\Delta \operatorname{sgn}(S) - c\dot{\lambda}_d + |e|^\alpha \operatorname{sgn}(e)) &\leq -\eta \\ \Rightarrow \operatorname{sgn}(S)(c\Delta) - c\psi\eta_\Delta &\leq -\eta \\ \Rightarrow \eta_\Delta &\geq \frac{1}{c\psi}\eta + \frac{\Delta}{\psi}\end{aligned}$$

در نهایت قانون کنترل به صورت زیر بدست می‌آید

$$u = \psi^{-1}\left(-\frac{1}{c}|e|^\alpha \operatorname{sgn}(e) - \hat{f} + \dot{\lambda}_d\right) + \left(\frac{1}{c\psi}\eta + \frac{\Delta}{\psi}\right)\operatorname{sgn}(S) \quad (8-5)$$

در ادامه با استفاده از شبیه سازی به بررسی عملکرد این کنترل کننده می‌پردازیم.

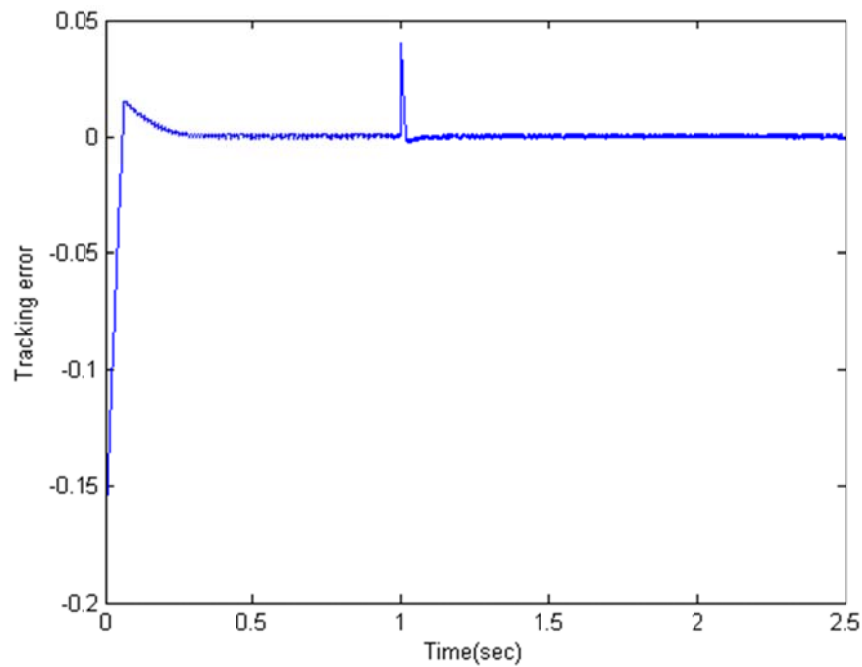
با فرض ترمزگیری در جاده مسطح و در مسیری مستقیم، با سرعت اولیه $v = 30m/s$ ، و تغییر سطح جاده از آسفالت خشک به آسفالت خیس بعد از گذشت $25m$ و استفاده از قانون کنترل (8-5) شبیه سازی را اجرا می‌کنیم.

پارامترهای کنترل کننده به صورت زیر انتخاب شده‌اند

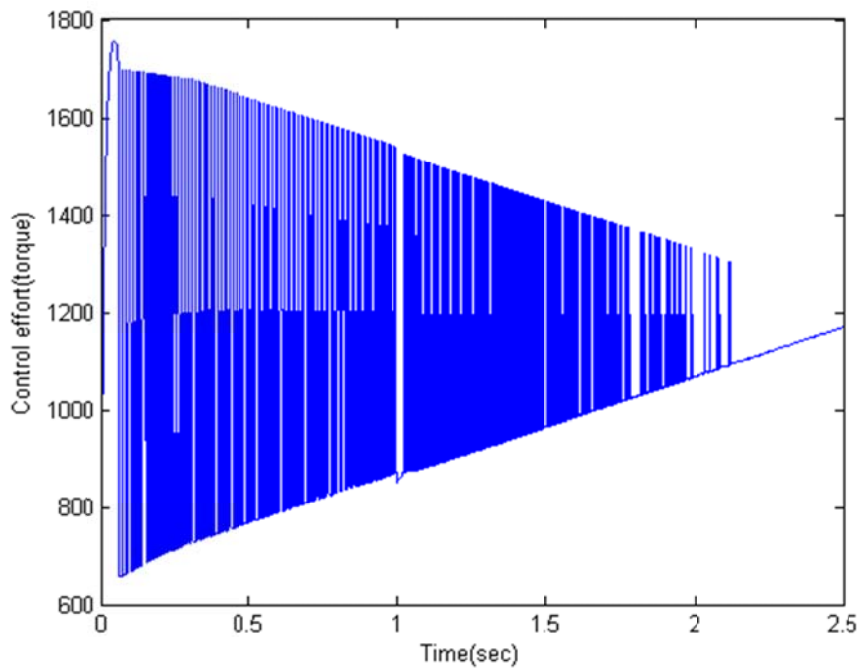
$$\alpha = 0.5, c = 1, \eta = 2, \Delta = 0.6$$

شبیه سازی با فرض مشخص بودن نوع جاده انجام شده و فرض می‌کنیم، نوع جاده معلوم بوده و مقدار لغزش بهینه آن نیز در دسترس است همچنین الگوریتم ترمز ضد قفل، تا زمانی که سرعت خطی خودرو $v = 3m/s$ اجرا می‌شود. عدم قطعیت تنها در نیروی عمودی F_z در نظر گرفته شده است، به طوری که $|f - \hat{f}| \leq 0.6$.

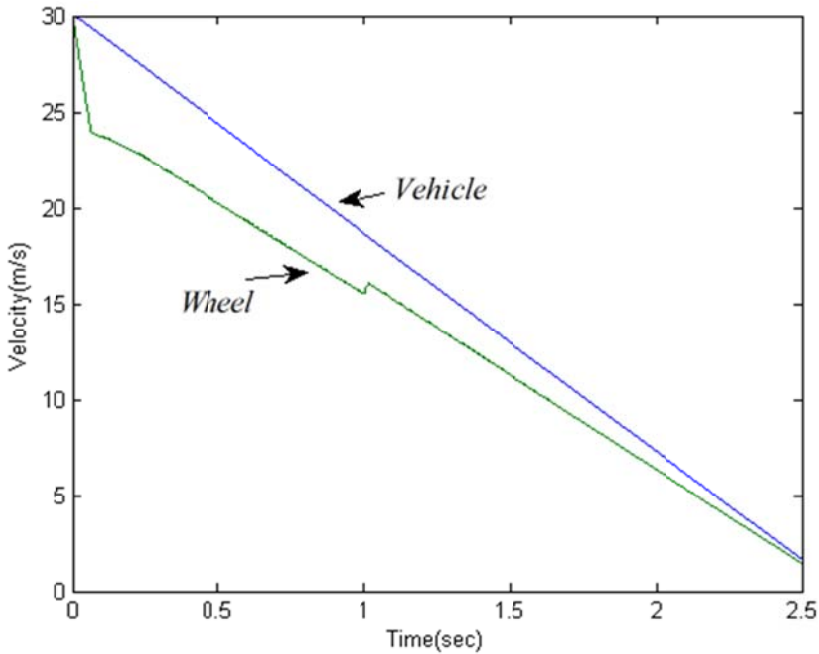
در شکل (۱-۵) عملکرد ردیابی مشاهده می‌شود



شکل (۱-۵) عملکرد ردیابی



شکل (۲-۵) تلاش کنترلی



شکل (۳-۵) سرعت خودرو و چرخ

با توجه به تلاش کنترلی، دیده می‌شود که سیگنال کنترل دارای نوسانات بسیار شدیدی می‌باشد که باید برطرف شود. با توجه به وجود چترينگ در سیگنال کنترل، و نوسانات موجود در سیستم اولاً برای اینکه محرک توانایی پاسخ به سیگنال کنترل را داشته و ثانیاً بتوان از الگوریتم پیشنهادی برای بدست آوردن مقدار لغزش استفاده کرد، از ویژگی سیستم‌های فازی در تقریب هرتابع غیرخطی [۲۵] استفاده می‌کنیم، در این روش با استفاده از یک سیستم فازی جمله سویچینگ که شامل جمله $\text{sgn}(\cdot)$ در قانون کنترل می‌شود را توسط سیستم فازی تطبیقی تخمین می‌زنیم.

وجود جمله ناپیوسته در قانون کنترل، باعث بوجود آمدن پدیده چترينگ می‌شود، چترينگ به عنوان نوسانات با دامنه و فرکانس محدود تعریف شده [۷۹] که باعث کاهش دقت در کنترل، تحریک دینامیک‌های فرکانس بالا آسیب به محرک و سیستم می‌شود. روش‌های بسیاری برای کاهش چترينگ پیشنهاد شده است، یکی از روش‌های کاهش چترينگ استفاده از یک لایه مرزی نازک در نزدیکی سطح لغزش می‌باشد [۶۷، ۸۰]، اینکار با جایگزینی تابع اشباع به جای تابع علامت در قانون کنترل حاصل می‌شود.

استفاده از این روش لایه مرزی باعث قربانی کردن دقت در ازای کاهش چترينگ می‌باشد، می‌توان برای افزایش دقت ردیابی در داخل سطح لغزش، جمله سویچینگ را توسط یک کنترل‌کننده تقریب زد، در [۸۱] برای حذف چترينگ، از یک لایه مرزی در نزدیکی سطح لغزش استفاده شده و در داخل لایه مرزی برای افزایش دقت

ردیابی از کنترل کننده تناسبی-انتگرالی استفاده شده است، در [۸۲] جمله سوییچینگ در داخل لایه مرزی با یک سیستم فازی تطبیقی تقریب زده می‌شود، و در زمانی که حالت‌ها خارج از لایه مرزی هستند، در مقدار اشباع نگه داشته می‌شود. در ادامه برای کاهش اثر چتربینگ از روش لایه مرزی و تقریب جمله سوییچینگ در لایه مرزی توسط سیستم فازی تطبیقی استفاده می‌کنیم.

برای تقریب جمله سوییچینگ در لایه مرزی از یک سیستم فازی تاکاگی-سوگنو مرتبه صفر با یک ورودی گه در بخش ۳-۱-۲ ارائه گردید استفاده می‌کنیم.

جمله سوییچینگ در داخل لایه مرزی به صورت زیر با سیستم فازی تقریب زده می‌شود

$$\hat{u}_{sw}(S) = \theta_{sw}^T \zeta(S) \quad (10-5)$$

بردار پارامترهای بهینه به صورت

$$\theta_{sw}^* = \arg \min_{\theta \in R} \left[\sup_{S \in R} |\hat{u}_{sw}(S | \theta) - u_{sw}(S)| \right]$$

تعریف می‌شوند، همچنین خطای تقریب سیستم فازی به صورت زیر بدست می‌آید

$$\varepsilon = \hat{u}_{hit}(S | \theta_{sw}^*) - u_{sw}(S)$$

۴-۵ کنترل مود لغزشی غیرخطی تطبیقی

برای طراحی کنترل کننده در این قسمت فرض کردیم که بردارهای پارامتر نامعلوم $\theta_{hit}, \theta_f, \psi$ ، دارای باند محدود و معلوم می‌باشند.

$$\|\theta_f\| \leq D_f$$

$$\|\theta_{hit}\| \leq D_{hit}$$

$$\|\psi\| \leq D_\psi$$

که در آن $\|\cdot\|$ به معنای نرم دو می‌باشد.

با توجه به سیستم (۲-۵) و نامعلوم فرض کردن پارامترهای سیستم، قانون کنترل را به صورت زیر پیشنهاد می‌دهیم

$$u = \frac{1}{\hat{\psi}} (\dot{\lambda}_d - \hat{\theta}^T \varphi + \eta_{\Delta} (\|\theta_f\| + D_f + \|\theta_{sw}\| + D_{sw} + \|\psi\| + D_{\psi}) \frac{1}{S} + \hat{u}_{sw} + \frac{1}{c} \operatorname{sgn}(e) |e|^{\alpha}) \quad (11-5)$$

در نتیجه داریم

$$\dot{\lambda}_d = \hat{\theta}^T \varphi + \hat{\psi} u - \eta_{\Delta} (\|\theta_f\| + D_f + \|\theta_{sw}\| + D_{sw} + \|\psi\| + D_{\psi}) \frac{S}{S^2} - \hat{u}_{sw} - \frac{1}{c} \operatorname{sgn}(e) |e|^{\alpha}$$

و با توجه به اینکه معادله سیستم ترمز به صورت پارامتریزه شده زیر می‌باشد

$$\dot{\lambda} = \theta^T \varphi + \psi u$$

با تعریف خطابه صورت $e = \lambda_d - \lambda$ دینامیک خطابی حلقه بسته به صورت زیر بدست می‌آید

$$\dot{e} = \tilde{\theta}^T \varphi + \tilde{\psi} u - \eta_{\Delta} (\|\theta_f\| + D_f + \|\theta_{sw}\| + D_{sw} + \|\psi\| + D_{\psi}) \frac{S}{S^2} - \hat{u}_{sw} - \frac{1}{c} \operatorname{sgn}(e) |e|^{\alpha} \quad (11-5)$$

همچنین داریم

$$S = ce + \int_0^t \operatorname{sgn}(e) |e|^{\alpha} d\tau$$

$$\Rightarrow \dot{S} = c\dot{e} + \operatorname{sgn}(e) |e|^{\alpha} =$$

$$c\tilde{\theta}^T \varphi + c\tilde{\psi} u - c\eta_{\Delta} (\|\theta_f\| + D_f + \|\theta_{sw}\| + D_{sw} + \|\psi\| + D_{\psi}) \frac{S}{S^2} - c\hat{u}_{sw} \quad (12-5)$$

با پیشنهاد تابع مثبت معین زیر داریم

$$V = \frac{1}{2} S^2 + \frac{1}{2} \tilde{\theta}_f^T \tilde{\theta}_f + \frac{1}{2} \tilde{\psi}^2 + \frac{1}{2} \tilde{\theta}_{sw}^T \tilde{\theta}_{sw} \quad (13-5)$$

با مشتق‌گیری نسبت به زمان از (۱۳-۵) داریم

$$\dot{V} = S\dot{S} + \tilde{\theta}_f^T \dot{\tilde{\theta}}_f + \tilde{\psi} \dot{\tilde{\psi}} + \tilde{\theta}_{sw}^T \dot{\tilde{\theta}}_{sw} \quad (14-5)$$

با جایگذاری از (۱۲-۵) در (۱۴-۵) داریم

$$\dot{V} = S(c\tilde{\theta}^T \varphi + c\tilde{\psi} u - c\eta_{\Delta}(\|\theta_f\| + D_f + \|\theta_{sw}\| + D_{sw} + \|\psi\| + D_{\psi}) \frac{S}{S^2} - c\hat{\theta}_{sw}^T \zeta(S) + c\theta_{sw}^T \zeta(S) - c\theta_{sw}^T \zeta(S)) + \tilde{\theta}_f^T \dot{\theta}_f + \tilde{\psi} \dot{\psi} + \tilde{\theta}_{sw}^T \dot{\theta}_{sw}$$

با انتخاب قوانین تطبیق به صورت

$$\begin{aligned} \dot{\hat{\theta}}_f &= -Sc\varphi \\ \dot{\hat{\psi}} &= -Scu \\ \dot{\hat{\theta}}_{sw} &= Sc\zeta(S) \end{aligned} \quad (15-5)$$

داریم

$$\begin{aligned} \dot{V} &= S(-c\eta_{\Delta}(\|\theta_f\| + D_f + \|\theta_{sw}\| + D_{sw} + \|\psi\| + D_{\psi}) \frac{S}{S^2} - c\theta_{sw}^T \zeta(S)) \\ &= -c\eta_{\Delta}(\|\theta_f\| + D_f + \|\theta_{sw}\| + D_{sw} + \|\psi\| + D_{\psi}) - Sc\theta_{sw}^T \zeta(S) \end{aligned}$$

$$\dot{V} \leq -c\eta_{\Delta}(\|\theta_f\| + D_f + \|\theta_{sw}\| + D_{sw} + \|\psi\| + D_{\psi}) - Sc\eta_{\Delta} \operatorname{sgn}(S)$$

با توجه به فرض طراحی و از آنجایی که در نتیجه داریم $\|\hat{\theta}_f - \theta_f\| \leq \|\hat{\theta}_f\| + \|\theta_f\| \leq \|\hat{\theta}_f\| + D_f$ و $\|\hat{\theta}_{sw} - \theta_{sw}\| \leq \|\hat{\theta}_{sw}\| + \|\theta_{sw}\| \leq \|\hat{\theta}_{sw}\| + D_{sw}$

$$\dot{V} \leq -|S|c\eta_{\Delta} - c\eta_{\Delta}(\|\hat{\theta}_f - \theta_f\| + \|\hat{\psi} - \psi\| + \|\hat{\theta}_{sw} - \theta_{sw}\|)$$

و با استفاده از لم (2-5) می‌توان نوشت

$$\dot{V} \leq -\sqrt{2}c\eta_{\Delta}[\frac{1}{2}|S|^2 - \frac{1}{2}\|\hat{\theta}_f - \theta_f\|^2 + \frac{1}{2}\|\hat{\psi} - \psi\|^2 + \frac{1}{2}\|\hat{\theta}_{sw} - \theta_{sw}\|^2]^{0.5} = -\sqrt{2}c\eta_{\Delta}V^{0.5}$$

در نتیجه با استفاده از لم (5-1) می‌توان نتیجه گرفت که قانون کنترل (11-5) همراه با قوانین تطبیقی (16-5) همگرایی به سطح لغزش در زمان محدود را تضمین می‌کند، که زمان رسیدن به سطح لغزش به صورت زیر بدست می‌آید

$$T_r \leq \frac{\sqrt{2}([\frac{1}{2}|S(0)|^2 - \frac{1}{2}\|\hat{\theta}_f(0) - \theta_f\|^2 + \frac{1}{2}\|\hat{\psi}(0) - \psi\|^2 + \frac{1}{2}\|\hat{\theta}_{sw}(0) - \theta_{sw}\|^2]^{0.5})}{c\eta_{\Delta}}$$

که در نهایت اثبات شد که در زمان محدود $T = T_r + T_s$ خطای ردیابی سیستم به صفر همگرا می‌شود.

می‌توان قانون کنترل را به صورت زیر بیان کرد

$$u = \frac{1}{\hat{\psi}} (\dot{\lambda}_d - \hat{\theta}^T \varphi + \eta_\Delta (\|\theta_f\| + D_f + \|\theta_{sw}\| + D_{sw} + \|\psi\| + D_\psi) \frac{S}{S^2} + \hat{u}_{sw} + \frac{1}{c} \text{sgn}(e) |e|^\alpha) \quad (16-5)$$

که در آن از قوانین تطبیق زیر استفاده شده است.

$$\begin{aligned} \dot{\hat{\theta}}_f &= -Sc\varphi \\ \dot{\hat{\psi}} &= -Scu \\ \dot{\hat{\theta}}_{sw} &= Sc\zeta(S) \end{aligned} \quad (17-5)$$

۵-۵ نتایج شبیه سازی

با فرض ترمزگیری در جاده مسطح و در مسیری مستقیم، با سرعت اولیه $v = 30m/s$ ، و تغییر سطح جاده از آسفالت خشک به آسفالت خیس بعد از گذشت $25m$ و استفاده از قانون کنترل (۱۶-۵) و قوانین تطبیق (۱۷-۵) شبیه‌سازی را اجرا می‌کنیم.

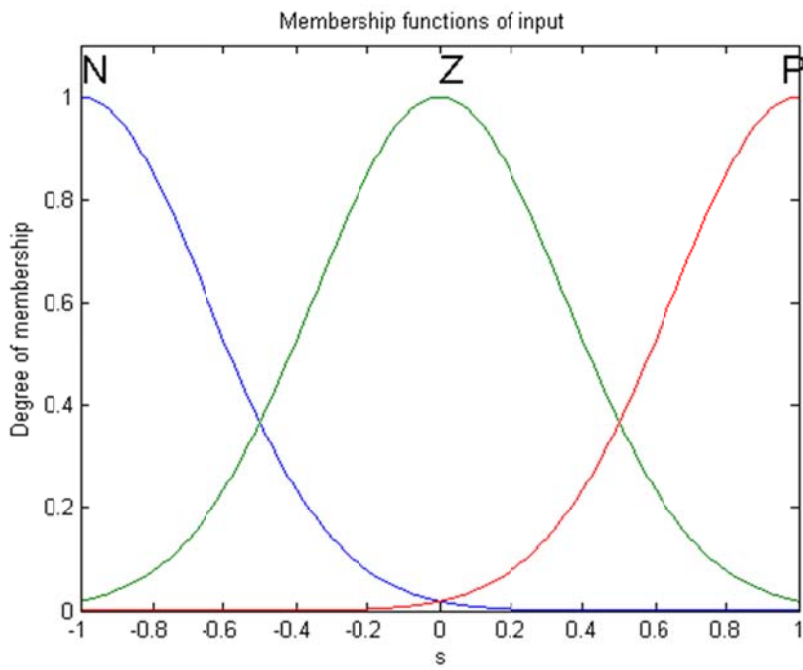
پارامترهای کنترل کننده به صورت زیر انتخاب شده‌اند

$$\alpha = 0.5, c = 1, \eta_\Delta = 2, \phi = 0.001$$

$$\hat{\theta}_f(0) = [0 \ 0 \ 0]^T, \hat{\psi}(0) = rand, \hat{\theta}_{sw}(0) = [0 \ 0 \ 0]^T$$

$$D_f = D_\psi = 0.1, D_{hit} = 0.5$$

با توجه به قانون کنترل باید $\hat{\psi}(0) \neq 0$ ، در نتیجه مقدار اولیه آن را به صورت $\hat{\psi}(0) = rand$ انتخاب شده است. سیستم فازی دارای سه قانون با توابع تعلق ورودی به شکل زیر می‌باشد

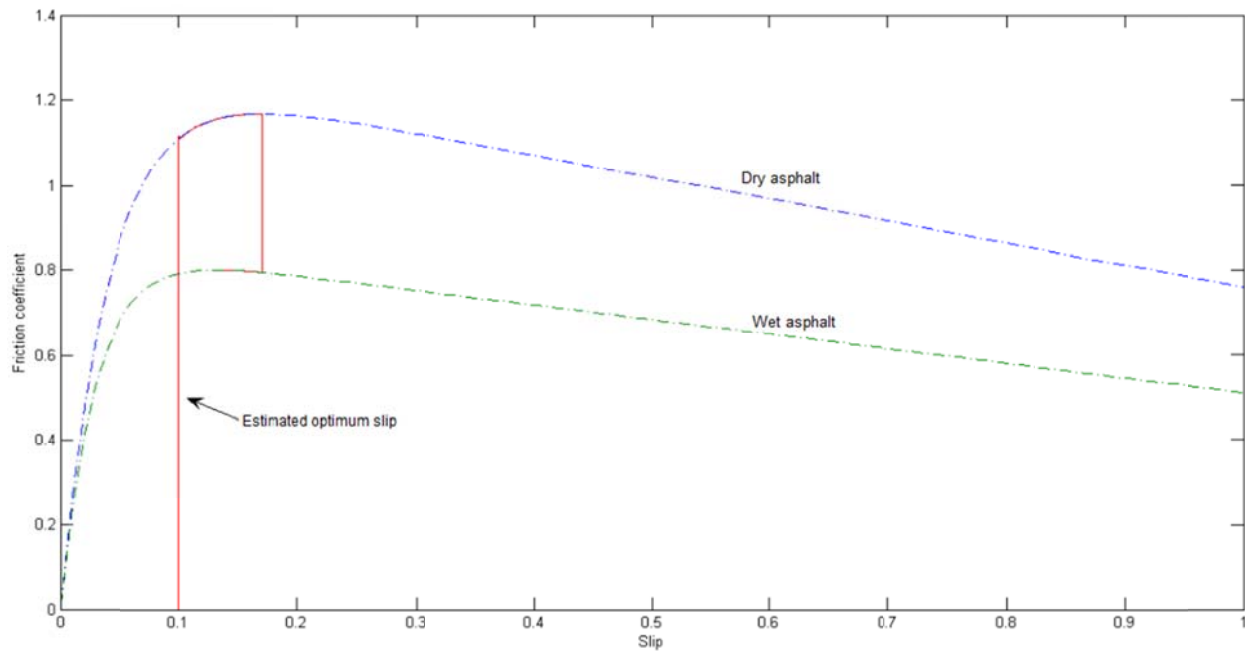


شکل (۴-۵) تولع تعلق ورودی سیستم فازی

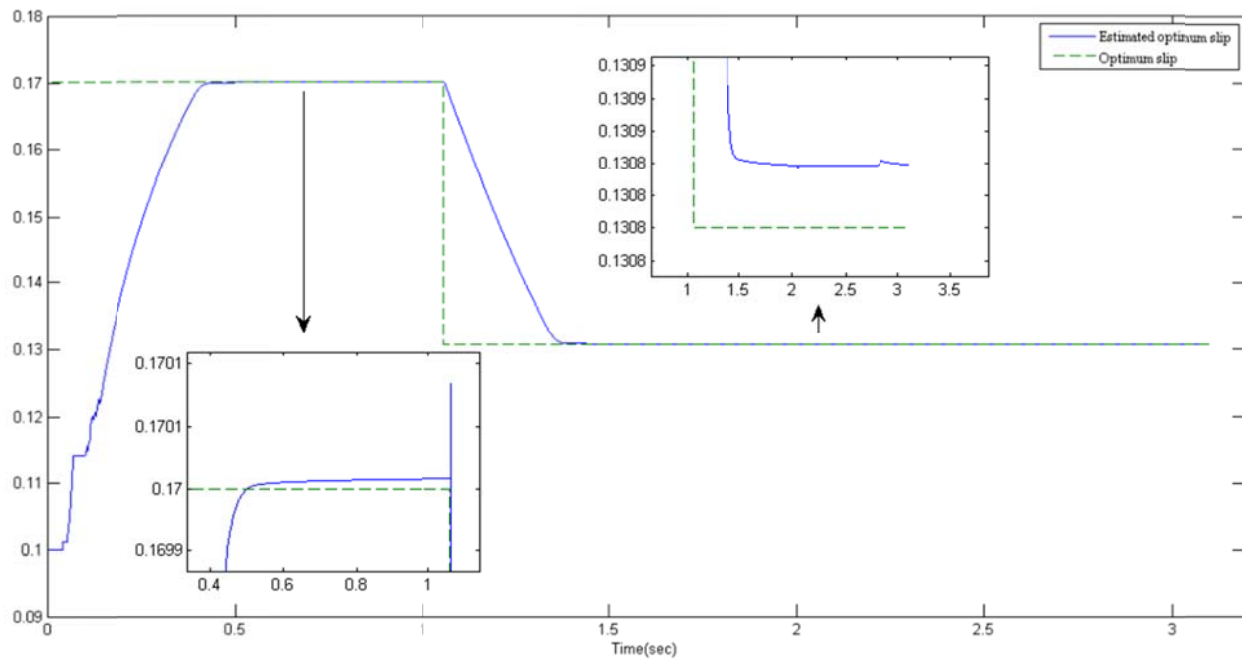
در الگوریتم گرادیان نزولی برای تخمین مقدار لغزش بهینه طول گام ثابت فرض شده و برابر با $\alpha_k = 0.0001$ انتخاب شده است که این مقدار با سعی و خطا انتخاب شده است، حدس اولیه برای تمام شبیه سازی‌ها برای مقدار لغزش بهینه $\lambda_d(0) = 0.1$ انتخاب شده است. برای اجرای الگوریتم گرادیان نزولی خطای رديابی صفر را در $e = \lambda - \lambda_d = 10^{-3}$ قرار می‌دهیم و زمانی که خطای رديابی به این مقدار برسد الگوریتم گرادیان نزولی به گام بعدی برای تخمین مقدار لغزش بهینه می‌رود.

با انجام شبیه سازی عملکرد الگوریتم گرادیان نزولی برای تخمین سطح جاده به صورت زیر بدست می‌آید.

با توجه (۵) دیده می‌شود که در ابتدا که خودرو در سطح جاده آسفالت خشک است مقدار لغزش بهینه با دقیقت مناسبی بدست آمده سپس با تغییر سطح جاده به آسفالت خیس لغز بهینه تخمین زده شده به سمت لغزش بهینه دقیق، همگرا شده است.

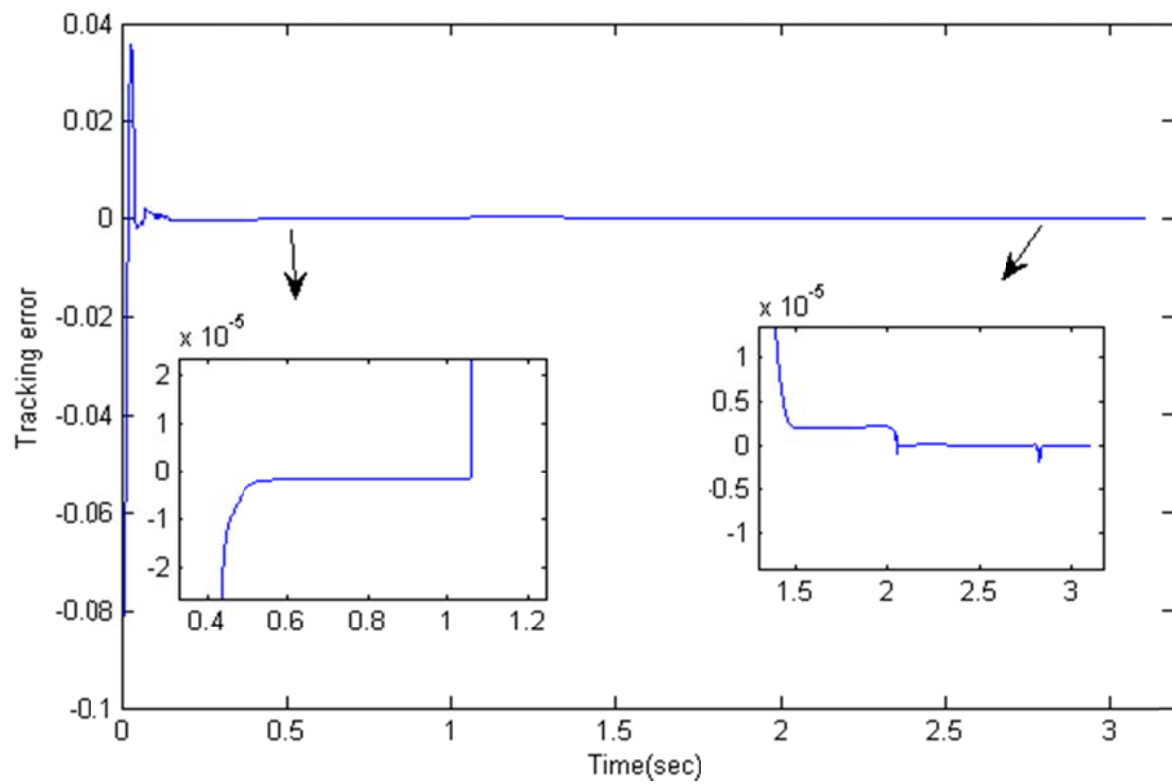


شکل (۵-۵) تخمین لغزش بهینه

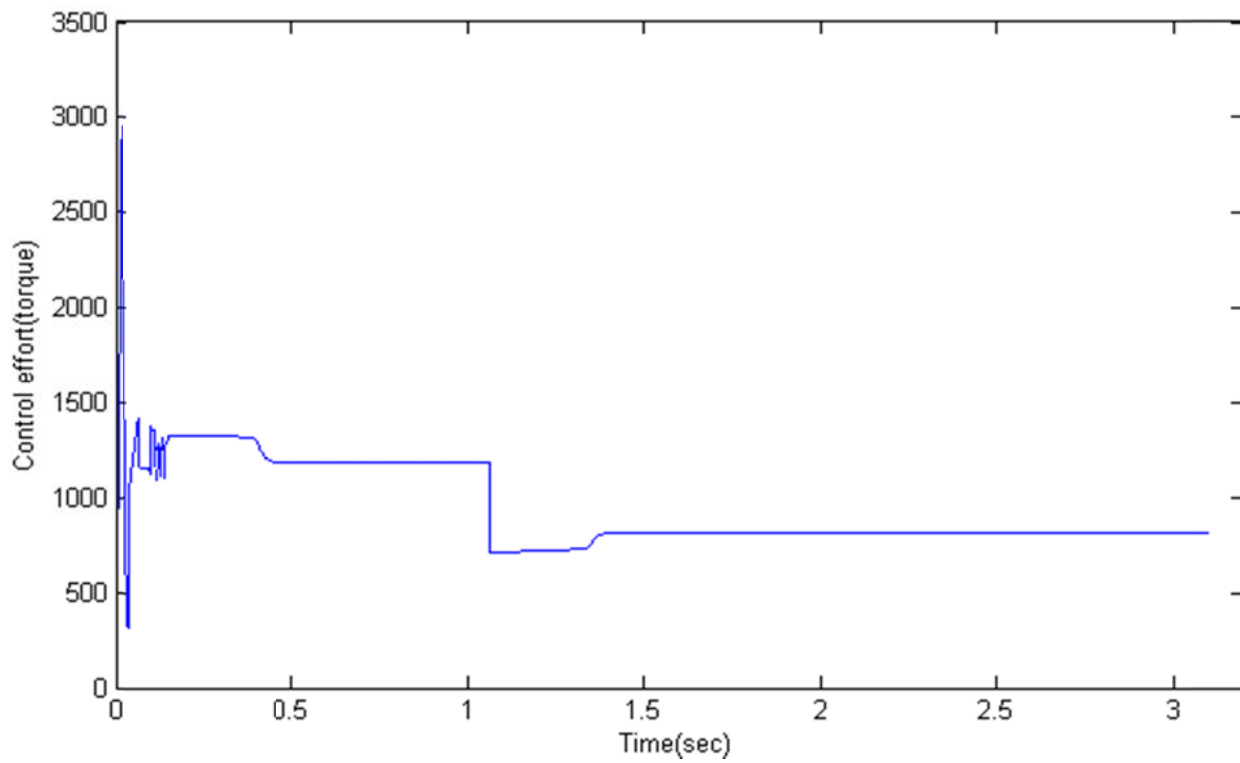


شکل (۶-۵) تخمین لغزش بهینه

با توجه به شکل (۵-۶) دیده می‌شود که نوع سطح جاده مقدار لغزش بهینه مربوط به آن با دقت مناسبی، بعد از گذشت زمان کوتاهی بدست آمده است. عملکرد ردیابی حلقه کنترل در شکل (۷-۵) مشاهده می‌شود، که خطای در زمان محدودی کمتر از 10^{-5} می‌شود.

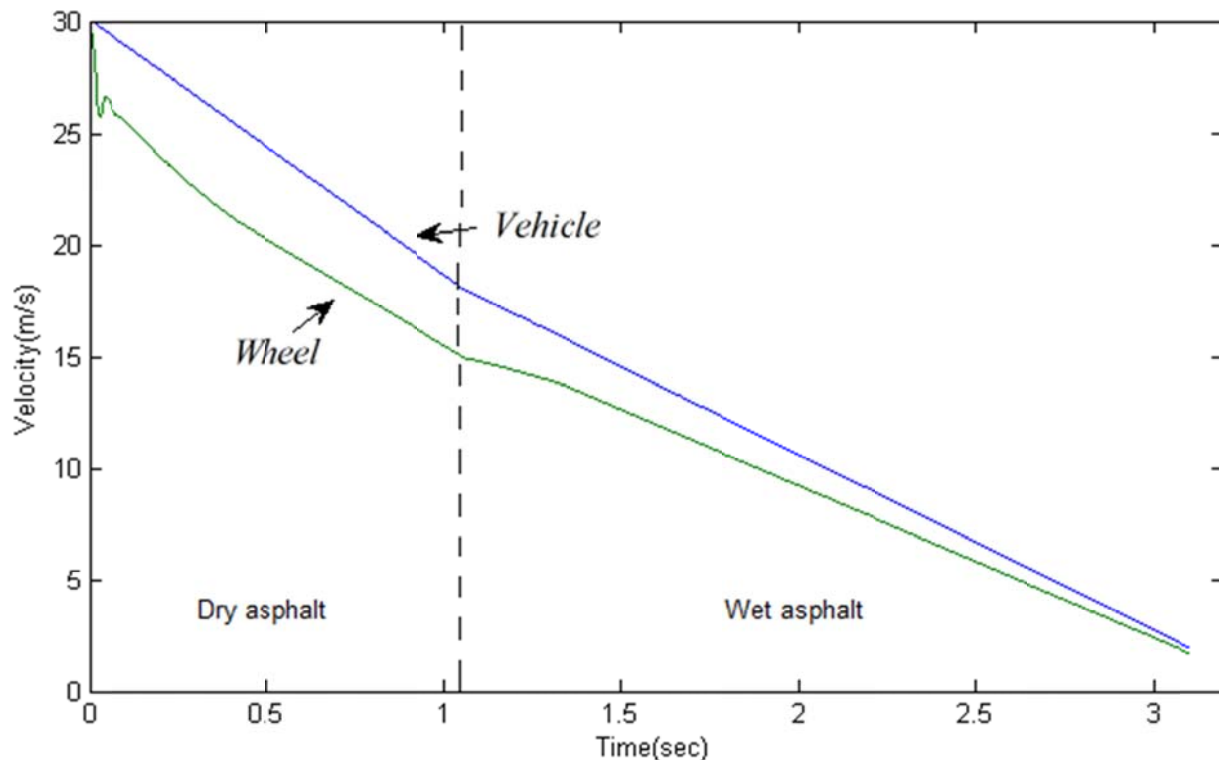


شکل (۷-۵) عملکرد ردیابی

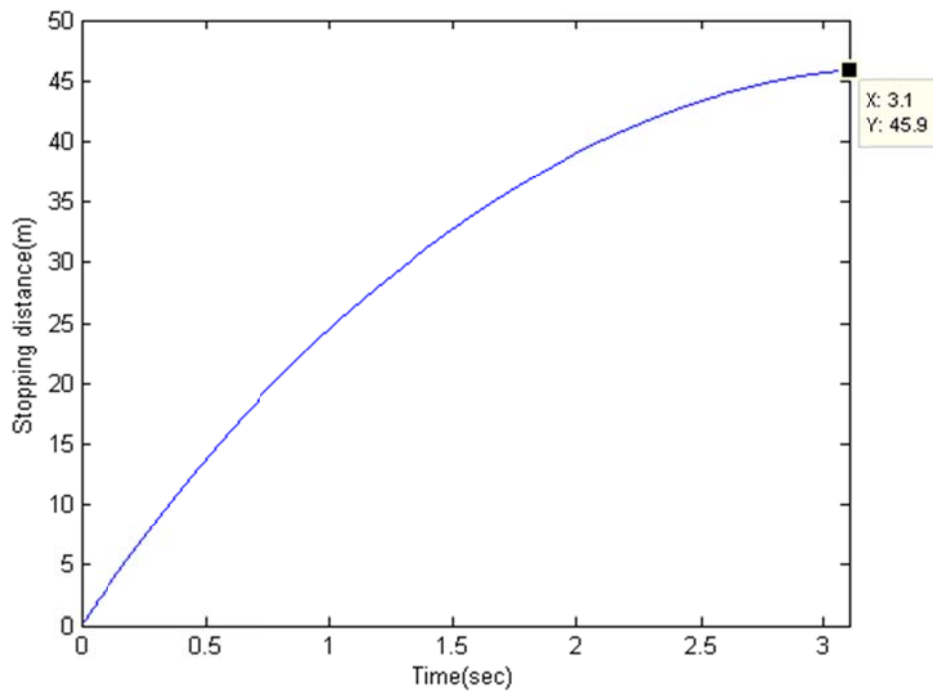


شکل (۸-۵) تلاش کنترلی

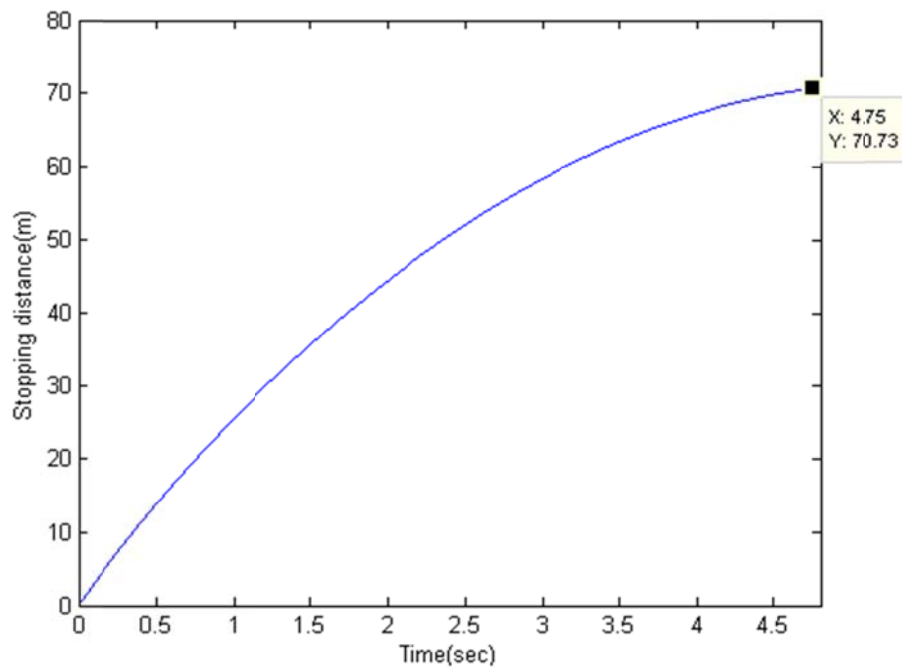
تلاش کنترلی در شکل (۸-۵) و سرعت خودرو و چرخ در (۹-۵) نشان داده شده است. با توجه به شکل (۱۰-۵) مسافت توقف خودرو با سیستم ترمز ضد قفل و الگوریتم پیشنهادی 45.9 متر در زمان 3.1 ثانیه می‌باشد، همچنین در شکل (۱۱-۵) مسافت توقف خودرو بدون استفاده از ترمز ضد قفل نشان داده شده که در 70.73 متر پس از گذشت 4.75 ثانیه متوقف می‌شود. و در نهایت سرعت خودرو و چرخ بدون استفاده از ترمز ضد قفل در (۱۲-۵) نشان داده شده است.



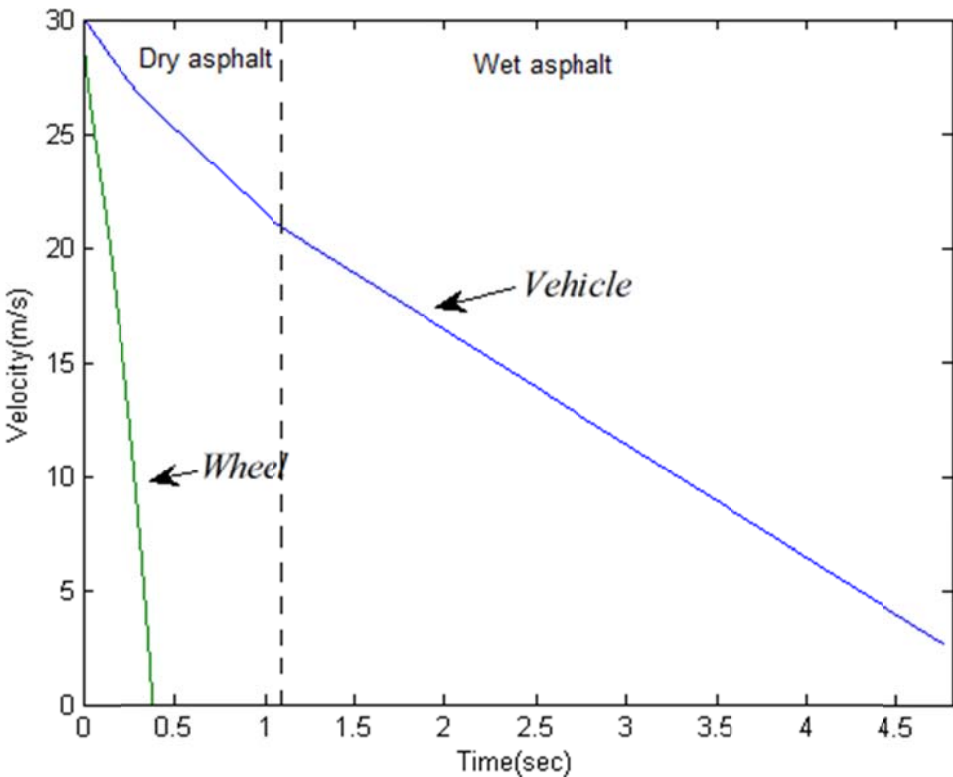
شکل (۹-۵) سرعت خودرو و چرخ



شکل (۱۰-۵) مسافت توقف با استفاده از ترمز ضد قفل



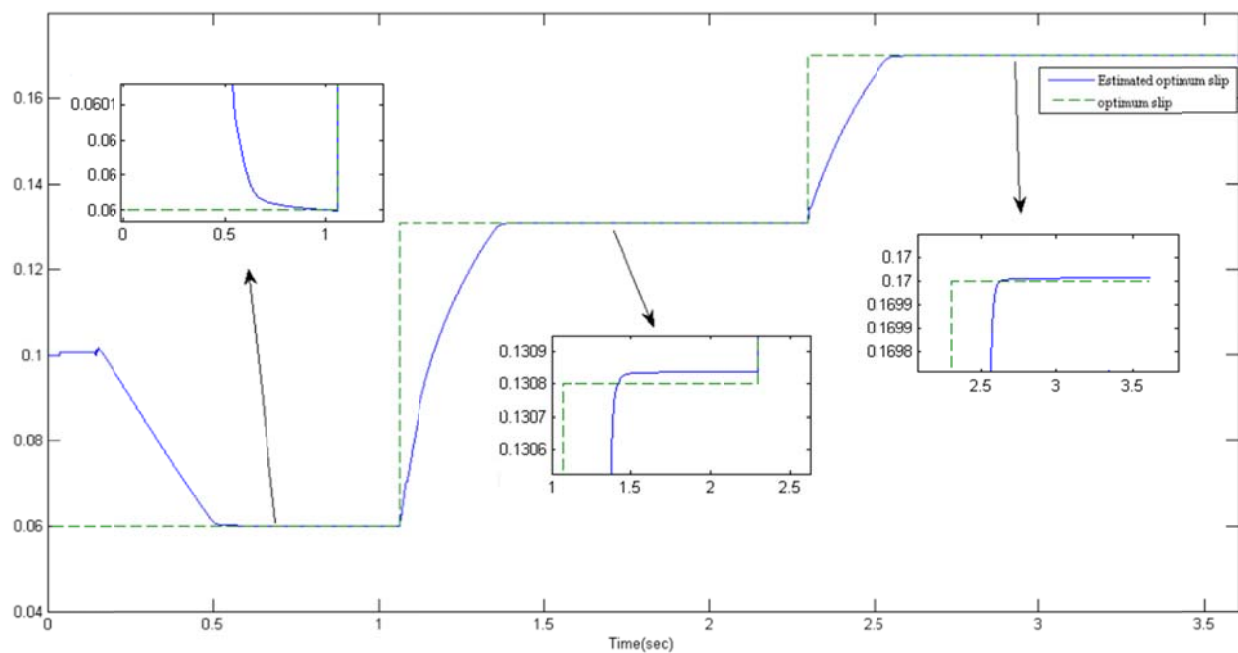
شکل (۱۱-۵) مسافت توقف بدون ترمز ضد قفل



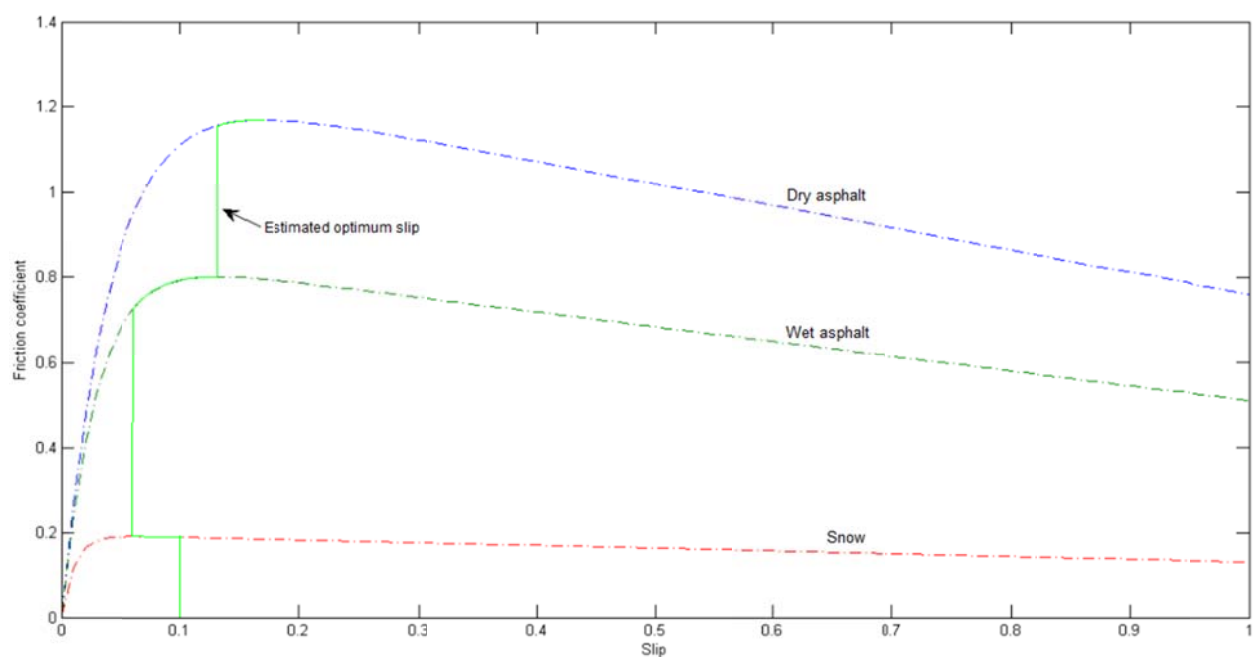
شکل (۱۲-۵) سرعت خودرو و چرخ بدون استفاده از ترمز ضد قفل

به منظور بررسی بیشتر الگوریتم پیشنهادی، باز دیگر فرض می‌کنیم ترمزگیری در جاده مسطح و در مسیری مستقیم، با سرعت اولیه $v = 30 \text{ m/s}$ ، و تغییر سطح جاده از جاده برفی به آسفالت خیس بعد از گذشت 30m و سپس تغییر جاده از آسفالت خیس به آسفالت خشک بعد از گذشت 30m انجام می‌شود.

با انجام شبيه سازی، عملکرد الگوریتم گرادیان نزولی در تخمین مقدار لغزش بهينه، در شکل (۱۳-۵) دیده می‌شود. مشاهده می‌شود پس از گذشت زمان محدودی لغزش بهينه تخمین زده شده، به بازه کوچکی در نزدیکی مقدار مطلوب همگرا شده است. در شکل (۱۴-۵) تغییر لغزش بهينه تخمی در سه سطح جاده نشان داده شده، که با تغییر سطح جاده مقدار لغزش تخمین زده شده، به سمت لغزش بهينه واقعی همگرا می‌شود.

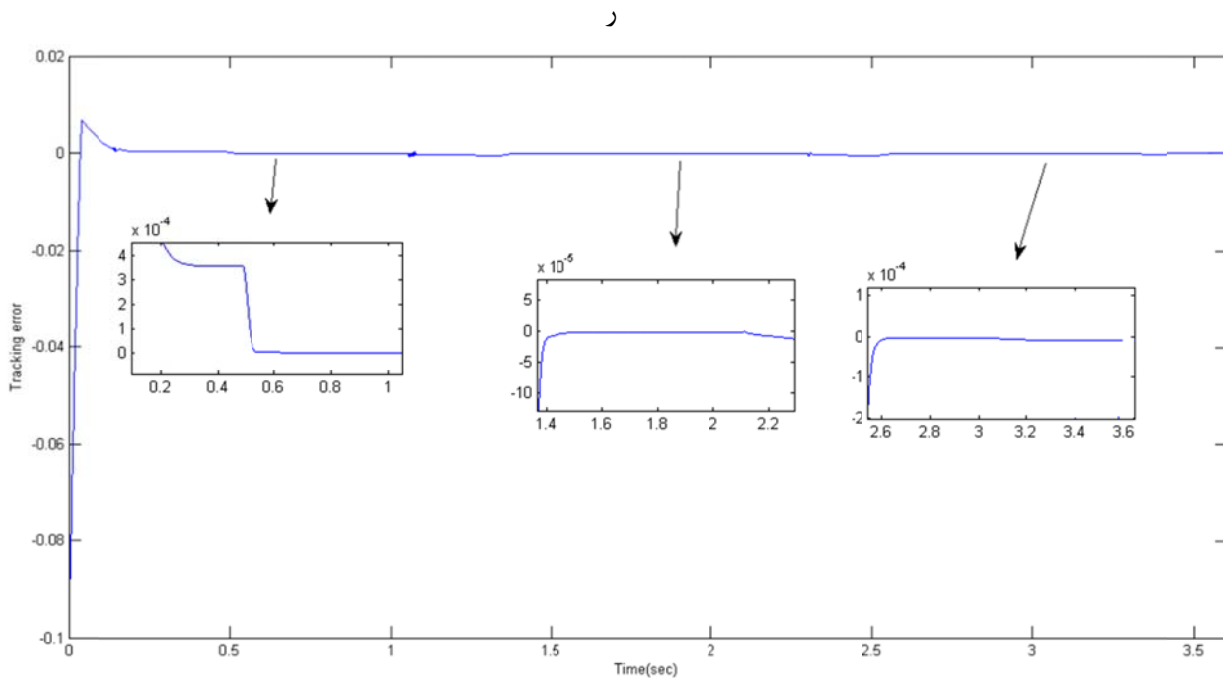


شکل (۱۳-۵) تخمین لغزش بهینه



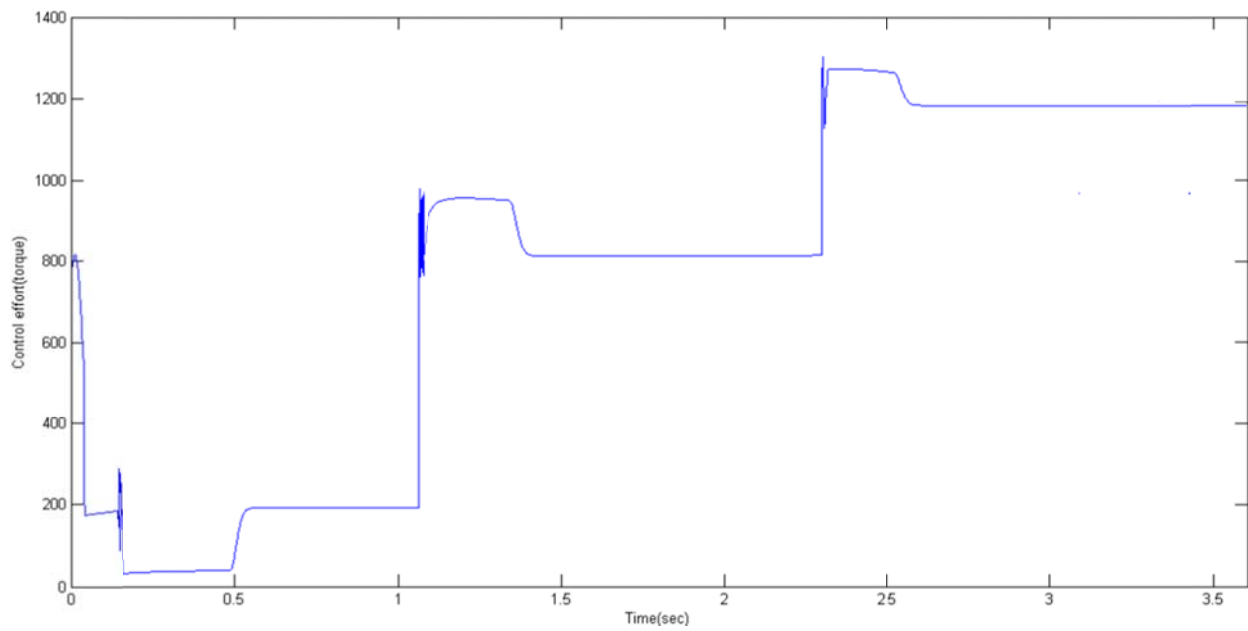
شکل (۱۴-۵) تخمین لغزش بهینه

خطای ردیابی حلقه کنترل در شکل (۱۵-۵) دیده می‌شود، که پس از گذشت زمان محدودی به بازه‌ای کمتر از 10^{-4} همگرا شده است.

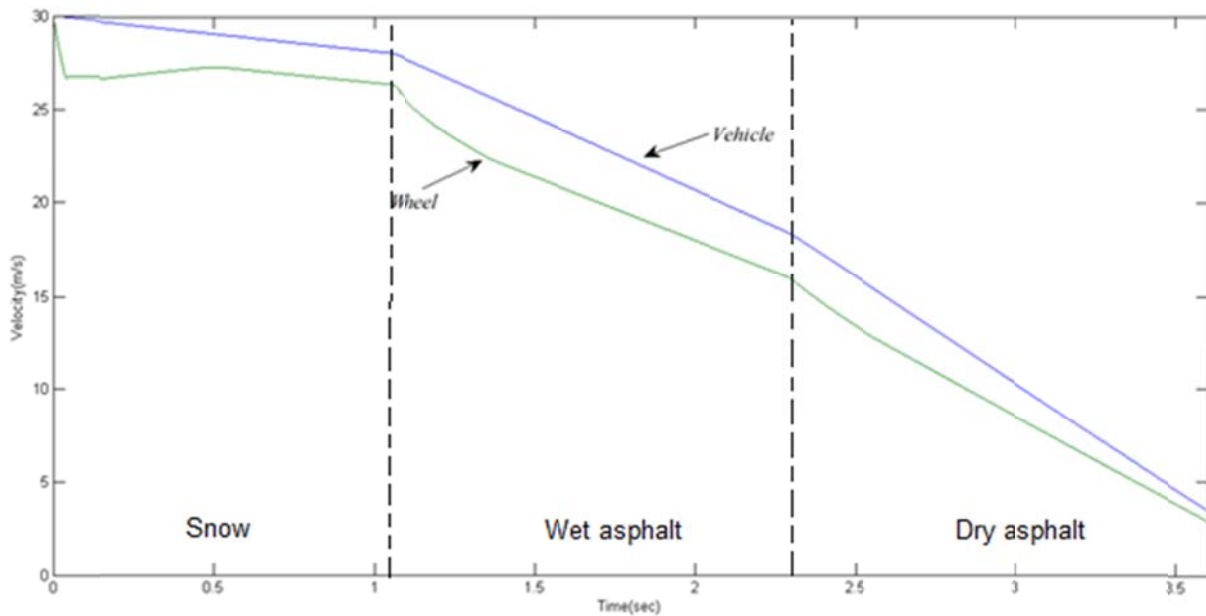


شکل (۱۵-۵) عملکرد ردیابی

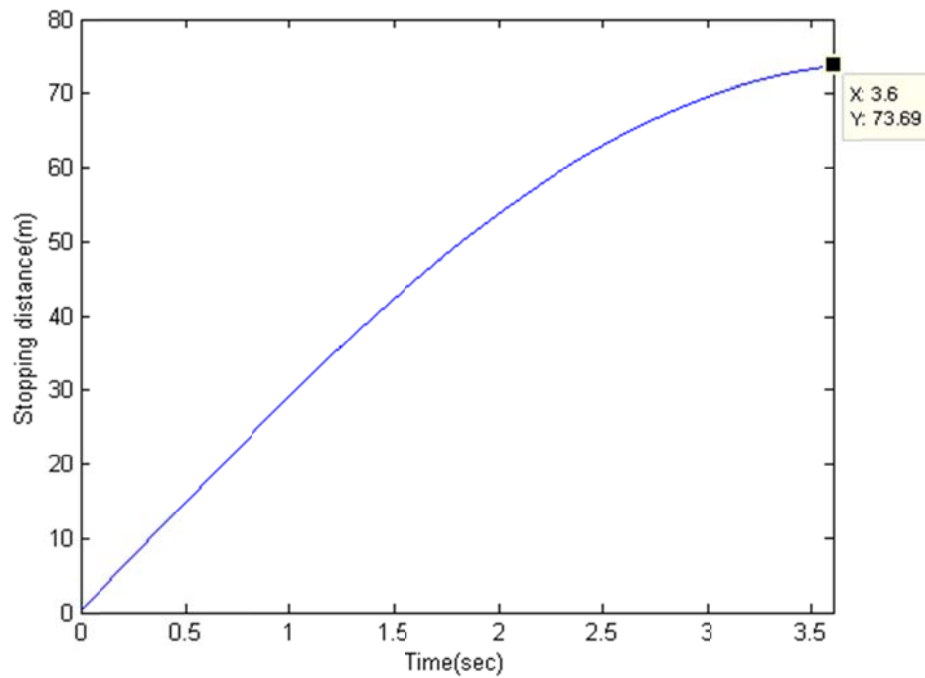
تلاش کنترلی در شکل (۱۶-۵) دیده می‌شود و تغییرات سرعت خودرو و چرخ در (۱۷-۵) دیده می‌شوند. با توجه به شکل (۱۸-۵) می‌توان بیان کرد خودرو پس از ۳.۶ ثانیه و طی مسافت ۷۳.۶۹ متر متوقف می‌شود، در حالی که بدون استفاده از ترمز ضد قفل با توجه به شکل (۱۹-۵) پس از طی مسافت ۹۶.۰۱ متر و گذشت ۵ ثانیه خودرو متوقف شده است. سرعت خودرو و چرخ بدون استفاده از ترمز ضد قفل در شکل (۲۳۰-۵) آمده است.



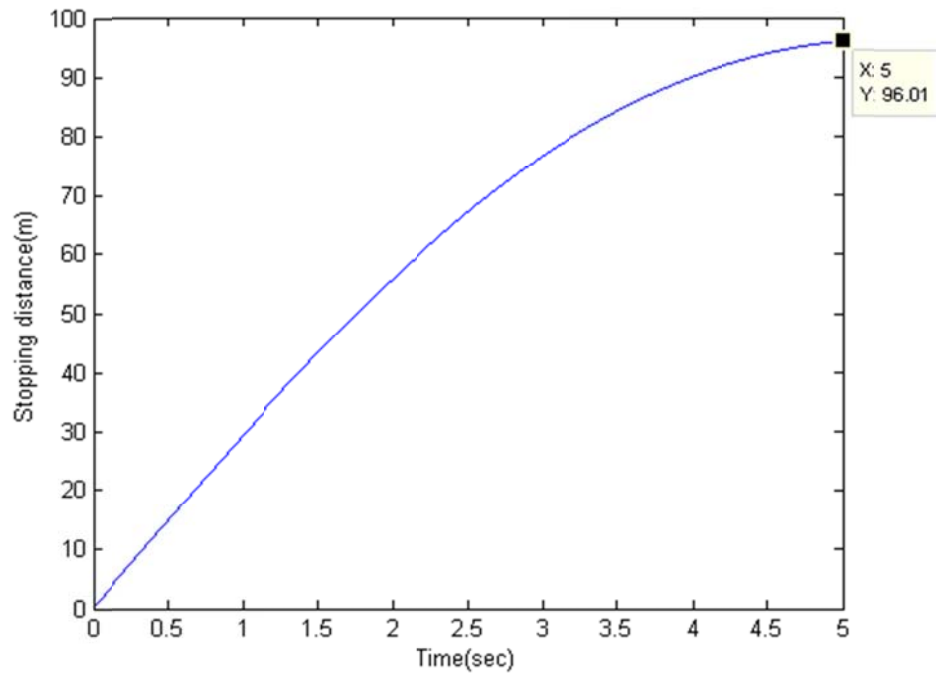
شکل (۱۶-۵) تلاش کنترلی



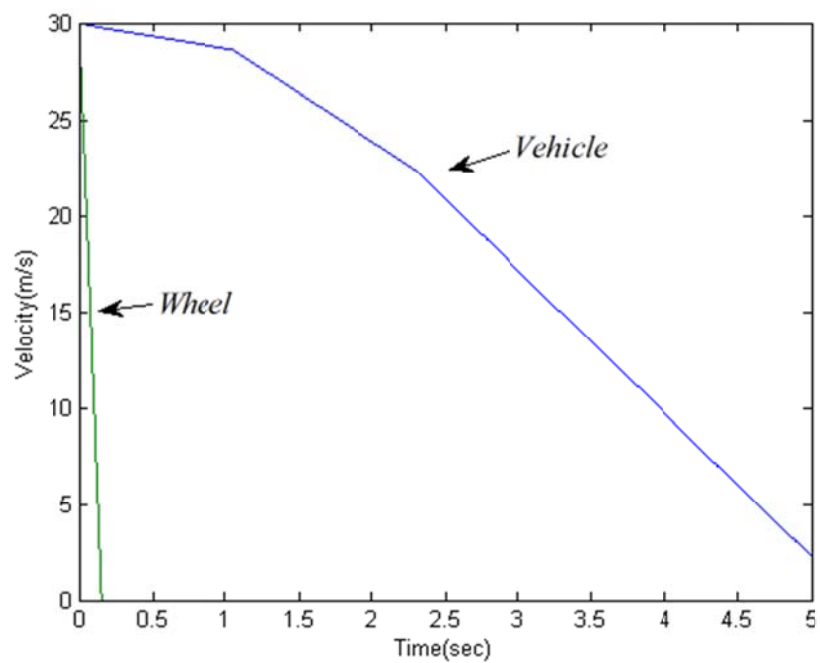
شکل (۱۷-۵) سرعت خودرو و چرخ



شکل (۱۸-۵) مسافت توقف خودرو با استفاده از ترمز ضد قفل



شکل (۱۹-۵) مسافت توقف خودرو بدون استفاده از ترمز ضد قفل



شکل (۲۰-۵) سرعت چرخ و خودرو بدن استفاده از ترمز ضد قفل

فصل ششم

نتیجه‌گیری و پیشنهادات

۶-۱ نتیجه گیری

در این پایان نامه پس از مدل سازی ریاضی سیستم ترمز، کنترل کننده های فازی تطبیقی مستقیم و غیر مستقیم طراحی و تحلیل شدند، با استفاده از شبیه سازی و تحلیل ریاضی عملکرد کنترل کننده های پیشنهادی بررسی گردید، همچنین دو روش مبتنی بر مدل برای شناسایی لغزش بهینه چرخ در هنگام ترمز گیری پیشنهاد گردید، همگرایی روش های پیشنهادی بررسی شده و با استفاده از شبیه سازی عملکرد هر کدام تحلیل گردید. در نهایت یک روش آزاد از مدل برای شناسایی لغزش بهینه چرخ طراحی و تحلیل گردید.

با توجه به مطالعه ارائه شده در پایان نامه، می توان گفت کنترل کننده های فازی تطبیقی مستقیم و غیر مستقیم به اگرچه قادر به در نظر گرفتن دینامیک محرک در سیستم کنترل نمی باشند، اما به علت سادگی نسبی در طراحی و تنظیم کنترل کننده، دارای مزیت نسبت به کنترل فازی تطبیقی به روش پسگام می باشند، در حالی که کنترل فازی تطبیقی به روش پسگام دارای پارامترهای طراحی بیشتر می باشد، اما قادر به در نظر گرفتن و کنترل سیستم همراه با دینامیک محرک نیز می باشد.

الگوریتم های پیشنهادی وابسته به مدل برای تخمین لغزش بهینه، دارای تحلیل همگرایی می باشند، اگرچه روش برازش منحنی دارای تحلیل همگرایی به نقطه ای در نزدیکی مقدار مطلوب می باشد، اما روش پیشنهاد بر اساس رویتگر برای دینامیک داخلی اصطکاک دارای تضمین همگرایی به لغزش بهینه می باشد.

الگوریتم پیشنهادی برای تخمین لغزش بهینه به صورت آزاد از مدل، نسبت به روش های وابسته به مدل نیازمند اطلاعات کمتری از مدل اصطکاک و سیستم می باشد، اما برای پیاده سازی، این الگوریتم نیازمند روش کنترلی می باشد که تضمین همگرایی خطأ به صفر یا نزدیکی مبدا را در زمان محدود داشته باشد و در صورت طراحی چنین کنترل کننده ای می توان گفت روش آزاد از مدل به علت سرعت همگرایی بیشتر و دقیق بالاتر، روشی بهتر نسبت به روش های وابسته به مدل می باشد.

۶-۲ پیشنهادات

مطلوب زیر برای کارهای تحقیقاتی در آینده ارائه و پیشنهاد می شود

- می‌توان برای افزایش عملکرد سیستم ترمز و حذف اغتشاش جاده در زمان ترمز گیری از سیستم تعليق فعال به همراه ترمز ضد قفل استفاده کرد، که اينكار می‌تواند باعث افزایش ضریب اصطکاک در جاده ناهماور شود.
- استفاده از مدل یک-دوم و مدل کامل خودرو، و در نظر گرفتن جابجایی وزن خودرو در زمان ترمز گیری.
- ترکیب روش فازی تطبیقی با روش‌های غیرخطی دیگر و بررسی عملکرد سیستم.
- بهینه سازی سیستم کنترل با استفاده از الگوریتم‌های هوشمند.
- پیاده سازی عملی و آزمایشگاهی سیستم کنترل.

مراجع

- [1] M. T. Sergio M. Savaresi, *Active Braking Control Systems Design for Vehicles*: Springer-Verlag, 2010.
- [2] P. E. Wellstead, Pettit, N.B.O.L., "Analysis and redesign of an antilock brake system controller," *Control Theory and Applications, IEE Proceedings*, vol. 144, pp. 413 - 426 1997.
- [3] G. F. Mauer, "A fuzzy logic controller for an ABS braking system," *Fuzzy Systems, IEEE Transactions on*, vol. 3, pp. 381 - 388 1995.
- [4] M. Tanelli, A. Astolfi, and S. M. Savaresi, "Robust nonlinear output feedback control for brake by wire control systems," *Automatica*, vol. 44, pp. 1078-1087, 4// 2008.
- [5] J.-S. L. a. W.-E. Ting, "Nonlinear control design of anti-lock braking systems with assistance of active suspension," *IET Control Theory Appl*, vol. 1, pp. 343 - 348.2007
- [6] M. M. Ahmad Mirzaei, Behzad Mirzaeian Dehkordi, and B. Fahimi, "Design of an Optimal Fuzzy Controller for Antilock Braking Systems," *IEEE Transactions on Vehicular Technology*, vol. 55, pp. 171 - 185 2006.
- [7] J. A. Cabrera, A. Ortiz, J. J. Castillo, and A. Simon, "A fuzzy logic control for antilock braking system integrated in the IMMa tire test bench," *Vehicular Technology, IEEE Transactions on*, vol. 54, pp. 1937-1949, 2005.
- [8] M.-C. S. Chih-Keng CHEN, "PID-Type Fuzzy Control for Anti-Lock Brake Systems with Parameter Adaption," *JSME International Journal*, vol. 47, pp. 675-685, 2004.
- [9] I.-H. L. Wei-Yen Wang, Ming-Chang Chen, Shun-Feng Su, and Shi-Boun Hsu, "Dynamic Slip-Ratio Estimation and Control of Antilock Braking Systems Using an Observer-Based Direct Adaptive Fuzzy–Neural Controller," *IEEE TRANSACTIONS ON INDUSTRIAL ELECTRONICS*, vol. 56, pp. 1746 - 1756 2009.
- [10] G. M. C. W. Y. Wang, and C. W. Tao, "Stable anti-lock braking system using output-feedback direct adaptive fuzzy neural control," in *IEEE Int. Conf. Syst., Man, Cybern*, 2003, pp. 3675-3680.
- [11] H. Mirzaeinejad and M. Mirzaei, "A novel method for non-linear control of wheel slip in anti-lock braking systems," *Control Engineering Practice*, vol. 18, pp. 918-926, 8// 2010.
- [12] A. A. A. Harifi, G. Alizadeh, M. Sadeghi, "Designing a sliding mode controller for slip control of antilock brake systems," *Transportation Research*, vol. 16, pp. 731–741, 2008.
- [13] S. K. Korovin and V. I. Utkin, "Using sliding modes in static optimization and nonlinear programming," *Automatica*, vol. 10, pp. 525-532, 9// 1974.
- [14] R. J. E. U. BREUER B., "Measurement of tyre-road friction ahead of the car and inside the tyre " presented at the Proceedings of the International Symposium on Advanced Vehicle Control, Yokohama, Japan, 1992.
- [15] J. R. U Eichorn, "Prediction and monitoring of tyre/road friction," *TECHNICAL PAPERS. SAFETY, THE VEHICLE AND THE ROAD*, vol. 2, pp. 67-74, 1992.
- [16] M. P. Tanelli, L. Savaresi, S.M., "Real-time identification of tire-road friction conditions," *Control Theory & Applications, IET*, vol. 3, pp. 891 - 906 2009.
- [17] M. P. Tanelli, L. Piuri, M. Savaresi, S. M., "Real-time identification of tire-road friction conditions," in *Control Applications, 2008. CCA 2008. IEEE International Conference on*, 2008, pp. 25-30.
- [18] C. C. De Wit, H. Olsson, K. J. Astrom, and P. Lischinsky, "A new model for control of systems with friction," *Automatic Control, IEEE Transactions on*, vol. 40, pp. 419-425, 1995.
- [19] C. Canudas de Wit, and Tsotras, P., "Dynamic Tire Friction Models for Vehicle Traction Control," in *Decision and Control*, Phoenix, AZ 1999, pp. 3746 - 3751.

- [20] C. Canudas de Wit, and Horowitz, R., "Observers for Tire/Road Contact Friction using only wheel angular velocity information," in *Decision and Control*, Phoenix, AZ 1999, pp. 3932 - 3937.
- [21] J. Yi, Alvarez, L., Horowitz, R., and Claeys, X., "Emergency Braking Control With an Observed-Based Dynamic Tire/Road Friction Model and Wheel Angular Velocity Measurement," *Veh. Syst. Dyn.*, pp. 81-97, 2003.
- [22] N. Patel, C. Edwards, and S. K. Spurgeon, "Optimal braking and estimation of tyre friction in automotive vehicles using sliding modes," *International Journal of Systems Science*, vol. 38, pp. 901-912, 2007/11/01 2007.
- [23] S.H. A. B. Will, and S. H. Zak, "Sliding mode wheel slip controller for an antilock braking system," *Int. J. Veh. Des.*, vol. 19, pp. 523–539, 1998.
- [24] L. Yonggon and S. H. Zak, "Genetic neural fuzzy control of anti-lock brake systems," in *American Control Conference, 2001. Proceedings of the 2001*, 2001, pp. 671-676 vol.2.
- [25] L.-X. Wang, *A course in fuzzy systems and control*. Englewood. Cliffs, NJ: Prentice Hall, 1997.
- [26] C.-M. Lin, Chun-Fei Hsu., "Self-learning fuzzy sliding-mode control for antilock braking systems," *Control Systems Technology, IEEE Transactions on*, vol. 11, pp. 273 - 278 2003.
- [27] Y.-C. H. Y.-C. Hsueh., "Learning Error Feedback Design of Direct Adaptive Fuzzy Control Systems," *Fuzzy Systems, IEEE Transactions on*, vol. 20, pp. 536.2012 545 -
- [28] M. Hojati and S. Gazor, "Hybrid adaptive fuzzy identification and control of nonlinear systems," *Fuzzy Systems, IEEE Transactions on*, vol. 10, pp. 198-210, 2002.
- [29] L.X.wang, *Adaptive Fuzzy Systems and control: Design and Stability Analysis*. Englewood Cliffs ,NJ: Prentice-Hall, 1994.
- [30] L. X. Wang, "Stable adaptive fuzzy control of nonlinear systems," in *Decision and Control, 1992., Proceedings of the 31st IEEE Conference on*, 1992, pp. 2511-2516 vol.3.
- [31] W.-Y. Wang, M.-C. Chen, and S.-F. Su, "Hierarchical fuzzy-neural control of anti-lock braking system and active suspension in a vehicle," *Automatica*, vol. 48, pp. 1698-1706, 8// 2012.
- [32] G. M. C. T. Wei-Yen Wang, C.W., "Stable anti-lock braking system using output-feedback direct adaptive fuzzy neural control," in *Systems, Man and Cybernetics, 2003. IEEE International Conference on*, 2003, pp. 3675 - 3680.
- [33] C.-L. Chen, C. C. Peng, and H.-T. Yau, "High-order sliding mode controller with backstepping design for aeroelastic systems," *Communications in Nonlinear Science and Numerical Simulation*, vol. 17, pp. 1813-1823, 4// 2012.
- [34] W. Lin and C. Qian, "Semi-global robust stabilization of MIMO nonlinear systems by partial state and dynamic output feedback," *Automatica*, vol. 37, pp. 1093-1101, 7// 2001.
- [35] A. J. K. a. A. S. I. Zinober, "Adaptive Sliding Backstepping Control of Nonlinear Semi-Strict Feedback Form Systems," in *7th Mediterranean Conference on Control and Automation*, Haifa, Israel, 1999, pp. 2376-2383.
- [36] J. Zhong-Ping and D. J. Hill, "A robust adaptive backstepping scheme for nonlinear systems with unmodeled dynamics," *Automatic Control, IEEE Transactions on*, vol. 44, pp. 1705-1711, 1999.
- [37] K. Chiman and F. L. Lewis, "Robust backstepping control of nonlinear systems using neural networks," *Systems, Man and Cybernetics, Part A: Systems and Humans, IEEE Transactions on*, vol. 30, pp. 753-766, 2000.
- [38] T. Zhang, S. S. Ge, and C. C. Hang, "Adaptive neural network control for strict-feedback nonlinear systems using backstepping design," *Automatica*, vol. 36, pp. 1835-1846, 12// 2000.
- [39] B. Chen, X. Liu, K. Liu, and C. Lin, "Direct adaptive fuzzy control of nonlinear strict-feedback systems," *Automatica*, vol. 45, pp. 1530-1535, 6// 2009.
- [40] Y. Yang, J. Wu, and W .Zheng, "Station-keeping control for a stratospheric airship platform via fuzzy adaptive backstepping approach," *Advances in Space Research*, vol. 51, pp. 1157-1167, 4/1/ 2013.

- [41] J. C. Gerdes and J. K. Hedrick, "Brake system requirements for platooning on an automated highway," in *American Control Conference, Proceedings of the 1995*, 1995, pp. 165-169 vol.1.
- [42] W. Pasillas-Lépine, A. Loría, and M. Gerard, "Design and experimental validation of a nonlinear wheel slip control algorithm," *Automatica*, vol. 48, pp. 1852-1859, 8// 2012.
- [43] E. Kayacan, Oniz, Y. ; Kaynak, O., "A Grey System Modeling Approach for Sliding-Mode Control of Antilock Braking System," *Industrial Electronics, IEEE Transactions on* vol. 56, pp. 3244 - 3252 2009.
- [44] H. L. Y. Z. Chunting Mi, "Iterative learning control of antilock braking of electric and hybrid vehicles," *Vehicular Technology, IEEE Transactions on*, vol. 54, pp. 486 - 494 2005.
- [45] C.-M. Lin and H. Chun-Fei, "Neural-network hybrid control for antilock braking systems," *Neural Networks, IEEE Transactions on*, vol. 14, pp. 351-359, 2003.
- [46] C. Canudas-de-Wit, P. Tsiotras, E. Velenis, M. Basset, and G. Gissinger, "Dynamic Friction Models for Road/Tire Longitudinal Interaction," *Vehicle System Dynamics*, vol. 39, pp. 18 ,226-9 .2003 01/03/2003
- [47] H. a. S. Pcejka, R.S., "Shear Force Developments by Penumatic Tires in Steady-State Condition: A Review of Modeling Aspects," *Vehicle System Dynamics*, vol. 20, pp. 121-176, 1991.
- [48] M. Burckhardt, *Fahrwerktechnik: radschlupf-regelsysteme*. Wurtzburg: Vogel-Verlag, 1993.
- [49] U. a. D. Kiencke, A., "Estimation of Tyre Friction for Enhanced ABS-Systems.," *JSAE Review*, vol. 16, pp. 515-520, 1995.
- [50] M. Burckhardt, *Sicherheitsrelevantes, Radschlupf-Regel System*. University of Braunschweig, Germany: Lecture Scriptum, 1987.
- [51] P. Chang-Woo and C. Young-Wan, "T-S model based indirect adaptive fuzzy control using online parameter estimation," *Systems, Man, and Cybernetics, Part B: Cybernetics, IEEE Transactions on*, vol. 34, pp. 229.2004 ,2302-3
- [52] R. Boukezzoula, S. Galichet, and L. Foulloy, "Observer-based fuzzy adaptive control for a class of nonlinear systems: real-time implementation for a robot wrist," *Control Systems Technology, IEEE Transactions on*, vol. 12, pp. 340-351, 2.004
- [53] T. J. Koo, "Stable model reference adaptive fuzzy control of a class of nonlinear systems," *Fuzzy Systems, IEEE Transactions on*, vol. 9, pp. 624-636, 2001.
- [54] K. Fischle and D. Schroder, "An improved stable adaptive fuzzy control method," *Fuzzy Systems, IEEE Transactions on*, vol. 7, pp. 27-40, 1999.
- [55] K. Euntai, "Output feedback tracking control of robot manipulators with model uncertainty via adaptive fuzzy logic," *Fuzzy Systems, IEEE Transactions on*, vol. 12, pp. 368-378, 2004.
- [56] W. Chi-Hsu, L. Tsung-Chih, L. Tsu-Tian, and L. Han-Leih, "Adaptive hybrid intelligent control for uncertain nonlinear dynamical systems," *Systems, Man, and Cybernetics, Part B: Cybernetics, IEEE Transactions on*, vol. 32, pp. 583-597, 2002.
- [57] T. Shaocheng, L .Han-Xiong, and C. Guanrong, "Adaptive fuzzy decentralized control fora class of large-scale nonlinear systems," *Systems, Man, and Cybernetics, Part B: Cybernetics, IEEE Transactions on*, vol. 34, pp. 770-775, 2004.
- [58] C. Yeong-Chan, "Adaptive fuzzy-based tracking control for nonlinear SISO systems via VSS and H^{_>∞}" approaches," *Fuzzy Systems, IEEE Transactions on*, vol. 9, pp. 278-292, 2001.</sup>
- [59] D. Yixin and K. M. Passino, "Stable fault-tolerant adaptive fuzzy/neural control for a turbine engine," *Control Systems Technology, IEEE Transactions on*, vol. 9, pp. 494-509, 2001.
- [60] L. Yih-Guang, W. Wei-Yen, and L. Tsu-Tian, "Observer-based direct adaptive fuzzy-neural control for nonaffine nonlinear systems," *Neural Networks, IEEE Transactions on*, vol. 16, pp. 853-861, 2005.

- [61] F. Sun, Z. Sun, Y. Zhu, and W. Lu, "Stable Neuro-Adaptive Control for Robots with the Upper Bound Estimation on the Neural Approximation Errors," *Journal of Intelligent and Robotic Systems*, vol. 26, pp. 91-100, 1999.1999 01/09/
- [62] E. Meng-Joo and C. Swee Hong, "Hybrid adaptive fuzzy controllers of robot manipulators with bounds estimation," *Industrial Electronics, IEEE Transactions on*, vol. 47, pp. 1151-1160, 2000.
- [63] J.-H. Park and G.-T. Park, "Robust adaptive fuzzy controller for non-affine nonlinear systems with dynamic rule activation," *International Journal of Robust and Nonlinear Control*, vol. 13, pp. 117-139, 2003.
- [64] G. Y. Ping LI, "Backstepping adaptive fuzzy control of uncertain nonlinear systems against actuator faults," *J Control Theory Appl*, vol. 7, pp. 248-256, 2009.
- [65] X. Wen-Fang, "Sliding-Mode-Observer-Based Adaptive Control for Servo Actuator With Friction," *Industrial Electronics, IEEE Transactions on*, vol. 54, pp. 1517-1527, 2007.
- [66] J .Yi, Alvarez, L., Horowitz, R., and Canudas, C., "Adaptive Emergency Braking Control Based on a Tire/Road Friction Dynamic Model," in *Decision and Control*, New York, 2000, pp. 456–461.
- [67] J. J. E. Slotine, & Li, W., *Applied nonlinear control*. Englewood Cliffs, New Jersey, USA: Prentice Hall, 1991.
- [68] S. T. V. a. S. Gulati, "Control of nonlinear systems using terminal sliding modes," *J. Dyn. Syst. Meas. Control*, vol. 115, pp. 554-560, 1993.
- [69] Z. Man, A. P. Paplinski, and H. R. Wu, "A robust MIMO terminal sliding mode control scheme for rigid robotic manipulators," *Automatic Control, IEEE Transactions on*, vol. 39, pp. 2464-2469, 1994.
- [70] Y. Tang, "Terminal sliding mode control for rigid robots," *Automatica*, vol. 34, pp. 51-56, 1998.
- [71] M. O. D. R .M. Zhihong, "A robust adaptive terminal sliding mode control for rigid robotic manipulators," *Journal of intelligent and robotic systems*, vol. 24, pp. 23-41, 1999.
- [72] X. Y. a. Z. M. Y. Feng, "Non-singular terminal sliding mode control of rigid manipulators," *Automatica*, vol. 38, pp. 2159-2167, 2002.
- [73] W. Liangyong, C. Tianyou, and Z. Lianfei, "Neural-Network-Based Terminal Sliding-Mode Control of Robotic Manipulators Including Actuator Dynamics," *Industrial Electronics, IEEE Transactions on*, vol. 56 ,pp. 3296-3304, 2009.
- [74] T.-H. S. Li and Y.-C. Huang, "MIMO adaptive fuzzy terminal sliding-mode controller for robotic manipulators," *Information Sciences*, vol. 180, pp. 4641-4660, 12/1/ 2010.
- [75] H. Komurcugil, "Non-singular terminal sliding-mode control of DC–DC buck converters," *Control Engineering Practice*, vol. 21, pp. 321-332, 3// 2013.
- [76] V. Nekoukar and A. Erfanian, "Adaptive fuzzy terminal sliding mode control for a class of MIMO uncertain nonlinear systems," *Fuzzy Sets and Systems*, vol. 1 ,79pp. 34-49, 9/16/ 2011.
- [77] D. S. B. S.P. Bhat, "Finite-time stability of continuous autonomous systems," *SIAM J. Control Optim*, vol. 38, pp. 751-766, 2000.
- [78] H. Wang, Z.-z. Han, Q.-y. Xie, and W. Zhang, "Finite-time chaos synchronization of unified chaotic system with uncertain parameters," *Communications in Nonlinear Science and Numerical Simulation*, vol. 14, pp. 2239-2247, 5// 2009.
- [79] V. Utkin, Guldner, J., & Shi, J., *Sliding Mode Control in Electro-Mechanical Systems.*: CRC Press, Taylor & Francis Group, 2009.
- [80] J. A. Burton, & Zinober, A. S. I., "Continuous approximation of vsc," *International Journal of Systems Sciences*, vol. 17, pp. 875-885, 1986.
- [81] H. F. Ho, Y. K. Wong, and A. B. Rad, "Adaptive fuzzy sliding mode control with chattering elimination for nonlinear SISO systems," *Simulation Modelling Practice and Theory*, vol. 17, pp. 1199-1210, 8// 2009.

- [82] J. Wang, A. B. Rad, and P. T. Chan, "Indirect adaptive fuzzy sliding mode control: Part I: fuzzy switching," *Fuzzy Sets and Systems*, vol. 122, pp. 21-30, 8/16/ 2001.

Abstract

Due to the nonlinearity of dynamic equations of braking system, design controllers that have good performance with guaranteed stability is important, due to the ability of adaptive fuzzy controllers to deal with nonlinear uncertain systems, in this thesis, we use the adaptive fuzzy controllers. Direct and indirect adaptive fuzzy controllers are designed and analyzed, stability and convergence properties of the closed-loop system are analytically proved using Lyapunov's direct method. in this thesis. In addition to the adaptive fuzzy control, a direct adaptive fuzzy control based on backstepping design technique is also developed and analyzed to taking into account the actuator dynamics. Reference input to the anti-lock brake systems is optimal slip value, in optimal slip, maximum friction coefficient between the tire and the road is achieved, therefor vehicle stopped in minimum possible distance. In this study, with assuming the unavailability of optimum slip value, looking for a method to get the reference input to the control loop. This value is given as reference input for regulation to the control system. In this thesis, model-based and model-free methods to obtain the optimum slip value are designed and analyzed, convergence of model-based methods are analyzed, also in proposed model-free method, convergence to the optimum slip value in finite time is guaranteed. Finally, the proposed algorithms are compared and evaluated.

Keywords: Anti-lock braking system, Adaptive fuzzy control, Road identifier, Optimum slip



Shahrood University of Technology

Faculty of Electrical & Robotic Engineering

Adaptive Fuzzy Control of Anti-Lock Brake System

Sadegh Ebrahimkhani

Supervisor:

Dr. Ali Akbarzadeh Kalat

September 2013